BULLETIN
OF
THE OKINAWA PREFECTURAL
AGRICULTURAL RESEARCH
CENTER

No.12 March, 2018

# 沖縄県農業研究センター研究報告

第12号 平成30年3月

## OKINAWA PREFECTURAL AGRICULTURAL RESEARCH CENTER

820, MAKABE, ITOMAN-city, OKINAWA 901-0336, JAPAN

沖縄県農研セ研報 Bull. OKINAWA Agric.Res.Cent. No.12 2018

沖縄県農業研究センター 沖縄県糸満市真壁 820

## 沖縄県農業研究センター 研究報告 第12号 (2018.3)

## 目 次

## 【原著論文】

1. 宮古地域の生果用パインアップルにおける高品質果実が得られる収穫時期の検討 伊礼彩夏・與座一文・伊地 良太郎	1
2. 真空脱気を利用して膨張させた黒糖(エアイン黒糖)の基本製造条件と特性 	7
3. 梢頭部汁を混合して製造した黒糖と茎汁のみで製造した黒糖の比較 	14
4.沖縄県のサトウキビ畑における改良型タンクモデルを用いた土壌水分量の推定と 灌水による収量への影響 比屋根真一・砂川喜信・大見のり子・ 出花幸之介・伊禮 信	21
5. 挿し木によるヒハツモドキの増殖: 挿し木に適する植物部位, 挿し穂の節数, 葉切除の程度ならびに時期の特定	
	29
6.沖縄県におけるサツマイモトビハムシの分布状況とその寄主植物 	43
【論文抄録】	
1.乳酸発酵によってGABAを強化した黒糖の開発 	48
2. サトウキビ搾汁粕から分離したGABA強化黒糖製造に利用可能な乳酸菌 	48
3. 異なる温度条件下における罹病枯死葉上のマンゴー炭疽病菌 Colletotrichum gloeosporioides の生存期間	
	49
4. 果梗部熱処理法によるマンゴー軸腐病の防除 	49
5.ストロビルリン系薬剤耐性マンゴー炭疽病菌 Colletotrichum gloeosporioides の発生 澤岻哲也・ 嘉手苅佳太・新崎千江美・田場 聡	50
6.沖縄県におけるヒハツモドキの地理的分布と生育環境の特徴,ならびに害虫等による 本種の被害・障害に関する予備的知見 大野 豪・根本明子・宮里 進・東嘉弥真勇人・宮城徳道・山城信哉・玉城盛俊	50

## 原著論文

## 宮古地域の生果用パインアップルにおける高品質果実が得られる収穫時期の検討

伊礼 彩夏<sup>1</sup>·與座 一文<sup>2</sup>·伊地 良太郎<sup>3</sup>

- 1 沖縄県農業研究センター 2 沖縄県農業研究センター宮古島支所
  - 3 沖縄県農業大学校

#### 要 約

夏植え作型のパインアップル7品種について、花芽誘導処理区(10月上旬処理、11月上旬処理)と自然夏実区を比較した結果、糖度は各品種の処理区間において有意な差はみられなかった。酸度は「N67-10」を除く6品種で10月上旬処理区が高く、11月上旬処理区および自然夏実区の順で低下した。糖酸比の値は、「N67-10」と「サマーゴールド」を除いて10月上旬処理区が低く、11月上旬処理区、自然夏実区の順で上昇した。食味点数は、糖酸比と同様の傾向を示した。糖酸比18以上かつ食味点数3の高品質果実は2014年収穫果実においては「ソフトタッチ」の11月上旬処理区と自然夏実区、「サマーゴールド」と「ジュリオスター」の自然夏実区が該当した。2015年収穫果実では「ボゴール」の全処理区、「ゴールドバレル」、「サマーゴールド」、「ソフトタッチ」、「沖農 P17」の11月上旬処理区および自然夏実区と「ジュリオスター」の自然夏実区で得られた。このことから、宮古地域において良食味の果実を得るためには、以上の6品種を用いるのが好ましいと考えられた。そして、「ボゴール」は10月以降に花芽誘導処理を行い、「サマーゴールド」を除く4品種では、11月以降に花芽誘導処理を行う方が良いと考えられる。これらの6品種の花芽誘導処理および自然夏実を組み合わせることで、4月下旬から8月中旬まで収穫期を分散させながら高品質果実が収穫でき、長期間の果実供給が可能となることが明らかになった。

キーワード: 花芽誘導処理時期, 高品質果実

#### 緒言

沖縄県のパインアップル栽培は、主に本島北部や八重山などの酸性土壌地域(国頭マージ)で行われており、2014年度は農業産出額15億円、栽培面積490ha、収穫量7,130トンとなっている(沖縄県農林水産部、2017). 宮古地域においては、パインアップル栽培に適さないとされる弱アルカリ性の島尻マージ(石灰性暗赤色土)が広く分布するため、これまで栽培はほとんど行われてこなかった. しかし、近年の大型クルーズ船就航に伴う海外からの観光客の増加などの要因によって、熱帯果樹類の需要の高まりや長期間果実を供給できる体制が望まれていることなどから、一部に分布する酸性土壌において、パインアップルの経済栽培が行われている.

パインアップルは生長点部分にエチレンおよび エチレン類似の不飽和炭化水素を作用することで, 花芽が誘導されることがわかっている(小那覇, 2002). この特性を利用して花芽誘導処理の時期を 変更することで,収穫時期をずらすことが可能であ る. パインアップル栽培の盛んな本島北部および八 重山地域では,収穫時期の分散・拡大を目的として, 高品質果実が収穫できる植付け時期や各品種におけ る花芽誘導処理時期の検討が行われてきた. 一方宮 古地域においては,これまで栽培試験等はほとんど 行われておらず,不明な部分が多い.そのため宮古地域の生産者に対して,パインアップルの品種特性や栽培管理技術に関する早急な情報提供が必要とされている.

そこで本研究では、花芽誘導処理技術を用いて宮 古地域の夏植え作型のパインアップル栽培における 収穫時期や果実品質について調査した. さらに調査 結果から、高品質果実が得られる収穫時期について 検討した.

#### 材料および方法

試験は、沖縄県農業研究センター宮古島支所内の露地圃場(pH4.5~5.5)において2012年から2015年にかけて実施した。作型は、9~10月に植え付けて2年後の夏に果実を収穫する夏植えー自然夏実体系と、花芽誘導処理を実施し出蕾・収穫を前進化させる夏植えー促進夏実体系で行った。供試品種は「N67-10」、「ボゴール」、「ソフトタッチ」、「サマーゴールド」、「ゴールドバレル」、「ジュリオスター」、「沖農P17」の7品種を用いた。試験区は、植え付け後翌年の10月に花芽誘導処理を実施した10月上旬処理区、11月に実施した11月上旬処理区、そして花芽誘導処理を行わない自然夏実区の3試験区を設定し、1試験区あたり20株を供試した。花芽誘導処

表 1. 各収穫年における植え付け日と花芽誘導処理日

収穫年	植え付け日	10月上旬処理区	11月上旬処理区
2014年	2012年9月30日	2013年10月1日	2013年11月1日
2015年	2013年9月30日	2014年10月3日	2014年11月4日

理は、エテホン 1,000 倍と 3% 尿素の混合液を午後 3 時以降に葉芯に 25ml 灌注した. 耕種概要はうね幅 150cm, 株間 30cm, 列間 60cm の黒マルチ栽培で実施した. その他の栽培管理は沖縄県果樹栽培要領に準じた. 調査は、2014 年収穫と 2015 年収穫の 2 回実施した. ただし「沖農 P17」は 2015 年収穫の 1 回実施した.

2014年収穫と2015年収穫の植付け日,花芽誘導 処理日は表1のとおりである.

調査は、出蕾時期や出蕾割合、収穫時期や果実品質について行った、収穫は「N67-10」および「ソフトタッチ」は2分熟で、その他の品種は3~5分熟で収穫した、収穫した果実は冠芽を切除し、果実重を測定した。その後、縦1/4に切り、搾汁後濾過した果汁を用いて、酸糖度分析装置(HORIBA NH-2000)で酸度および糖度を測定した。また食味評価(5:良い、4:やや良い、3:普通、2:やや悪い、1:悪い)を実施し、食味点数により品質を達観評価した.収穫終了後、収穫日、花芽誘導処理から収穫までの日数、果実重量、糖度、酸度、糖酸比、食味点数について、供試品種ごとの平均値を算出した.

宮古地域における高品質果実基準値は、沖縄県における高品質果実の基準値(果汁 Brix14%以上、クエン酸含量 0.8%以下、糖酸比 18 以上)(沖縄県農林水産部、2013) および、2 回の収穫で得られた促進夏実および自然夏実のデータから、糖酸比 18 以上かつ食味点数 3 以上を目安とした。そしてこれらが得られる品種と処理区、収穫時期について考察した。

#### 結 果

各品種の促進夏実と自然夏実における収穫時期および果実品質の結果を表 2 に示した. 次に品種ごとに処理区別の結果を述べる.

#### ΓN67-10\_

2014年および2015年の平均収穫日はそれぞれ,10月上旬処理区が7月16日,6月14日,11月上旬処理区が7月23日,6月30日で花芽誘導処理から239日~288日で収穫できた.自然夏実区の収穫日はそれぞれ7月28日,7月15日であった.2014年の10月上旬処理区は収穫期間が68日と幅広く,花芽誘導処理の効果が低いことが示唆された.果実重

は 2015 年の 11 月処理区を除いて 1 kg以上の大玉果実が得られた. 糖度はいずれの処理区で  $14.0 \sim 15.1$  と供試品種の中でも全体的に低く, 高品質果実基準を満たす果実は得られなかった.

#### 「ゴールドバレル」

2014年および2015年の平均収穫日はそれぞれ、10月上旬処理区が4月25日、4月18日、11月上旬処理区が6月1日、5月29日で花芽誘導処理から197日~213日と約7ヶ月前後で収穫できた。2015年の自然夏実区の収穫日は7月6日であった。2014年の自然夏実区では出蕾が確認されなかった。10月上旬処理区および11月上旬処理区の果実重は844g~1065gであった。自然夏実区の果実重は1502gであり、花芽誘導処理を行った10月上旬および11月上旬区と比較すると大玉の果実が得られた。酸度は10月上旬処理区で2年とも1を超えていたが、11月上旬処理区で2年とも1を超えていたが、11月上旬処理区で2年とも1を超えていた、糖酸比は自然夏実区で10月上旬処理区で25.3と最も高かった。果実品質は2015年の11月上旬処理区および自然夏実区で高品質果実基準を満たす果実が得られた。

#### 「サマーゴールド」

2014年および2015年の平均収穫日はそれぞれ、10月上旬処理区が5月7日、5月10日、11月上旬処理区が6月18日、6月15日で花芽誘導処理から219日~229日と約7ヶ月で収穫できた。自然夏実区はそれぞれ7月23日、7月22日と7月下旬に収穫された。各品種の果実重は803g~923gであった。糖度、酸度および糖酸比は年次間でばらつきがみられたが、自然夏実区の糖酸比は2年とも25以上であり、高品質果実基準を満たす果実が得られた。

#### 「ジュリオスター」

2014年および 2015年の平均収穫日はそれぞれ, 10月上旬処理区が 4月 30日, 4月 23日, 11月上旬処理区が 6月 9日, 6月 1日で花芽誘導処理から 202日~220日と7ヶ月前後で収穫できた. 自然夏実区の収穫日はそれぞれ7月 11日,7月 3日であった. 2014年の自然夏実区は出蕾率が 15%と低かった. 酸度は 10月上旬処理区で 2年とも 1を超えており高かったが,11月上旬処理および自然夏実区の順に低下していった. 酸度の低下に伴い,糖酸比は上昇し,自然夏実区では 23以上と処理区間で最も高い値を示した. 高品質果実基準を満たす果実が得られたのは,2015年の 11月処理区および 2014年

表 2 各品種の促進夏実と自然夏実における収穫時期および果実特性

品種	処理区	収穫年	出蕾率		収穫時期		処理から収穫	果実重	糖度	酸度	糖酸比	食味1)
DD19	及主区	权接干	(%)	開始	平均	終了	までの日数	(g)	(Brix)	(%)	が自由文プロ	良味
	10月上旬	2014	77	5/30	7/16	8/6	288	1056	14.0	0.66	22.9	2.9
	10万工的	2015	95	5/29	6/14	7/2	254	1121	15.0	0.86	17.8	2.6
N67-10	11月上旬	2014	91	7/18	7/23	7/30	265	852	15.2	0.58	27.0	2.7
N67-10	11月上旬	2015	95	6/24	6/30	7/2	239	1544	14.8	0.70	21.8	2.2
	自然夏実	2014	83	7/22	7/28	8/11	_	1081	14.6	0.59	25.4	2.8
	日	2015	100	7/6	7/15	7/31	_	1229	15.1	0.88	17.8	2.8
	10月上旬	2014	91	4/14	4/25	6/24	206	844	16.2	1.21	14.2	1.7
	10万工的	2015	95	4/13	4/18	4/24	197	1065	18.2	1.16	15.9	3.1
ゴールドバレル	11日 1- 石	2014	64	5/19	6/1	6/13	213	987	17.7	0.86	20.6	2.9
1-11/11/11	11月上旬	2015	100	5/25	5/29	6/10	206	1007	17.6	0.91	19.4	3.1
	自然夏実	2014	0	_		_		_	_	_	_	-
	日	2015	70	7/1	7/6	7/13	-	1502	17.4	0.70	25.3	4.0
	10月上旬	2014	82	5/2	5/7	5/15	219	870	15.2	1.45	10.5	2.1
	10月上旬	2015	90	4/28	5/10	5/18	219	923	20.6	0.76	27.9	2.7
4	11月上旬	2014	82	6/16	6/18	6/24	229	903	16.0	1.08	15.0	3.5
サマーユールト		2015	86	6/10	6/15	6/22	223	803	18.7	0.64	29.9	2.9
	自然夏実	2014	78	7/14	7/23	8/14	_	804	16.2	0.69	25.6	3.1
		2015	85	7/13	7/22	7/31	-	921	17.1	0.63	28.2	4.0
	10月上旬	2014	89	4/21	4/30	5/9	211	787	15.2	1.45	10.5	2.1
		2015	100	4/20	4/23	5/4	202	1016	15.0	1.15	13.2	2.2
25 11-1-77	11月上旬	2014	89	6/2	6/9	7/2	220	696	16.0	1.08	15.0	3.5
ジュリオスター		2015	100	5/27	6/1	6/5	209	983	16.0	0.90	18.1	3.4
	自然夏実	2014	15	7/2	7/11	7/16	_	1100	16.2	0.69	25.6	3.1
		2015	86	6/5	7/3	7/13		990	16.8	0.75	23.0	3.3
	10日1日	2014	86	4/21	4/29	5/7	210	811	15.6	1.41	11.2	2.6
	10月上旬	2015	100	4/20	4/22	4/28	201	1011	16.6	0.97	17.6	1.8
11-11 h - T	11814	2014	90	5/28	5/30	6/11	211	1036	16.9	0.95	18.0	3.9
ソフトタッチ	11月上旬	2015	100	5/22	5/27	6/22	205	831	18.5	0.89	21.6	3.0
	占外百位	2014	82	7/10	7/16	8/1	_	1009	16.3	0.59	27.8	3.5
	自然夏実	2015	100	6/17	6/30	7/17	_	893	16.8	0.71	24.3	3.2
	10814	2014	95	4/21	5/4	5/12	216	897	18.0	1.40	13.0	2.9
	10月上旬	2015	100	4/24	5/2	5/8	211	1083	20.7	1.06	19.8	3.2
237 38 3		2014	90	6/2	6/6	6/11	218	775	18.5	0.90	20.8	2.3
ボゴール	11月上旬	2015	95	5/27	6/2	6/10	211	845	20.6	0.73	29.0	3.9
	占处更是	2014	85	6/30	7/4	7/10	_	884	17.7	0.72	25.3	2.3
	自然夏実	2015	90	6/12	6/20	7/6	_	992	21.2	0.57	37.6	3.8
	10月上旬	2015	90	5/11	5/20	5/27	230	955	20.6	0.92	22.7	2.8
沖農P17	11月上旬	2015	100	6/22	7/11	8/10	239	1320	20.4	0.81	25.6	3.8
1丁辰111	自然夏実	2015	73	7/24	8/3	8/11		1400	19.8	0.71	28.3	3.9

1) 食味は、5:良い、4:やや良い、3:普通、2:やや悪い、1:悪いで評価を行った。

と 2015 年の自然夏実区であった.

#### 「ソフトタッチ」

2014年および 2015年の平均収穫日はそれぞれ, 10月上旬処理区が 4月 29日, 4月 22日, 11月上旬処理区が 5月 30日, 5月 27日で花芽誘導処理から 201日~211日と約7ヶ月で収穫できた. 自然夏実区の収穫日はそれぞれ7月16日,6月30日であった. 各品種の果実重は 811g~1036g であった. 果実品質は, 2014年と 2015年の11月上旬処理区および自然夏実区で高品質果実基準を満たす果実が得られた.

## 「ボゴール」

2014年および2015年の平均収穫日はそれぞれ, 10月上旬処理区が5月4日,5月2日,11月上旬処理区が6月6日,6月2日で花芽誘導処理から211 日~218日と約7ヶ月で収穫できた。自然夏実区の収穫日はそれぞれ7月4日,6月20日であった。糖度は年次間でばらつきがみられたが,いずれの処理区もBrix17.7%以上と高い値を示した。果実品質は,2015年の全処理区において高品質果実基準を満たす果実が得られた。

#### 「沖農 P17」

平均収穫日は10月上旬処理区が5月20日,11月上旬処理区が7月11日で花芽誘導処理から230~239日と約8ヶ月で収穫できた.自然夏実区の収穫日は8月3日で,他の供試品種と比べて最も遅かった.果実重は10月上旬処理区で955gと他処理区と比較してやや小さかったが,11月上旬処理区および自然夏実区ではそれぞれ1320g,1400gと大玉果

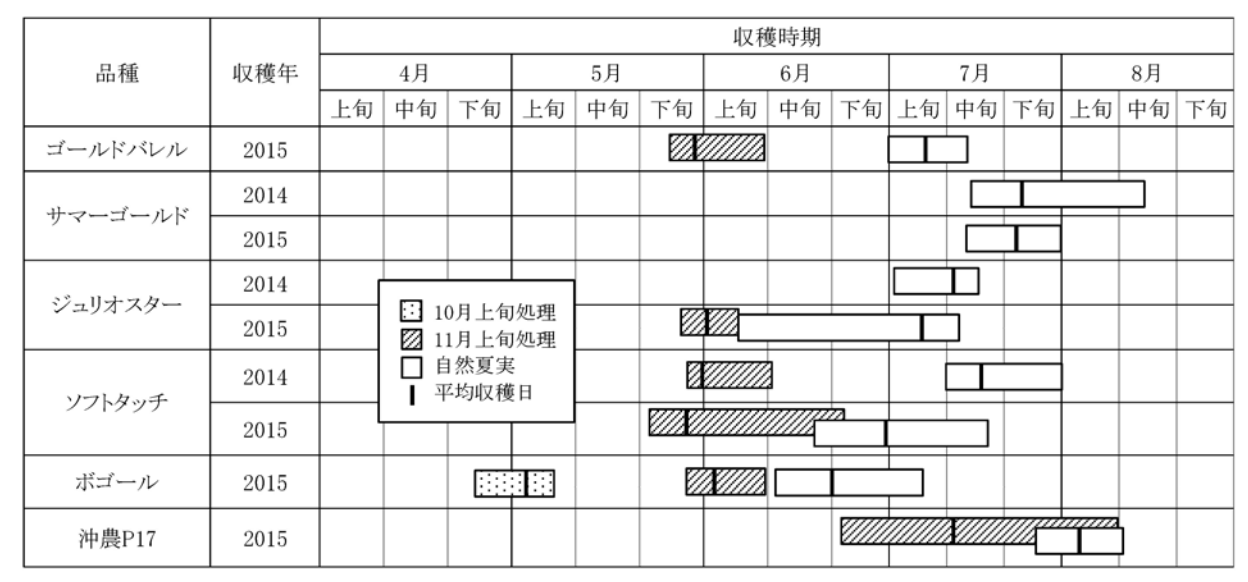


図1 高品質果実 1) が得られる各品種の収穫時期

1) 高品質果実の基準値は糖酸比 18.0 以上、食味点数 3.0 以上である。

実が得られた.酸度は10月上旬処理区が最も高く、11月上旬処理区および自然夏実区の順に低下していった.酸度の低下に伴い、糖酸比は上昇し、自然夏実区では28.3と最も高い値を示した.高品質果実基準を満たす果実が得られたのは、11月上旬処理区および自然夏実区であった.

#### 考 察

2014年の「ゴールドバレル」および「ジュリオスター」における自然夏実区の出蕾率は、それぞれ 0% および 15%と低かった.「ジュリオスター」は夏植え作型の自然出蕾率は既存品種よりも低いことが報告されている(與那覇ら、2014). そのため、収量を安定的に確保するためには、花芽誘導処理を行うか、大苗を定植する必要があると考えられる.

果実品質について,沖縄県では品種育成の際の 高品質果実基準値を果汁 Brix14%以上, クエン酸含 量 0.8%以下,糖酸比 18以上としている(沖縄県 農林水産部,2013). この値を目安に宮古地域にお けるパインアップルの果実品質基準について,高 品質果実基準を糖酸比18以上かつ食味点数3以上 とすると 2014 年収穫果実においては「ソフトタッ チ」の11月上旬処理区と自然夏実区、「サマーゴー ルド」と「ジュリオスター」の自然夏実区が該当し た. 2015年収穫果実では「ボゴール」の全処理区, 「ゴールドバレル」,「サマーゴールド」,「ソフトタッ チ」,「沖農 P17」の11月上旬処理区および自然夏実 区と「ジュリオスター」の自然夏実区において基準 値を満たしていた. この結果をもとに図1に, 高品 質果実基準値を満たす品種の収穫時期を処理時期別 に示した. 宮古地域の夏植え栽培において, 生果用 パインアップルは4月下旬から5月上旬には花芽誘導処理を10月上旬に行うことで「ボゴール」が高品質で収穫できる.5月下旬から6月上旬には花芽誘導処理を11月上旬に行うことで「ゴールドバレル」、「ジュリオスター」、「ソフトタッチ」、「ボゴール」の4品種が高品質で収穫できる.6月下旬は質で収穫できる.7月は花芽誘導処理を11月上旬に行うことで「沖農P17」が、自然夏実で「ゴールドバレル」、「サマーゴールド」、「ジュリオスター」、「ソフトタッチ」の5品種が高品質で収穫できる.8月上旬は自然夏実の「沖農P17」が高品質で収穫できる.8月上旬は自然夏実の「沖農P17」が高品質で収穫できる.8月

以上のことから、宮古地域において良食味の果実を得るためには、図1に示す6品種を用いるのが好ましいと考えられた。そして、「ボゴール」は10月以降に花芽誘導処理を行い、「サマーゴールド」を除く4品種では、11月以降に花芽誘導処理を行う方が良いと考えられる。これらの6品種の花芽誘導処理および自然夏実を組み合わせることで、4月下旬から8月中旬まで収穫期を分散させながら高品質果実が収穫でき、長期間の果実供給が可能となると推測された。

各品種の処理区間において果実品質を比較すると、糖度は有意な差はみられなかったが、酸度は「N67-10」を除く全ての品種で10月上旬処理区が最も高く、11月上旬処理区および自然夏実区の順で低下する傾向を示した。酸度の低下に伴い、糖酸比の値は「N67-10」と「サマーゴールド」を除いて10月上旬処理区が最も低く、11月上旬処理区、自然夏実区の順で上昇した。また食味点数も、10月上旬処理区よりも11月上旬処理区以降の試験区で高

くなった. この傾向は 2014, 2015 年の 2 年間同様に みられた. この要因について,川満ら(1995)によ ると、パインアップルの糖含量は、季節で変化せず、 有機酸含量は夏から冬実にかけて著しく増加し、そ の結果,糖酸比は著しく低下している.糖含量がほ とんど変化しない理由として、8~12月の間、葉 においては光合成が十分行われ, 冬に向かうにつれ 気温の低下で呼吸は抑制されるため、 果実において は糖が蓄積し易い条件になるためと述べている. ま た, 有機酸含量は発育中期に最高値に達し、その後 呼吸基質として消費されるため減少する. このこと から, 今回の試験においても, 気温が上昇し, 呼吸 量が増える5月以降においてその傾向が表れたと示 唆される. 福元ら(2002) は、パインアップルの果 実品質は夜温の上昇に伴い、糖度が上昇して酸度が 低下することで糖酸比が向上すると述べていること から, 収穫期が遅くなると糖酸比は上昇することが 示唆された.

これまでに, 各品種の収穫時期や果実品質につ いては、産地である沖縄本島北部や八重山地域で 試験が行われている. 正田ら(2014) は,「ボゴー ル」および「ソフトタッチ」の自然夏実の収穫時 期は、本島北部地域で7月中下旬、八重山地域では それよりも約3週間程度早い6月下旬~7月上旬に 収穫でき,「N67-10」および「沖農 P17」は本島北部 地域で8月下旬、八重山地域は約1ヶ月早い7月下 旬に収穫できることを報告した. 宮古地域におけ る各品種の収穫時期について他産地と比較すると, 「N67-10」,「ソフトタッチ」,「ボゴール」および「沖 農 P17」の自然夏実の収穫時期は、八重山地域と同 等であり、本島北部地域より2~3週間程度早い. 竹内ら(2014)は、「ジュリオスター」において本 島北部地域で11月上旬~翌年4月中旬に花芽誘導 処理を行うと,7月上旬~9月中旬に高品質果実(糖 度 14.5° Brix 以上, 酸度 0.79%以下, 糖酸比 17.8以上) が収穫できることを報告した。宮古地域では11月 上旬に花芽誘導処理を行うと6月上旬に高品質果実 が得られたため、本島北部地域よりも1ヶ月程度 早く高品質果実が収穫可能である. この理由とし て 2012 ~ 2015 年の宮古地域 (鏡原気象台) および 本島北部(名護気象台)における日平均気温の年間 積算温度はそれぞれ8610.2℃,8315.9℃であり、宮 古地域は本島北部地域よりも約300℃高い. 先述の 川満ら(1995)の報告より、積算温度の高い宮古地 域では呼吸量の増加による熟の進みや減酸現象が本 島北部よりも早い時期から始まるため, 収穫時期も 早くなったと考えられる. また本島北部地域におい ては,「ゴールドバレル」や「サマーゴールド」な ど各品種について, ハウス栽培における収穫時期や 果実品質の研究が行われている.「ゴールドバレル」 のハウス栽培では生育や果実肥大が促進され、いずれの花芽誘導処理時期ともに露地栽培にくらべ収穫時期が1ヶ月程度早まり、商品価値の高い大果な果実が収穫できる(竹内ら、2016)ことが報告されている。宮古地域においてもハウス栽培の導入を検討することで、さらなる収穫期拡大の可能性が示唆される。

## 謝辞

本研究は「気候変動対応型果樹農業技術開発事業」の一課題として実施された.本研究の推進にあたり、沖縄県農業研究センター宮古島支所の皆様には多大なご協力、ご助言をいただきまして心より感謝致します.

#### 引用文献

- 福元康文, 西村安代, 島崎一彦 (2002), パイナップルの 品質に及ぼす夜温, 日射量とエスレル処理濃度の影響, 園学雑71(別1)
- 川満芳信, 與儀喜代政, 濱上昭人, 野瀬昭博, 比嘉正和 (1995), パインアップル果実の糖, 有機酸, ブロメ ラインにおける品種間差異, 季節および収穫後の変 化, 沖縄農業, 30 (1)
- 沖縄県農林水産部 (2013), 沖縄県におけるパインアップ ルの育種
- 沖縄県農林水産部 (2017), 沖縄の農林水産業
- 小那覇安優 (2002), パイナップルの生理生態に関する研究, 沖縄県農業試験場報告, 25
- 正田守幸, 竹内誠人, 與那覇至, 與那嶺要, 諸見里知絵, 出花幸之介, 粟国佳史, 喜納兼二, 崎山澄寿, 池宮 秀和 (2014), 極高糖性で果実病害の発生が少ないパインアップル新品種候補「沖縄 17 号」, 平成 26 年度 普及に移す技術の概要, 沖縄県農林水産部
- 竹内誠人,諸見里知絵,玉城聡,正田守幸(2016),パインアップル「ゴールドバレル」のハウス栽培による高品質果実出荷時期,平成28年度普及に移す技術の概要,沖縄県農林水産部
- 竹内誠人,諸見里知絵,與那嶺要,正田守幸,長浜隆市, 金城秀樹 (2014),本島北部地域における「ジュリオ スター」の高品質果実栽培法,平成26年度普及に移 す技術の概要,沖縄県農林水産部
- 與那覇至,與那嶺要,大野豪,村山盛敏,宮平米浩,宮里進, 東嘉弥真勇人 (2014),八重山地域における「ジュリ オスター」の高品質果実栽培法,平成26年度普及に 移す技術の概要,沖縄県農林水産部

## Harvest period for high-quality fresh pineapple on Miyako Island, Okinawa

Ayaka Irei<sup>1</sup>, Kazufumi Yoza<sup>2</sup>, Ryotaro Ichi<sup>3</sup>

Okinawa Prefectural Agricultural Research Center
 Okinawa Prefectural Agricultural Research Center Miyakojima Branch
 Okinawa Prefectural Agricultural College

#### **Abstract**

The effects of flower induction treatment (treatment from early October and early November) and natural conditions on the fruit characteristics of 7 pineapple cultivars were compared. Although there was no significant difference in sugar content, the acidity was highest with the early October treatment in 6 cultivars except "N67-10" and decreased in order of early November treatment and natural conditions. The sugar/acid ratio was lowest with early October treatment in 5 cultivars except "N67-10" and "Summer Gold", and increased in order of early November treatment and natural conditions. The taste scores matched the sugar/acid ratios. In 2014, high-quality fruit with a sugar/acid ratio of 18 or higher and a taste score of 3 was obtained with early November treatment and natural conditions for "Soft Touch", and with natural conditions for "Summer Gold" and "Julio Star". In 2015, similar quality fruit was obtained with all treatments for "Bogor", with early November treatment and natural conditions for "Gold Barrel", "Summer Gold", "Soft Touch" and "Okino P17", and only by natural conditions for "Julio Star". From these results, it was considered preferable to use the 6 cultivars mentioned above in order to obtain good tasting fruit from the Miyako area. Flower bud induction treatment was carried out for "Bogor" after October, and we found that flower bud induction treatment should be performed after November for 4 cultivars except "Summer Gold". The harvest period can be expanded by combining the flower induction treatment and natural conditions for these 6 cultivars. Furthermore, high-quality fruit can be harvested from late April to middle August by varying the harvesting period.

Keywords: flower induction processing time, high-quality fruit

## 原著論文

## 真空脱気を利用して膨張させた黒糖(エアイン黒糖)の基本製造条件と特性

前田剛希1, 広瀬直人1

1沖縄県農業研究センター農業システム開発班

#### 要 約

真空脱気の原理を利用して膨張させた黒糖,いわゆるエアイン黒糖について、黒糖を膨張させるタイミングなどエアイン黒糖の基本的な製造条件を確認した。また、エアイン黒糖と従来法で製造した黒糖について、密度と溶解性、崩壊性を比較した。試験の結果、次の知見を得た。

黒糖製造の際、固化直前のサトウキビハイシロップ(ショ糖が過飽和状態になるまで煮詰めた蔗汁)を密閉容器内に入れ、真空ポンプで排気して容器内を減圧することで、膨張した黒糖、いわゆるエアイン黒糖が得られた。エアイン黒糖の製造では、ハイシロップの急冷固化を防ぐために、型へ移すまではハイシロップを加温しながら撹拌すること、型は冷却撹拌終了時のハイシロップ液温と同程度の90℃前後に加温しておくことが必要であった。エアイン黒糖は型崩れし易いが、離型油や離型し易いシリコン製の型あるいはシリコンコートされた型を使うことで、取り外し時の型崩れを防ぎ、様々な形状のエアイン黒糖を製造できた。

エアイン黒糖は、通常の黒糖と比較して  $2\sim3$  倍に膨張しており、破断荷重は小さく、溶解性と崩壊性は向上した。エアイン黒糖は噛み砕きやすく、口溶けの良い性質を有した黒糖であることが明らかになった。

キーワード:サトウキビ,食感

#### 緒言

黒糖は、サトウキビ (Saccharum spp. hybrid) の汁を煮詰めた砂糖菓子である. サトウキビは、沖縄県と鹿児島県に属する南西諸島全域で盛んに栽培されている. 沖縄県におけるサトウキビ生産の経済波及効果は、サトウキビ生産額ベースで4.3 倍である (家坂, 2001). 沖縄県内には JA や製糖会社の運営する黒糖工場が8工場あるが、いずれも所在地は離島であり、サトウキビを原料とした製糖業は、島の経済を支える重要な産業の一つになっている.

沖縄県全体では年間約8000トンの黒糖が生産されており、そのうち約9割が羊羹やかりんとうなどの菓子あるいは黒糖焼酎などの原料用として、残りの約1割が黒糖をそのまま消費する直消用として流通している. 黒糖は、お茶うけの菓子としてはもちろん、料理やお菓子作りにも利用され、観光土産としての人気も高い. 市場には、黒糖をアレンジした様々な商品が流通している. そのほとんどは「味」や「香り」、「形・パッケージ」に着目したものである.

黒糖は、製造工程中に生じるカラメル様物質やメイラード反応物による独特な色調、風味を呈する(中田ら、1964) 黒色の砂糖菓子である. 黒糖独特の風味と色は、黒糖の長所である反面、味や香り、色をアレンジしにくいという短所でもある. 黒糖は、石灰を入れて灰汁取り(ライミング)した蔗汁を加熱

濃縮して作られる. 石灰を使わない (ライミングをしない) で作られた黒糖は色が明るくすっきりした味になる (氏原ら,2009). 茎の汁だけでなく,梢頭部汁を原料汁に含めると,ポリフェノールが豊富で,黒い色調や苦味の強い黒糖を作ることが可能である (前田ら,2017). いずれにしても原料がサトウキビの汁だけであることから,黒糖の味や香りをアレンジするには限界があると考えられる.

一方、黒糖以外の食品を見ると、味や香りに留まらず、「食感」に特徴を持たせた製品が数多く開発されている。例えば、チョコレートでは軟らかい生チョコや発泡させて口当たりを軽くしたエアインチョコが数多く開発されている。黒糖でも、食感に特徴を持つ製品ができれば、新しい需要が創出され、大きな経済効果をもたらすことも期待できる。

食感に特徴付けした代表的な食品の1つであるエアインチョコは、チョコレート生地を撹拌して気体を含ませながら冷却後、減圧下で生地中の気泡を膨化させる方法(牧野ら、1983)、いわゆる減圧冷却法で製造されている。減圧冷却法で作られたエアインチョコの内部は、連続したチョコレートの壁が気泡を包む構造をしている。

チョコレートと異なり、黒糖は、成分の約9割が 糖質である(科学技術庁資源調査会5訂日本食品標 準成分表). ほとんど砂糖の結晶の塊である黒糖で もチョコレートと同様に、膨張して気泡を包む壁構 造が形成されたエアイン製品を作ることができるのか,また,その食感はどのようなものになるかは不明である.

そこで本研究では、エアインチョコの製造法である減圧冷却法で使われている真空脱気の原理(密閉容器に材料を入れて、容器内の空気を真空ポンプで排気すると、材料に溶け込んだ空気が膨張して発泡する)を利用して、膨張した黒糖、いわゆるエアイン黒糖の製造を試みた.次にエアイン黒糖の基本的な製造条件として、真空脱気のタイミングや型の加温条件、離型油の有効性、型の素材などを検討した.また、冷却撹拌時間とエアイン黒糖の膨張程度の関係についても調べた.さらに、エアイン黒糖の特性を明らかにするために、従来法で製造した黒糖と密度や硬度、崩壊性、溶解性を比較した.

#### 実験材料および方法

## 試験 1. エアイン黒糖の製造条件の検討 1. 真空脱気と固化のタイミングの検討

#### 1) サトウキビシロップの調製

2013 年 3 月に沖縄県農業研究センター内のほ場で収穫したサトウキビ 'Ni21'を,小型二軸圧搾機(松尾製作所,鹿児島)で搾汁した.石灰でpH7.5 に調整した蔗汁を,沸騰するまで加熱後,8000rpmで10分間遠心分離した.得られた上清を加熱濃縮して,Brix50%のサトウキビシロップ(以後シロップ)を調製した.シロップは黒糖の製造まで-20℃で保存した.

#### 2) 黒糖の製造

1) で調製したシロップ 150 mL を家庭用深底鍋に入れて、ガスコンロで液温が 125℃に達するまで加熱濃縮した.濃縮したシロップ(以後ハイシロップ)は、広瀬ら(2014)が開発した卓上型黒糖試験製造装置の直径 8 cm のステンレス製容器に移し、翼径 7.5cm タービンタイプの撹拌羽根 2 枚を取り付けた攪拌機(BL300D、As ONE 製)を用いて、速度300rpm で撹拌しながら冷却した.攪拌羽根にかかるトルクが  $0.01N \cdot m$  未満、 $0.01 \sim 0.02N \cdot m$ ,  $0.06N \cdot m$  または  $0.06N \cdot m$  超に達した時点で、ステンレス製型(1 辺 2 cm の正方形× 16 個)にハイシロップを半分程度流し込み、0.5 cm 厚のアクリル板でフタをして約 1.5 Kg の重りを乗せた後、容積 19 L の真空デシケーターに入れて真空ポンプで 5 分間脱気(到達圧力 -0.08Pa)した.

3) 固化直前のハイシロップの状態と黒糖の膨張程度 固化直前のハイシロップの状態と、製造した黒糖 の膨張程度を目視で評価した.

## 2. 型の加温と黒糖の膨張程度の関係,型の素材の比較 1) 黒糖の製造

2014年11月に沖縄県農業研究センター内のほ場で収穫したサトウキビ(数品種混合)の蔗汁から、1.と同様にBrix50%のシロップを調製し、従来の黒糖とエアイン黒糖を製造した。エアイン黒糖は、型の加温の有無により、下記の2種類を製造した。また、型加温区については、離型油スプレーを用いた時の黒糖回収率も調べた。さらに、異なる素材の型を4種類(シリコーンゴム、ABS樹脂、スチール(シリコン加工、フッ素樹脂加工))用意して製造し、成型のし易さ、型崩れの状況を比較検討した。

①無加温区:撹拌停止後、ハイシロップを無加温の型(ステンレス製、横  $2 \text{ cm} \times$ 縦  $1.5 \text{ cm} \times 99$  個分)に流して、放冷固化あるいは下記②のとおりに真空脱気して固化した(型底面の温度: $25.4 \pm 0.1$   $\mathbb{C}$ 、型側面の温度: $26.9 \pm 1.3$   $\mathbb{C}$ ).

②加温区:撹拌停止後,ハイシロップを,家庭用ホットプレートで加温した型(設定温度:保温,型底面の温度:86.8 ± 10.0℃,型側面温度:86.9 ± 9.0℃)に流した後,密閉容器のステンレス製底板(底板表面温度: $26.9 \pm 0.6$ ℃)の上に置き,内寸が直径 54 cm ×高さ 19 cm のステンレス製ドーム型フタをかぶせて密閉,真空ポンプで脱気,固化した(写真1). 真空脱気は次の条件で行った.容器容量:27.5 L,排気速度:18 L/min,脱気時間:5 min.冷却撹拌停止時のハイシロップの温度: $104 \pm 7.4$ ℃.シロップと型の表面温度は,赤外線放射温度計 AD-5615((株) A&D)で測定した.

2) 黒糖の膨らみの程度と型に接する部分の厚さ 製造したエアイン黒糖の外観と、内部の様子を目 視で評価した.

## 3. 冷却撹拌時間とエアイン黒糖の膨張程度の関係 1) 黒糖の製造とエアイン黒糖の膨らみの程度の 調査

2016年4月に沖縄県農業研究センター内のほ場で収穫したサトウキビ(数品種混合)の蔗汁から、Brix50%のシロップを調製し、2.の型加温区と同様にしてエアイン黒糖を製造した。ハイシロップを冷却撹拌する際、ホットプレートスターラーRCT BS4



写真1 黒糖製造に用いた密閉容器と真空ポンプ,型

減圧脱気のタイミング (撹拌停止時の撹拌羽根		ハイシロップの状態	Fig. Late - about the control (E2)		
(視杆停止時の視杆羽根 にかかったトルク) <sup>注1)</sup>	色	- 黒糖の膨張の程度 <sup>注2)</sup>			
0.01 N·m未満	濃茶褐色	・水飴状。 ・容器を傾けると型に流れ落ちて、自然に広 がっていく。	全く膨らまないで普通の黒糖に なる。一部は飴状。		
0.01∼0.02 N·m	白濁	・練り歯みがきを水で溶いて軟らかくした様な 状態。 ・容器を傾けると型に流れ落ちて、自然に広 がっていく。	十分に膨らむ。		
0.06 N·m	白濁	・練り歯みがきを水で溶いて軟らかくした様な 状態。 ・容器を傾けると型に流れ落ちるが、少し堅め で、へら等で広げる必要がある。	十分に膨らむが、一部膨らむ前 に固まる。		
0.06 N·m超	白濁	<ul><li>・練ったセメント様。</li><li>・容器から型に移す途中で液が固まり始める。</li></ul>	膨らみが不十分で、膨らむ前に ほとんど固まる。		

注1) ライミング後、Brix50%に加熱濃縮したサトウキビ搾汁液150mlを125℃に達するまでさらに加熱濃縮。得られた糖液全量を直径8cmのステンレス製容器に移して、翼径7.5cmタービンタイプの撹拌羽根2枚を取り付けた攪拌機 (BL300D、As ONE製) で攪拌 (300rpm) し、撹拌羽根にかかるトルクを測定した。注2) 攪拌を止めた糖液を、ステンレス製金型 (1辺2cmの正方形×16個) に半分程度流し込んだ後、0.5cm厚のアクリル板でフタをし、その上に約1.5Kgの重りを乗せて、真空デシケーターに入れ、真空ポンプで5分間脱気 (到達圧力-0.08Pa) した。減圧脱気後の黒糖の性状を目視で確認した。

(IKA) で容器底面を80℃, 100℃, 120℃, 140℃に 加温して、冷却撹拌時間とエアイン黒糖の膨らみ程度の関係を調査した.

## 試験 2. エアイン黒糖の膨張率と硬度,溶解性, 崩壊性

#### 1. 黒糖の製造

試験 1-1 で調製したシロップで, エアイン黒糖と従来法の黒糖を製造した. エアイン黒糖は試験 1-1 と同様に製造した. ハイシロップが白濁し, 攪拌羽根にかかるトルクが 0.02N·m に達した時点で撹拌を止めて型に流し込み, 5 分間真空脱気しながら固化させた. 対照とする従来法の黒糖は, ハイシロップを流し込んだ後, 自然放冷によって固化させた.

硬度と崩壊性、溶解性を測定するための黒糖はステンレス製型(1 辺 2 cm の正方形× 16 個)で、膨張率測定用の黒糖はアクリル製の型(縦 1.5 cm × 横 1.5 cm × 高さ 17 cm)でそれぞれ製造した.

#### 2. 膨張率と硬度,崩壊性と溶解性の測定

膨張率は,真空脱気前後の黒糖の高さを測定し, 真空脱気前の高さを100%として算出した.

硬度は、1 片 2 cm 角の黒糖を試料に用いて、島津 小型卓上試験機 EZ-S 500N (島津製作所)で、破断 荷重 (N) を測定した. 試験治具は歯形押し棒 B を 用い、ストローク 1 cm/分で測定した.

崩壊性と溶解性は、次のとおりに測定した. 1 片2 cm 角の黒糖を 37℃の温湯中に入れて、スターラーが直接黒糖に触れないように温湯を 100 rpm の速度で撹拌した. 黒糖の形が崩れるまでの時間 (崩壊時間) と、水に完全に溶けるまでの時間 (溶解時間)

を測定した.

### 結果および考察

#### 試験 1. エアイン黒糖の製造条件の検討

#### 1. 真空脱気と固化のタイミングの検討

冷却撹拌時に撹拌羽根にかかるトルクが 0.01N·m未満のハイシロップは、水飴様であり、容器を傾けると型に流れ落ちて、自然に広がる程度の粘性を有していた.この状態のハイシロップを真空脱気すると膨らまずに固まり、一部は飴状になった.(表1、写真2).撹拌羽根にかかるトルクが 0.01~0.02N·mに達したハイシロップは、白濁して練り歯みがき粉を水に溶いて軟らかくした様な状態であり、容器を傾けると型に流れ落ちて自然に広がる程度の粘性を保っていた.この状態のハイシロップを真空脱気すると、膨らんで、中に空隙を含むエアイン黒糖が得られた.トルクが 0.06N·m のものも同様であったが、0.01~0.02N·m で撹拌を停止したハイシロップよりはやや固めであり、型に流す時には、へら等で広げ



写真 2 真空脱気のタイミングの違いによる黒糖の膨張程度 (左から撹拌羽根にかかるトルクが 0.01 N ·m 未満, 0.01 ~ 0.02N ·m, 0.06 N ·m のタイミングで撹拌を止めて真空脱気した)

		<b>済造の</b> 用歴	エアイ	イン黒糖
		通常の黒糖	型無加温区	型加温区
	冷却撹拌終了時の液温	$105.4 \pm 5.3$	$98.7 \pm 9.1$	$108.0 \pm 6.4$
	型横面の温度(℃)	$26.9 \pm 0.6$	$26.9\pm1.3$	$86.8 \pm 10.0$
	型底面の温度(℃)	$26.8 \pm 0.1$	$25.4 \pm 0.1$	$86.9 \pm 9.0$
	密閉容器底面の温度(℃)	_	$27.4\pm2.8$	$26.9 \pm 0.6$
黒	固まり具合	しっかり固まった。	しっかり固まった。	しっかり固まった。
無糖の	膨らみ具合	膨らんでいない。	一部膨らんだ。	全体が膨らんだ。
状	中のつまり具合	詰まっている。	一部に空隙。	全体的に空隙。
態	型枠からの取り外し具合	きれいに取れた。	きれいに取れた。	取れたが崩れ易い。
	型からの回収率(%)	100	88.5	67.5 (96%:離型油スプ レーを用いた場合)

る必要があった (表 1, 写真 2). トルクが  $0.06N \cdot m$  を超えるまで攪拌を続けると、ハイシロップは練ったセメント様になり、容器から型に移す途中で液が固まり始め、膨らみも不十分であった (表 1, 写真 2).

以上の結果から、冷却撹拌時の撹拌羽根にかかるトルクが 0.01 ~ 0.06N·m 未満であり、ハイシロップの状態が、水で溶いた練り歯みがき粉様で容器を傾けると流れ落ちて自然に広がる程度になった頃に、真空脱気しながら煮詰めたハイシロップを固化することで、十分な膨らみのエアイン黒糖を得ることができると推察された。

#### 2. 型の加温と黒糖の膨張程度の関係

型無加温区のエアイン黒糖は、型に接触する面が



写真 3 型の加温と黒糖の膨張程度の関係 (左から従来法の黒糖,エアイン黒糖(型無加温 区),エアイン黒糖(型加温区)

膨らむ前に固化し、膨らみも不十分だった(写真3 上,表2).一方,型加温区のエアイン黒糖は,全 体的に発泡しており,内部は空隙が均一に広がって いた (写真 3 下, 表 2). いずれのエアイン黒糖も, 崩れやすいために、従来法で製造した黒糖と比較 すると、型からの回収率が低下した(表2).特に、 型加温区のエアイン黒糖は、型との接触面まで空隙 があるので取り外しの際に型崩れし易く, 成形した 黒糖を70%弱しか回収できなかった(表2). 黒糖 の型崩れは、予め型に離型油をスプレーしておくこ とで防止でき、成形したエアイン黒糖を100%近く 回収できた (写真4). また、シリコーンゴム製の 型やシリコン加工・フッ素樹脂加工した型を用いれ ば、離型油スプレーを使わなくても、型からの取り 外しは比較的容易であり,成型したエアイン黒糖を 回収することができた (写真5).

## 3. 冷却撹拌時間とエアイン黒糖の膨張程度の関係 エアイン黒糖は、冷却撹拌時のハイシロップ加熱



写真4 型から取り外した際のエアイン黒糖の型崩れの 様子(左:離型油スプレー不使用,右:離型油 スプレー使用)



写真 5 素材の異なる型で成型したエアイン黒糖 (左からスチール・フッ素樹脂加工,スチール・シリコン加工,シリコーンゴム,ABS樹脂. 上段は黒糖の上の部分,下段は黒糖が型に接触していた面)

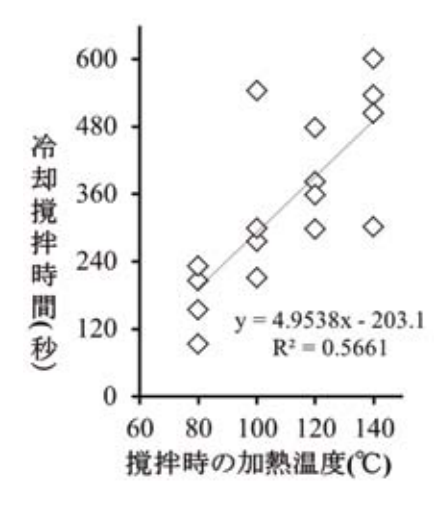


図1 冷却撹拌時のハイシロップ加熱温度と冷却撹拌 時間<sup>注)</sup>の関係

注)冷却撹拌時間:直径 8 c m のステンレス製容器に移したハイシロップを,翼径 7.5 c m タービンタイプの撹拌羽根 2 枚を取り付けた攪拌機(BL300D, AsONE製)を用いて速度 300 r p m で撹拌し,攪拌羽根にかかるトルクが 0.01 N·m に達するまでに要した時間.

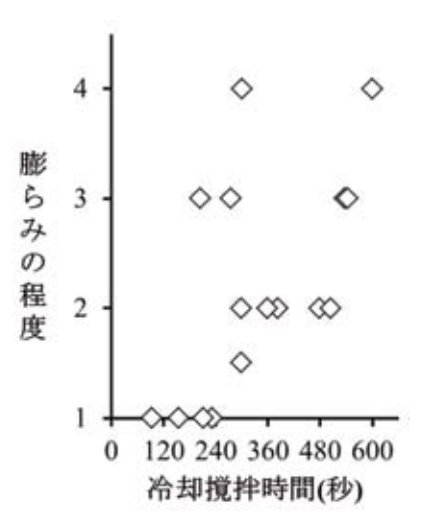


図2 冷却撹拌時間と膨らみの程度の関係

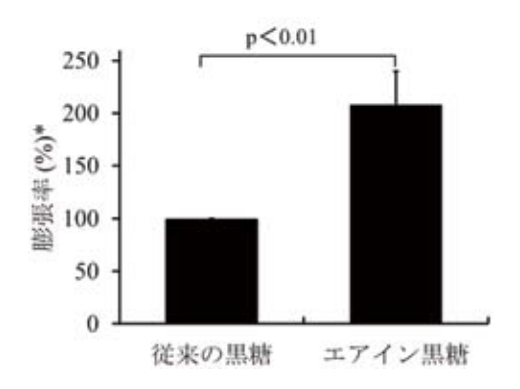


図3 従来法の黒糖とエアイン黒糖の膨張率



写真6 硬度測定用に製造したエアイン黒糖

温度が高いほど、冷却撹拌時間は長くなり(図 1)、冷却撹拌時間が長いほど安定して膨れる傾向を示した(図 2).一方、エアイン黒糖は膨れすぎると崩れやすくなるため、型からの取り出しが難しくなる状況も観察された.エアイン黒糖の製造においては、黒糖の膨らみを安定させることが最も重要とさる。さらに、型からの取り外しを確実にすることも製品化の際に必要不可欠な要素である.エアイン黒糖の型からの取り外しを容易にするためには、型の素材の選択はもちろん、撹拌程度の微妙な調整も必要と推察される.

## 試験 2. エアイン黒糖の膨張率と硬度,溶解性, 崩壊性

真空脱気しながら固化すると、従来の黒糖の2倍に膨張したエアイン黒糖が得られた。密度が低く、内部に空隙があるこの黒糖は、サクサクした軽い食感を有した(図3、写真6)。そこで、型で立方体に成型したエアイン黒糖(密度:従来法で製造した黒糖の約67.8%)と、同じ形状・大きさの従来法で製造した黒糖について、破断荷重と水に入れた時の溶解時間、崩壊時間を比較した。エアイン黒糖の破断荷重は従来の黒糖の1/6であり、従来の黒糖と比べ

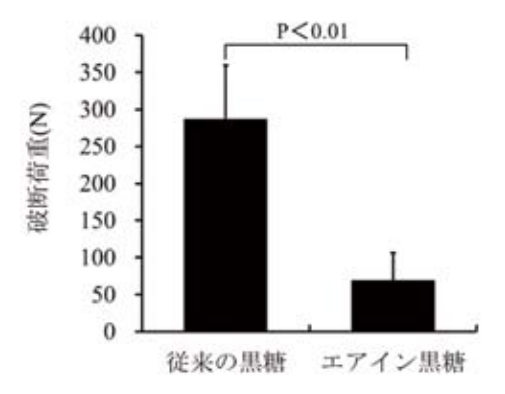


図4 従来法の黒糖とエアイン黒糖の破断荷重

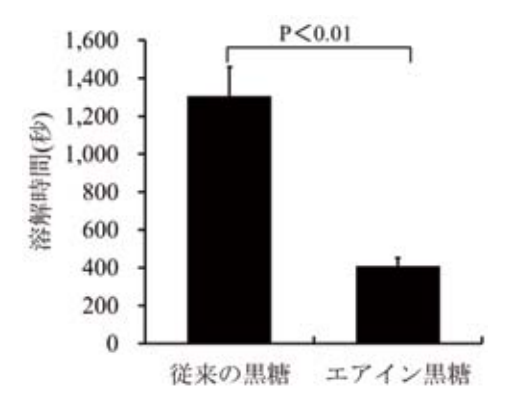


図6 従来法の黒糖とエアイン黒糖の溶解性

て、弱い力で噛み砕けることが明らかになった(図4). また、エアイン黒糖は、水中で形が崩壊するまでの時間が従来の黒糖の約1/10(図5)、完全に水に溶けるまでの時間は約1/3であった(図6). エアイン黒糖は、従来の黒糖と比べて、水を含むと顕著に崩れやすく、水に溶けやすい性質を有している事から、口溶けも良い黒糖であることが明らかになった.

チョコレートと同様に、真空脱気することで黒糖 でも内部に気泡を含むエアイン製品を製造できる ことが明らかになったが、チョコレートについて は,本報で黒糖の膨張に応用した減圧冷却法だけで なく, 常温あるいは加圧下で生地をホイップして気 泡を抱き込ませる方法(土井ら,1985)を始め、食 感を変えるために様々な研究が行われている. エア インチョコの製造では, 真空度や添加する油脂の種 類, 含気するガス等の条件を変えることによって, 気泡の大きさも変わる (Haedelt J., et.al., 2005, 2007). 著者らの研究でも, エアイン黒糖の製造条件を検討 していく過程で, 原料蔗汁によって膨らみの程度や 内部の気泡の大きさが異なるという事例が度々生じ た. 黒糖においても、細かい製造条件の変更や蔗汁 の状態を調整することで、様々な食感のエアイン黒 糖を製造できると予想される. 今後の課題とした V١.

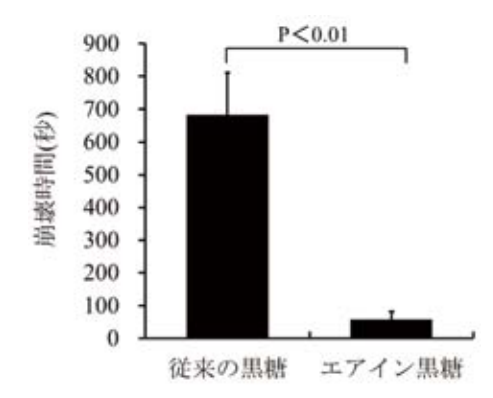


図5 従来法の黒糖とエアイン黒糖の崩壊性

以上の結果より, エアイン黒糖について次の知見 を得た.

- 1) 黒糖製造の際,固化直前の煮詰めたハイシロップを密閉容器内に入れて,真空ポンプで排気,容器内を減圧することで,膨張したエアイン黒糖を得られることが必要であった.
- 2) 十分に膨らんだエアイン黒糖を安定的に製造するためには、型に移すまで加温しながら十分に撹拌すること、型も十分に加温しておく事が必要であった。
- 3) シリコン製の型やシリコンコートされた型を使うことで、様々な形状のエアイン黒糖を作ることが可能であった.
- 4) エアイン黒糖は通常の黒糖と比較して  $2 \sim 3$  倍に膨張,密度は  $1/2 \sim 1/3$  になっていた.溶解性と崩壊性も顕著に向上していることから,サクサクした軽い食感で噛み砕きやすく,かつ口溶けの良い黒糖であることが明らかになった.

#### 謝辞

本研究は、新たな時代を見据えた糖業の高度化事業 (沖縄振興特別推進交付金) で実施した. 本研究の遂行にあたり、型の製作にご協力いただいた沖縄県農業研究センターの宮平守邦農林水産技能員とサトウキビの蔗汁を提供していただいた作物班の皆様には心より感謝いたします.

### 引用文献

家坂正光 (2001), 沖縄の農業労働力問題とサトウキビ生産構造 (推移と展望, 日本分蜜糖工業会, 沖縄甘蔗糖年報, 第32号, 21-28.

Haedelt J., Pyle D.L., Beckett S.T., Niranjan K., 2005. Vacuum induced bubble formation into liquid tempered chocolate, *J Food Sci*,

70(2): 159-64.

- Haedelt J., Beckett S.T., and Niranjan K., 2007, Bubble-Included Chocolate: Relating Structure with Sensory Response, *J Food Sci*, 72(3):138-142.
- 広瀬直人 (2014), 再現性の高い試験用黒糖の製造方法の 開発, 沖縄県農業研究センター研究報告, 8, 40 ~ 44
- 前田剛希・下地格・手登根正・下地浩之・上地克美・伊志嶺弘勝・砂川正幸・知念潤・出花幸之介・宮城克浩・荻貴之 (2017), 梢頭部汁を混合して製造した黒糖と茎汁のみで製造した黒糖の比較,沖縄県農業研究センター研究報告,投稿中.牧野正義,塚田尚義,膨化成型菓子及びその製造方法,1983,特開昭 58-107136.
- 牧野正義,塚田尚義,膨化成型菓子及びその製造方法, 1983,特開昭 58-107136.
- 中田栄太郎・前田直彦・谷口修・酒井一幸(1964), 黒糖 製造法,シュガーハンドブック(浜口栄二郎・桜井 芳人監修), 朝倉書店, p.106-118.
- 土井明, 松浪秀信, 松尾英明, 気泡性を有するチョコレート類の製造方法, 1985, 特開昭 60-58037.
- 氏原邦博・吉元誠・和田浩二・永井竜児・広瀬直人・照 屋亮 (2009), 黒砂糖の色調と品質に及ぼすサトウキ ビ搾汁機ローラーの材質とライミング処理の影響, 食科工, 56, 343 ~ 349.

# Characteristic features and manufacturing conditions of unrefined brown sugar (Air in unrefined brown sugar; Air in Kokuto) expanded using the principle of vacuum degassing

### Goki MAEDA, Naoto HIROSE

Okinawa Prefectural Agricultural Research Center, Regional Agricultural System Section,

#### Abstract

We tried making inflated Kokuto (Air in unrefined brown sugar; Air in Kokuto) using vacuum degassing. We compared the density, solubility and disintegration of Kokuto produced by the conventional method with those of Air in Kokuto. We also clarified the basic manufacturing conditions for Air in Kokuto such as timing to inflate Kokuto.

We found that expanded Kokuto can be obtained by putting the sugar cane high syrup in a sealed container immediately before solidification and evacuating it with a vacuum pump to depressurize the inside of the container. In order to make Air in Kokuto, it was necessary to stir the high syrup while heating until transferring to the mold. In addition, the mold had to be heated to around  $90^{\circ}$ C, which is approximately the same as the liquid temperature of the high syrup at the end of cooling and stirring. Air in Kokuto easily collapses when detached from the mold, but this can be prevented by using mold release oil, a silicone mold or a silicone-coated mold.

Air in Kokuto expanded 2- to 3-times more than conventional Kokuto, markedly decreasing the breaking load and improving the solubility and disintegration properties.

Keywords: Sugar cane, texture

## 原著論文

## 梢頭部汁を混合して製造した黒糖と茎汁のみで製造した黒糖の比較

前田剛希<sup>1</sup>, 下地 格<sup>1</sup>, 手登根正<sup>2</sup>, 下地浩之<sup>2</sup>, 上地克美<sup>2</sup>, 伊志嶺弘勝<sup>2</sup>, 砂川正幸<sup>2</sup>, 知念 潤<sup>1</sup>, 出花幸之介<sup>1</sup>, 宮城克浩<sup>3</sup>, 荻 貴之<sup>4</sup>

1 沖縄県農業研究センター 2 沖縄県農業研究センター宮古島支所 3 沖縄県農林水産部農林水産総務課 4 沖縄県工業技術センター

#### 要 約

サトウキビの梢頭部は、ほとんど糖分を含まないために黒糖製造時には原料茎から取り除かれているが、ポリフェノールやミネラル等の有用成分を多く含んでいる。サトウキビ梢頭部を原料に加えることで、ポリフェノールが豊富な黒糖を製造できることが期待される。

そこで、まずサトウキビの梢頭部と茎の搾汁液(梢頭部汁と茎汁)について、ポリフェノールやカリウム等の含量を比較した結果、梢頭部汁には茎汁と比較して、カリウムは約4倍、カルシウムは約5倍、ポリフェノールは約1.6倍多く含まれていた。次いで茎汁と梢頭部汁を混合して製造した梢頭部入り黒糖と、茎汁だけを原料とした従来の黒糖を製造し、色、ミネラル含量、ポリフェノール含量及び組成、抗酸化能を比較した結果、梢頭部汁入り黒糖は従来の黒糖よりも黒色が強く、カリウムやカルシウム、マグネシウム、およびポリフェノールは増加し、抗酸化能も強くなった。梢頭部汁入り黒糖には梢頭部由来のポリフェノールであるクロロゲン酸とネオクロロゲン酸が多く含まれていた。

梢頭部汁を原料に混合することで、黒糖のポリフェノール含量を増加、抗酸化能も強くするだけでなく、色調や味も 調整できる可能性が示唆された.

キーワード:ポリフェノール,ミネラル

#### 緒言

黒糖は、サトウキビ(Saccharum spp. hybrid)の搾汁を煮詰めた甘味原料であり、沖縄や鹿児島では伝統的な砂糖菓子としても食されている.黒糖の製造工程は単純で、概略すると次のとおりである.サトウキビの茎部の搾汁液を、石灰でpH7.5 前後に調整した後、加熱する.沸騰したら浮いてきた灰汁を除去し、搾汁液を煮詰める.搾汁液がショ糖の過飽和状態、いわゆるハイシロップの状態になるまで煮詰めたら、加熱を中止し、ハイシロップを撹拌する.金型などに流し込んで放冷すると、ショ糖の結晶化が進み、固化して黒糖ができあがる.

原料のサトウキビは、収穫時に、葉や梢頭部(第5完全展開葉の着生節部より上部を指す)を取り除き、原料茎として利用される(写真1). サトウキビ梢頭部(以後梢頭部)は糖分をほとんど含んでいないことから(藤井ら、1982)、黒糖の原料に混入すると単位重量あたりの製糖量、すなわち製糖歩留まりを低下させる原因となるため、製糖原料から取り除く対象となっている. 取り除かれた梢頭部は、そのまま畑に鋤込まれるか、苗や家畜の飼料(田中ら、2008)として利用される. 一方、梢頭部にはポリフェノール等の有用成分が多く含まれており(前

田,2010), 梢頭部を活用した高付加価値黒糖や機能性素材などの商品開発の展開も期待される. しかしながら, 積極的に梢頭部を黒糖原料に加える様な研究は行われていない.

そこで本研究では、まず梢頭部と茎部の搾汁液(以後、梢頭部汁と茎汁)について、ポリフェノールやカリウム等の含量を比較し、両者の成分的な違いを明らかにした.次いで茎汁と梢頭部汁を混合して製造した黒糖(以後、梢頭部入り黒糖)と、茎汁だけを原料とした黒糖(以後、従来の黒糖)を製造し、色や食味、有用成分含量(ミネラル、ポリフェノール)、抗酸化能を比較した.また、黒糖に含まれる



写真 1 収穫したサトウキビの梢頭部と茎部(右写真の 矢印部分の第 5 完全展開葉着生節部より上部が 梢頭部

ポリフェノールを分析し、梢頭部が原料に混入することで生じる黒糖のポリフェノール組成の変化を明らかにした. さらに、アンケート調査を行い、梢頭部入り黒糖と従来の黒糖に対する消費者の嗜好性を明らかにした.

#### 実験材料および方法

#### 1. 梢頭部汁と茎汁の成分比較

#### 1) 材料

沖縄県農業研究センター宮古島支所(土壌:島尻マージ)で栽培した夏植え(2008年9月植え)のサトウキビ 'Ni21'を試験に用いた.2009年11月末に収穫したサトウキビは脱葉し,第5完全展開葉の着生節部から上部の「梢頭部」と下部の「茎部」に分けて,モーター駆動式小型圧搾機(3本ロールバネ加圧式圧搾機 TM-340(B),松尾製作所)で搾汁した.搾汁率は,茎72.2%,梢頭部48.9%であった.搾汁液は黒糖製造時まで-20℃で冷凍保存した.

#### 2) ミネラルの定量

搾汁液を蒸留水で 50 倍希釈し,  $0.45~\mu$  m メンブレンフィルター (DISMIC-13HP, ADVANTEC) で濾過後, イオンクロマトグラフ装置 (ICS1500, Thermo Fisher SCIENTIFIC) でカリウムとマグネシウム, カルシウム,ナトリウムの含量を分析した. 分析条件:カラム; Dionex IonPac CS12A(250 mm × 4.0 mm I.D., Thermo Fisher SCIENTIFIC), 移動相; 20 mmol/L メタンスルホン酸, 流量; 1.0~mL/min, 検出器; 電気伝導度計(サプレッサ使用).

#### 3) 糖分の定量

搾汁液に等量のエタノールを添加後,蒸留水で 5 倍希釈し,0.45  $\mu$  m メンブレンフィルターで濾過, HPLC (LC-6A, 島津製作所)でショ糖とブドウ糖,果糖の含量を分析した.分析条件:カラム;Asahipack NH2P-50(250 mm × 4.6 mm I.D., 島津製作所),移動相;75% アセトニトリル,流量;1.0 mL/min,カラム温度;40℃,検出器;示差屈折計.

#### 4) ポリフェノールの定量

搾汁液を蒸留水で40倍希釈して、フォーリン・チオカルテ法(須田ら、2005)で分析し、クロロゲン酸相当量として算出した.

#### 5) 可溶性固形分 (Brix) と純糖率

Brix は Brix 計 (PAL-J, ATAGO) で測定し, 純糖率を次式により算出した.

純糖率 (%) = 糖分\*の合計/Brix × 100

\*糖分析で算出したショ糖と果糖,ブドウ糖の合計

#### 2. 梢頭部入り黒糖と従来の黒糖の品質比較

#### 1) 黒糖の製造と試料溶液の調製

従来の黒糖は、茎汁(純糖率 95.2%)で製造した. 梢頭部入り黒糖は、茎汁に梢頭部汁を 15%(純糖率 92.8%)、30%(純糖率 89.7%)混合した搾汁液で製造した. コールドライミング法(中田ら、1964)で清浄化したそれぞれの搾汁液 1.8 L をステンレス製深底鍋に移し、水酸化カルシウムで pH7.4 に調整後、加熱して生成した凝固物を調理用丸カス揚げで除去、清澄汁を調製した.清澄汁を常圧下で加熱濃縮し、液温が 125~130℃に達し、黒糖臭が発生した時点で加熱を止め、濃縮液(以後ハイシロップ)をステンレス製ボールに移して木製のへらで撹拌後、ステンレス製バットに流し込んで放冷固化させた. 製造した黒糖を乳鉢で粉砕し、黒糖粉末1gを10 mL の蒸留水に溶かしたものを試料溶液とした.

#### 2) 黒糖の品質評価

#### (1) 褐色度

松井(1987)の方法を一部改変して褐色度を測定した. 試料溶液を蒸留水で10倍希釈して3000rpm,15分間遠心分離した. 上清の470 nmの吸光度を分光光度計(UV-160A,島津製作所)で測定した.

#### (2) ミネラル含量

試料溶液を蒸留水で50倍希釈して,1に示した 方法で分析した.

#### (3) ポリフェノール含量

試料溶液を蒸留水で40倍希釈して,1に示した 方法で分析した.

#### (4) DPPH ラジカル消去能

マイクロプレートリーダー法 (沖ら, 2001) で測定し, トロロックス相当量として算出した.

#### (5) ポリフェノールの同定

ポリフェノール組成をLC/MS(HPLC: Alliance 2695, MS: Quattro micro API, 日本ウォーターズ)で分析した. 分析条件: (LC条件) カラム; ODS-AQ (150 mm × 4.6 mm I.D., YMC), 移動相; 0 min 0.1% ギ酸→30min 50% アセトニトリル, 1% ギ酸, 流速; 0.34 mL/min, 検出波長; 330nm, (MS条件) ESI-MS, ネガティブモード, コーン電圧 40V.

#### 3. 梢頭部入り黒糖の市場性

従来の黒糖と梢頭部汁を15%混合して製造した梢頭部入り黒糖を、アンケート調査に用いた.2010年12月18日に、沖縄県農業研究センター(沖縄県糸満市)一般公開デー来場者を対象にして、無記名アンケートを実施した。年齢と性別、黒糖の摂食頻度(よく食べる、時々食べる、めったに食べない、食べたことがない、の4段階から選択)を記入後に従来の黒糖と梢頭部入り黒糖の試食を行い、①色の好み、②香り、③甘さ、④苦さ、⑤塩辛さの5項目について多項目選択式で回答を得た。また、どちらの黒糖を好むかについて、二項目選択式で回答を得

表1 サトウキビの梢頭部汁と茎汁の成分比較

	茎汁	梢頭部汁
pH	5.6	5.2
Brix (%)	18.4	4.7
純糖率 (%) <sup>注)</sup>	95.2	39.5
糖 (g/100 mL)		
ショ糖	17.3	0.8
ブドウ糖	0.1	0.5
果糖	0.1	0.5
ミネラル (mg/100 mL)		
Na	13.9	28.9
K	140.7	547.8
Ca	20.5	92.5
Mg	29.6	49.1
総ポリフェノール (クロロゲン酸相当量 mg/100 mL)	115.6	187.6

注) 純糖率=糖分の合計/Brix×100

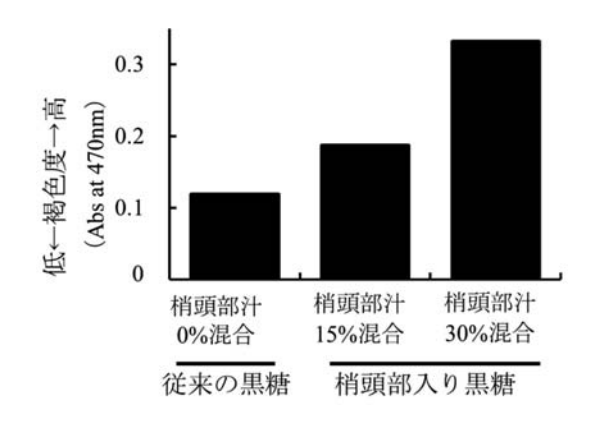


図1 従来の黒糖と梢頭部入り黒糖の褐色度の比較

た. アンケート回答者数は,  $20 \sim 70$  代の男性 45 人, 女性 55 人の合計 100 名であった.

#### 結 果

#### 1. 梢頭部汁と茎汁の成分比較

梢頭部汁は茎汁と比較してBrix が顕著に低いだけでなく、純糖率も低い値を示した(表1). 梢頭部汁には茎汁の約1/22しかショ糖が含まれていなかったが、カリウムは約4倍、カルシウムは約5倍、



写真2 従来の黒糖と梢頭部入り黒糖の外観の比較

ナトリウムは約2倍,ポリフェノールは約1.6倍多く含まれていた.

#### 2. 梢頭部入り黒糖と従来の黒糖の品質比較

梢頭部汁を原料の蔗汁に加えることで、黒糖中の有用成分増加が期待される一方、純糖率は低下するため、黒糖製造が困難になる事が懸念された. そこでまず、梢頭部汁混合による黒糖製造への影響を確認した. 2009 年 11 月に収穫した春植えのサトウキビ 8 品種各 12 茎の梢頭部と茎部を搾汁し、梢頭部を含めた 1 茎あたりの蔗汁に占める両者の割合を調査した結果、梢頭部汁 14.6%、茎汁 85.4% であったことから、梢頭部汁を 15% 混合した蔗汁を調製して梢頭部入り黒糖を製造したところ、通常の黒糖と同様に製造可能であった. さらに梢頭部汁の混合率を 30% に増やした黒糖も製造したが、同様に黒糖は製造可能であった (写真 2).

製造した黒糖の褐色度は、梢頭部汁の混合量に依存して高くなり、色調は黒くなった(図1,写真2).カリウムやカルシウム、マグネシウムとポリフェノールは増加し、DPPH ラジカル消去能も強くなった(表2).

ポリフェノール組成をLC/MSで分析した結果、 梢頭部汁入り黒糖には、従来の黒糖からは検出され ない2種類の特徴的なピークが検出され、混合した 梢頭部汁の量に依存してピーク強度も高くなった.

表 2 従来の黒糖と梢頭部入り黒糖のミネラルとポリフェノール含量, DPPH ラジカル消去能

	梢頭部汁 の混合率	[部計 ミネラル (mg/g)				ポリフェノール	DPPHラジカル消去能	
		Na	Na K	Mg	Ca	(mg/g)	(µmol-trolox eq./g)	
従来の黒糖	0%	1,1	7.9	1.0	1.7	7.6	7.7	
梢頭部入り黒糖	15%	0.9	11.9	1.3	2.7	8.7	8.6	
	30%	1.3	16.6	1.7	4.0	10.4	14.3	

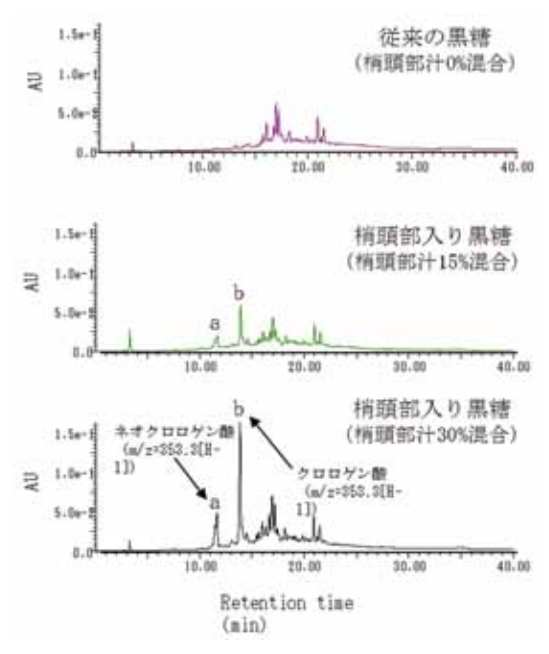


図 2 梢頭部入り黒糖の HPLC クロマトグラム (UV at 330 nm)

標品と、溶出時間及び UV スペクトル、MS スペクトルを比較した結果、ピーク a はネオクロロゲン酸 (m/z=353.3 [M-H]-)、ピーク b はクロロゲン酸 (m/z=353.3 [M-H]-) と同定した (図 2).

#### 3. 梢頭部入り黒糖の市場性

アンケート対象者のうち、梢頭部入り黒糖を好む 人は54%、従来の黒糖を好む人は46%であり、両黒糖の好みに有意差は無かった(図3). 男女別でも 黒糖に対する好みに明確な差は認められなかった。 滅多に黒糖を食べないと回答した人については、梢頭部入り黒糖を好む人の割合が多かった(図4). 香りの強さや甘さについては従来の黒糖と梢頭部入り黒糖に顕著な差は見られなかったが、苦さと塩辛さについては、梢頭部入り黒糖の方が強く感じると回答する人が有意に多かった(2点識別法の直接法、有意水準0.001)(表3). 両黒糖の苦さや塩辛さを異なると認識した人では、両黒糖の好みはほぼ半数に

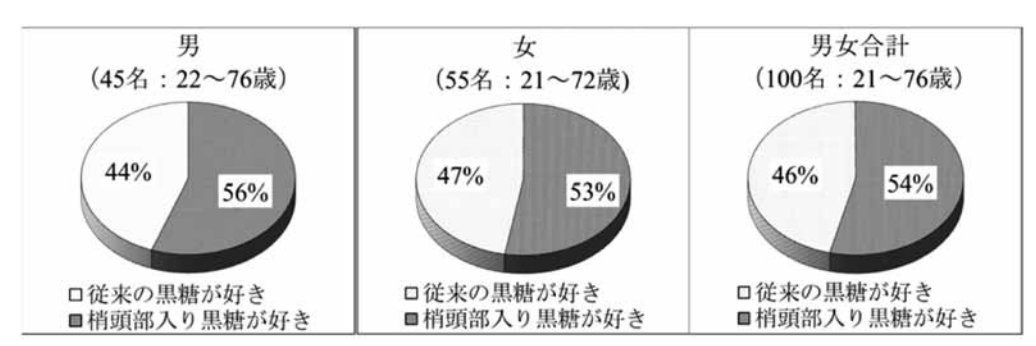


図3 従来の黒糖と梢頭部入り黒糖に対する好み (性別による分類)

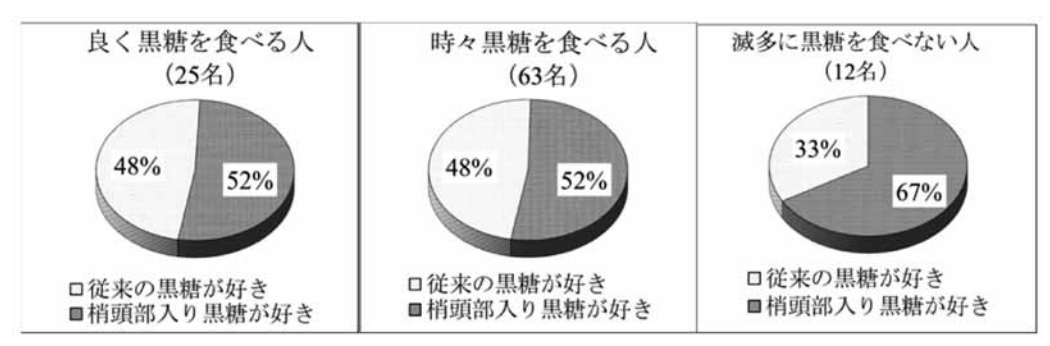


図4 従来の黒糖と梢頭部入り黒糖に対する好み (黒糖の摂食頻度による分類)

表3 従来の黒糖と梢頭部入り黒糖の香りの強さ、味、色の好みの比較

		両者の差を認識		
	従来の黒糖が 強い(良い)	どちらも同じ	梢頭部入り黒糖が 強い(良い)	した人の割合 (%)
香り	39	20	41	80
甘さ	38	12	50	88
苦さ	21	26	53	74
塩辛さ	11	47	42	53
色の好み	41	6	53	94

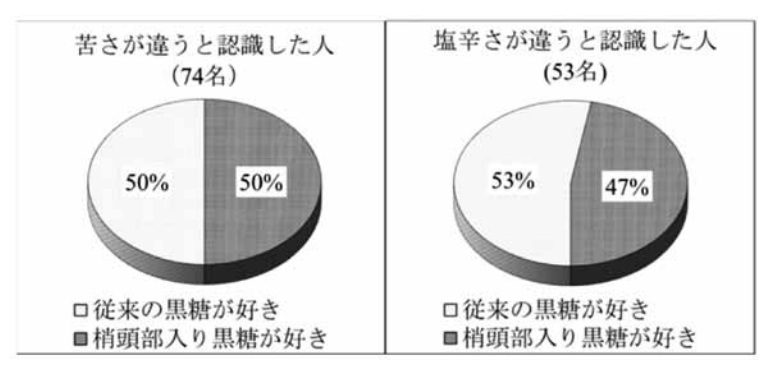


図5 従来の黒糖と梢頭部入り黒糖に対する好み (苦さや塩辛さを異なると認識した人による分類)

分かれた (図 5). また、梢頭部入り黒糖の方が従来の黒糖と比べて色は黒いが、黒糖の色の好みについても意見がほぼ 2 分した (表 3).

#### 考 察

梢頭部は糖分が少ないために,製糖原料として扱われることは無い.しかしながら,梢頭部汁にはポリフェノールやカリウム等の有用成分が茎汁の数倍含まれていたことから,機能性素材としては有望と考えられた.梢頭部の成長点付近には,100gあたりに茎内部の22倍,表皮の36倍に相当する高濃度のポリフェノールが含まれている(前田ら,2010).梢頭部汁のポリフェノールは,成長点付近由来のポリフェノールであることが推察された.

梢頭部汁を原料の蔗汁に15~30%の割合で混合しても、黒糖は製造可能であった.梢頭部汁を加えることで蔗汁の純糖率は低下するが、Brix5%未満の梢頭部汁を茎汁に30%の割合で混合しても、純糖率は約5%低下しただけで、純糖率は90%近い値を維持していたために、黒糖の製造にはほとんど影響しなかったと推察された.黒糖は蔗汁の純糖率が85%あれば製造可能であり(前田ら、2015)、登熟期の純糖率が90%近いサトウキビを原料に用いれば、梢頭部入り黒糖は製造可能と推察された.

黒糖には、抗酸化作用を有するフェノール性化合物が多く含まれている(高良ら、2000、Takara et al.、2002、荻ら、2008). 梢頭部汁が原料に加わることで、黒糖のポリフェノール含量は更に増加し、茎汁のみで製造される従来の黒糖からは、ほとんど検出されないクロロゲン酸とネオクロロゲン酸が多く検出された. クロロゲン酸は、コーヒーなどに多く含まれ、抗酸化能(村山ら、1998)や抗炎症作用(Hwang SJ et al.、2014)等が報告されているポリフェノールである. 著者らは、梢頭部の成長点付近にクロロゲン酸とネオクロロゲン酸が豊富に含まれていることを

明らかにしている(前田ら,2010). 梢頭部入り黒糖中のクロロゲン酸とネオクロロゲン酸のピーク強度は、原料に混合した梢頭部汁の割合に依存して高くなった. 従って、原料に梢頭部を加えることで、梢頭部に含まれるクロロゲン酸類が黒糖中に移行し、DPPH ラジカル消去能も増加したものと推察された.

原料汁に梢頭部汁を混合すると, 黒糖のポリフェ ノール含量が増加するだけでなく, 黒糖の色が黒く なることも明らかになった。梢頭部汁を30%混合 した梢頭部入り黒糖では、コーヒー様の黒色を呈し た. コーヒーの褐色色素の一部は、コーヒー豆の焙 煎中に,ショ糖の熱分解中間物とクロロゲン酸を前 駆体とする非酵素的褐変反応によって生成され(中 林ら, 1975, 1984), クロロゲン酸を多く含むゴボウ, ヨモギの根でも, コーヒー豆同様に焙煎することで 褐変色素が生成される (中林ら, 1977). コーヒー 豆の焙煎は200℃付近で行われ、褐色色素の生成は 200℃以上で活発になる (中林, 1975). 黒糖製造で は、蔗汁を130℃前後に加熱濃縮するが、加熱容器 と熱源が接触する部分では局所的に200℃近い高温 になっていることが予想される. 梢頭部入り黒糖で も、製造時に加熱容器内の局所的に高温になってい る部分でクロロゲン酸とショ糖が反応して褐色色素 が生成され, クロロゲン酸が少ない従来の黒糖と比 較して黒くなった可能性が示唆された.

梢頭部入り黒糖の味について、従来の黒糖よりも苦さと塩辛さを強く感じると回答する人が有意に多かった.梢頭部汁を原料汁に混合しても、黒糖いたりなりで、塩辛く感じる原因はナトリウムによるではないと推察される.一方、梢頭部入り黒糖ではないと推察される.一方、梢頭部入り黒糖でではないと推察される.一方、梢頭部入り黒糖に較して知られる塩化カリウムは塩辛味と同時に特力として知られる塩化カリウムは塩辛味と同じカリウムは塩辛味が弱く酸味は強い等、カリウムは塩

の種類によって味が異なる (芳賀ら, 1984). また, 秋永ら(1996)は黒糖中の燐酸とカルシウムが増え ると、黒糖はおいしくなくなり、辛くなり、マグネ シウムが増えるとおいしくなる、と報告している. カリウムやカルシウム,マグネシウムの増加によっ て, 梢頭部入り黒糖では, 従来の黒糖よりも複雑な 味を呈するようになっていることが示唆された.ま た,梢頭部入り黒糖では、ミネラルだけでなくポリ フェノール含量も増加した. チョコレートでは、ポ リフェノールの量と苦味,酸味,渋味が相関を示す ことが報告されている (葛西ら, 2007). 梢頭部に 多く含まれるクロロゲン酸類は、ナスなどの渋味の 原因物質でもあることから (黒澤, 1986), 梢頭部 入り黒糖の苦みの一部は、梢頭部汁由来のポリフェ ノール,特にクロロゲン酸の寄与によるものである ことが推察された.

アンケートの結果では、梢頭部入り黒糖と従来の 黒糖の両者の味の違いを認識した上で、梢頭部いり 黒糖を好む人が半数いた. 黒糖の食経験が少過半数いた. 黒糖の色の好みについても、意見が追えるした. 梢頭部入り黒糖は、従来の黒糖は、従来の黒糖は、びまさを塩辛さを強く感じるなど複雑な味らして苦さや塩辛さを強く感じるなど複雑な味られる. とも黒いと門様に消費者に受対するによって様々であり、梢頭部を原料に混対ることもで、黒糖の色や味のバリエーションを広げることも可能であろう. 香りの強さについては、従来の質については詳細に検討する必要がある.

以上の結果より、梢頭部汁が原料に含まれていても、黒糖製造は可能であることが明らかになった. 梢頭部入り黒糖は、従来の黒糖よりもカリウムやカルシウム、マグネシウム、ポリフェノールが多く、抗酸化能も強い事が明らかになった。また、梢頭部入り黒糖には梢頭部由来のクロロゲン酸、ネオクロロゲン酸が多く含まれていることが明らかになった.梢頭部汁を原料に混合することが、黒糖の色調と味が変化したことから、黒糖の機能性付加だけでなく、品質の調整も可能であることが示唆された.

#### 謝辞

本研究は、独立行政法人科学技術振興機構(JST)の 2009 年度地域イノベーション創出総合支援事業地域ニーズ即応型「梢頭部を活用した新しい黒糖の開発および原料サトウキビの周年収穫技術の開発」

で実施した.本研究の遂行にあたり,沖縄県農業研究センターの農業システム開発班と宮古島支所作物園芸班の皆様,元財団法人日本食品分析センターの山口昭弘氏(現酪農学園大学)と里山俊哉氏(現株式会社久原本家)には甚大なご協力とご助言を頂きました.心より感謝いたします.

#### 引用文献

- 秋永孝義,野瀬昭博,岡留博司,國府田佳弘 (1996),黒糖の品質に関する基礎的研究 (第2報)黒糖の品質と無機成分の関係,農業機械学会誌,58,11~17.
- 藤井聡, 岸原士郎, 山口禎, 河本正彦 (1982), サトウキ ビ梢頭部の成分, 熱帯農業, 25, 157 ~ 159.
- 芳賀文子, 小峰洋美, 近藤栄昭, 鍬野信子 (1984), 官能 テストによるカリウム塩の調味効果の検討, 栄養学 雑誌, 42, 225 ~ 234.
- Hwang SJ, Kim YW, Park Y, Lee HJ (2014), Anti-inflammatory effects of chlorogenic acid in lipopolysaccharide-stimulated RAW 264.7 cells, Inflamm Res. , 63(1), 81  $\sim$  90.
- 葛西真知子・石川由花・酒巻旦子・奥山知子・芦屋浩明・上脇達也・飯田文子 (2007), カカオ豆産地とチョコレートのおいしさとの関係, 食科工, 54, 332 ~ 338.
- 黒澤祝子 (1986), ナスの渋味におよぼす食用油の影響, 調理科学, 119 ~ 124.
- 前田剛希・広瀬直人・津志田藤二郎 (2010), サトウキビ の抗酸化能および抗酸化成分の同定, 沖縄県農業研 究センター研究報告, 4, 52 ~ 57.
- 前田剛希・下地格・手登根正・下地浩之・上地克美・伊 志嶺弘勝・砂川正幸・知念潤・出花幸之介・宮城克 浩・荻貴之 (2015), 黒糖の周年製造に向けたサトウ キビ収穫時期と蔗汁品質からみた黒糖固化条件の検 討,沖縄県農業研究センター研究報告, 9, 26~33.
- 松井年行 (1987), 和三盆糖のモデル系における褐変の統計的解析, 日本農芸化学誌, 61, 29 ~ 35.
- 村山徹・小堀真珠子・新本洋士・津志田藤二郎 (1998), 食用ギクの抗酸化性の評価及びその成分の同定,園 芸学会誌,67 別 2, p158.
- 中林敏郎, コーヒーの品質に関する化学的研究 (第1報) 培煎による褐色色素の生成と変化 (1975), 日食工誌, 22, 507  $\sim$  512.
- 中林敏郎, コーヒーの品質に関する化学的研究(第3報)焙煎中のクロロゲン酸類の質的および量的変化(1975),日食工誌,22,549~553.
- 中林敏郎,渡辺千賀子 (1975),コーヒーの品質に関する 化学的研究 (第4報) 焙煎によるクロロゲン酸より 褐色色素の形成,日食工誌,24,124~129.
- 中林敏郎 (1984), 改良モデル焙煎法によるコーヒー褐色 色素形成の初期段階の検討, 日食工誌, 31, 421 ~

422.

- 中田栄太郎・前田直彦・谷口修・酒井一幸(1964), 黒糖 製造法,シュガーハンドブック(浜口栄二郎・桜井 芳人監修), 朝倉書店, p.106~118.
- 荻貴之・前田剛希 (2008), 沖縄産黒糖におけるフラボン 配糖体,沖縄県工技セ研究報告, 第10号,7~11.
- 沖智之・増田真美・古田收・西場洋一・須田郁夫 (2001), 紫サツマイモを原材料としたチップスのラジカル消 去活性,食科工,48,926~932.
- 須田郁夫, 沖智之・西場洋一・増田真美・小林美緒・永 井沙樹・比屋根理恵・宮重俊一 (2005), 沖縄県産果 実類・野菜類のポリフェノール含量とラジカル消去 活性, 食科工, 52, 462 ~ 471.
- 高良健作,金城聡子,松井大吾,和田浩二,仲宗根洋子,与儀誠一(2000),黒糖の非ショ糖画分におけるフェノール性抗酸化物,日本農芸化学誌,74,885~890

- Takara, K., Matsui, D., Wada, K., Ichiba, T. and Nakasone, Y., (2002), New antioxidative phenolic glycosides isolated from Kokuto non-centrifuged cane sugar, *Biosci. Biotechnol. Biochem.*, 66, 29 ~ 35
- 田中正仁・鈴木知之・神谷充・服部育男・神谷祐子・塩 谷繁 (2008), さとうきび梢頭部の飼料化技術の確立, 九州沖縄農業研究センター研究資料, 第 93 号, 81 ~ 84

# Comparison between non-centrifugal brown sugar (*Kokuto*) manufactured using cane juice alone and that manufactured using cane juice with cane top juice.

Goki MAEDA<sup>1</sup>, Itaru SHIMOJI<sup>1</sup>, Tadashi TEDOKON<sup>2</sup>, Hiroyuki SHIMOJI<sup>2</sup>, Katsumi UECHI<sup>2</sup>, Hirokatsu ISHIMINE<sup>2</sup>, Masayuki SUNAGAWA<sup>2</sup>, Jun CHINEN <sup>1</sup>, Konosuke DEGI<sup>1</sup>, Katsuhiro MIYAGI<sup>3</sup> and Takayuki OGI<sup>4</sup>

- 1 Okinawa Prefectural Agricultural Research Center
- 2 Okinawa Prefectural Agricultural Research Center Miyakojima Branch
- 3 Okinawa Prefectural Agriculture, Forestry and Fisheries Department, Agriculture, Forestry and Fisheries General Affairs Section
  - 4 Okinawa Industrial Technology Center

## Abstract

The green leafy top region of sugarcane contains polyphenols and minerals. However, this region is not commonly used in sugar manufacturing because of its low sugar content. In this study, we aimed to develop non-centrifugal brown sugar (*Kokuto*) prepared using a mixed juice of the top and stem regions of sugarcane.

We compared the polyphenol, potassium, and sugar levels in the sugarcane top juice and stem juice. We prepared *Kokuto* using a mixture of the top juice and stem juice, and using stem juice alone. Next, we compared the color, mineral and polyphenol content, and antioxidant capacity of the two types of brown sugar.

Kokuto containing the sugarcane top juice had a deeper black color than that prepared using sugarcane stem juice alone. In addition, the Kokuto containing the sugarcane top juice had higher potassium and polyphenol levels, and stronger antioxidant ability than that prepared using sugarcane stem juice alone. Kokuto prepared by mixing sugarcane top juice also contained a large amount of chlorogenic acid and neochlorogenic acid, which are polyphenols derived from cane tops. These findings suggest that sugarcane top juice acts as a good source of minerals and polyphenols for the preparation of Kokuto.

Keywords: Polyphenol, mineral

## 原著論文

## 沖縄県のサトウキビ畑における改良型タンクモデルを用いた 土壌水分量の推定と灌水による収量への影響

比屋根真一¹・砂川喜信²・大見のり子³・出花幸之介¹・伊禮 信¹

1 沖縄県農業研究センター, 2 沖縄県農業研究センター宮古島支所, 3 沖縄県農業研究センター石垣支所

#### 要約

従来のタンクモデル法とその改良法による土壌水分量の推定精度を検討した。その結果、土壌水分量の変化を考慮した日射法をタンクモデル法に組み合わせることにより土壌水分量を推定することが可能であることが明らかとなった。各土壌別の土壌水分量の推定値の平均2乗平方根誤差(RMSE)は、ジャーガルは3.43%、島尻マージは2.95%、国頭マージは2.28%であった。よって、改良型タンクモデル法を用いた土壌水分量の推定法は、沖縄県の主要3土壌に対して、適応性は高いものと推察される。ジャーガルでは、夏季の降水量の少ない時期において、土壌水分量が毛管連絡切断含水量まで低下した時に灌水を実施すればサトウキビの増収効果は高まった。

キーワード:灌水,ジャーガル,蒸発散量,水収支,日射法

#### 緒言

沖縄県におけるサトウキビ生産量は、干ばつや台 風被害等の自然災害の影響により不安定である.こ うしたなかで、限られた水資源をより効率的に活用 して灌水を実施することにより安定・多収生産が期 待される.

サトウキビ畑における灌水の時期や量を明らかにするためには、正確に水収支を求める必要がある.畑地の水収支モデルの研究は多く見られるが、その一つにタンクモデルがある.太田ら(1992、1995)は南九州の火山灰台地において浅層地下水の動態にタンクモデルを適応している.沖縄県においても、沖縄本島北部の国頭マージにおける土砂流出量の推定(大場ら、1993)や、宮古島の島尻マージにおける土壌水分量の推定(比屋根・大場、2001)、ジャーガルにおける曝気処理水の施用量の検討(比屋根ら、2008)等へのタンクモデルの適応が検討されている.気象情報を活用して本モデルを基本とした灌水情報を提供することができれば、沖縄県におけるサトウキビの安定生産に寄与できるものと考えられる

本報告では、沖縄県の主要な土壌であるジャーガル、国頭マージ、島尻マージのサトウキビ畑において、3つのタンクモデルによる土壌水分量の推定精度と適応性を検討した. さらに、土壌水分状態を把握するモニタリング技術の開発と灌水技術を組み合わせた実証試験をジャーガルにおいて実施した. これらの結果をふまえて、沖縄県における気象情報を

活用した灌水情報システムの実用化の可能性を考察 する.

#### 材料および方法

## タンクモデル法と蒸発散量推定式の組み合わせに よる土壌水分量の推定

## 従来法 (タンクモデル法)

本報告では、土壌型の異なる 3 土壌の土壌水分量を推定するため、サトウキビ畑の有効土層を考慮し(久貝、1972;山城、1981)、表層から  $0 \sim 30$ cm、 $30 \sim 60$ cm 0 2 段の直列につないだタンクモデル(図 1)を作成した(太田・凌、1990、太田ら、1992、太田ら、

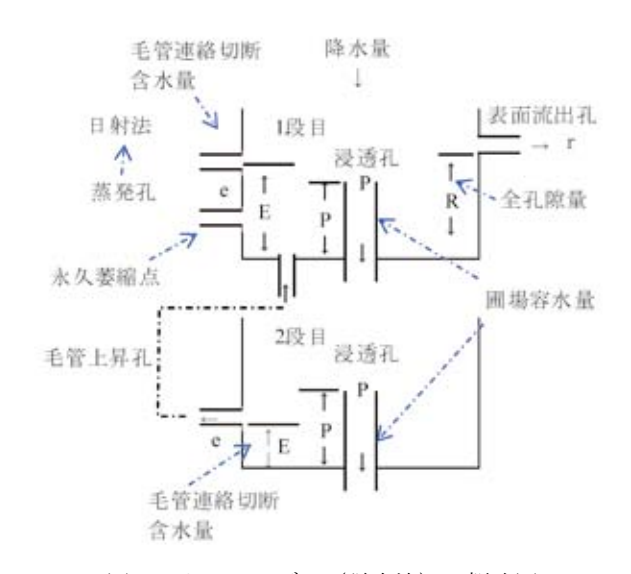


図1 タンクモデル(従来法)の概略図

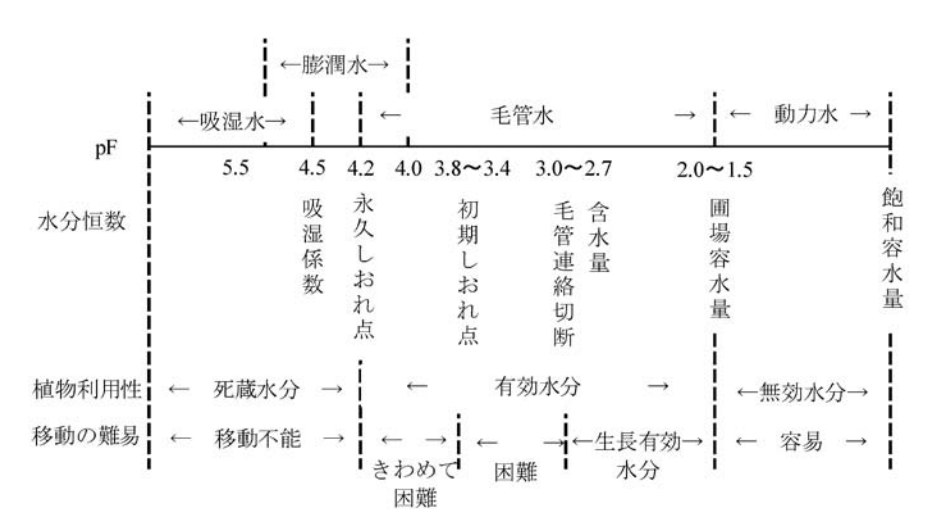


図2 土壌水の分類(太田ら,1995)

1995). 本モデルを起動するには,表面流出,蒸発散, 浸透水の各孔の高さを全孔隙率や pF- 体積含水率曲 線によって決定し,降水量や灌水量を入力して実測 値と推定値との誤差をできるだけ抑えるように,各 タンク孔の係数について試行を重ねながら決定する 必要がある. タンクモデルの各浸透水孔,蒸発散孔, 表面流出孔, 毛管上昇孔の高さは, ジャーガルと国 頭マージは儀間ら (2002, 2004), 島尻マージは藤 川ら(1979)が算出した pF- 体積含水率曲線から土 壌水分恒数の値を用いて, それぞれの圃場容水量, 毛管連絡切断含水量及び全孔隙量の値を用いた (図 2). つまり、表面流出孔は全孔隙率、浸透水孔は圃 場容水量, 蒸発散孔は毛管連絡切断含水量と初期し おれ点, 毛管上昇孔は毛管連絡切断含水量の体積含 水率の値をあてはめ、各上下段に乗じて求めた. 各 土壌の pF- 体積含水率曲線は以下の式で近似するこ とができる.

Υ (ジャーガル, 15cm) =

 $-0.0026X^3 + 0.0175X^2 - 0.0603X + 0.506R^2 = 1$ 

Y (ジャーガル, 45cm) =

 $-0.0051X^{3}+0.0383X^{2}-0.1087X+0.524 R^{2}=1$ 

Y (国頭マージ, 15cm) =  $0.031X^2$ -2415X+6103  $R^2$ =0.99

Y (国頭マージ, 45cm) =  $0.0286X^2$ -2083X+5603  $R^2$ =0.99

Y (島民マージ, 15cm) =

 $0.0042X^3$ - $0.021X^2$ -0.0327X+0.506  $R^2$ =0.99

Y (島尻マージ, 45cm) =

 $-0.0047X^3+0.0204X^2-0.0411X+0.5326$   $R^2=0.99$  ここで、Y は体積含水率  $(cm^3/cm^3)$ , X は水分恒数である. 従って,本モデルは物理的裏付けがあり、畑地の水動態を表すものと考えられる.

作土層における水収支は次式で表される.

 $W_{l,j+l}=W_{l,\ j}+\ (P_j-E_j-F_{l,\ j}+S_{2,j}-Q_j)$   $\triangle$  T/L<sub>1</sub> また, 2層目は

 $W_{2,j+1}=W_{2,\ j}+(F_{1,j}-F_{2,j}-S_{2,j})$   $\triangle$   $T/L_2$  ここで, $W_{1,j+1}$  は j+1 日における土層 1 の土壌水分

量( $cm^3/cm^3$ ),W2,j+1 はj+1 日における土層 2 の土壌水分量( $cm^3/cm^3$ ), $P_i$  はj 日における降水量(mm/日), $E_j$  はj 日にける蒸発散量, $F_{1,j}$  はj 日における土層 1 から土層 2 への浸透水量(mm), $F_{2,j}$  はj 日における土層 2 からの浸透水量(mm), $Q_j$  は表面流去水(mm/日), $S_{2,j}$  はj 日における土層 2 から土層 1 への毛管上昇量(mm/日), $L_1$  と  $L_2$  は土層 1 と土層 2 の厚さ(cm), $\Delta$  T は時間間隔を示し 24 時間間隔である.

改良タンクモデル法 A(蒸発散孔への日射法の結合)

沖縄県宮古島および沖縄本島南部地域における蒸発散量の推定には、日射法で求めた基準蒸発散量に作物係数を乗じて求める方法が推定精度は高いことが明らかとなっている(比屋根ら、2004;比屋根、2008). そこで、タンクモデルの蒸発散孔の部分を日射法で推定した基準蒸発散量に作物係数を乗じた値に変更して土壌水分の推定精度を検討した.

 $W_{i,\,j+1} = W_{i,\,j} + (P_j - AET_j - F_{l,\,j} + S_{2,\,j} - Q_i) \triangle T/L_1$ AET は実蒸発散量で以下の方法で求められる.

AET=RET\*Kc

RET は日射法で求められる基準蒸発散量で、 Doorenbos and Pruitt(1977)の提案した以下の推定式 で求めた.

RET = a  $\triangle$  / ( $\triangle$  +  $\gamma$ ) Rs/L

ここで、a は経験定数で 1、 $\triangle$ は飽和水蒸気傾度  $(hPa/\mathbb{C})$ 、 $\gamma$  は乾湿計定数  $(hPa/\mathbb{C})$ 、Rs は日射量  $(MJ/m^2)$ 、L は蒸発潜熱 (J/kg) である、しかし、那覇地方気象台の日あたりの観測値では日射量の値は得られない。そこで、以下の式を用いて 1985 年 1 月から 2017 年 11 月までの日照時間の値から日射量の推定を試みた。

Rs = (0.25 + 0.50n/N) Ra

ここで、n は日照時間、N は可照時間、Ra は大気外日射量( $MJ/m^2$ )である. 月あたりの推定値とし

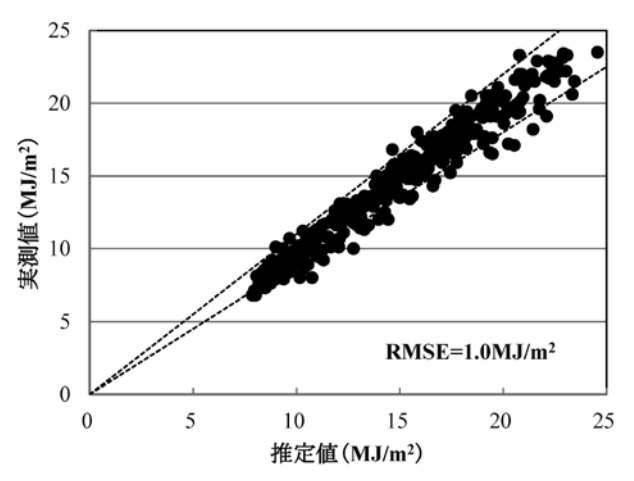


図3 日射量の推定値と実測値の関係

て実測値と比較したところ, 平均2乗平方根誤差 (RMSE) は1.0 MJ/m², 誤差が10%の範囲内で概ね推定できた(図3).

作物係数 (Kc) については Allen et al. (1998) の値を採用した. つまり、生育初期の Kc は 0.4、栄養成長期は  $0.7 \sim 1.1$  に上昇し、生育最盛期は 1.2、成熟期は  $1.15 \sim 0.7$  と低下した.

## 改良タンクモデル法 B (蒸発散孔への土壌水分量の 影響を考慮した日射法の結合)

作物係数は作物の種類,生育時期および土壌水分によって異なる.そこで,以下の方法を検討した.

#### AET=RET\*Kc (SWC)

Kc (SWC) は、土壌水分量の低下に対応して葉身の水ポテンシャルが低下すると蒸散速度が低下する(Du et al., 1996) ことを考慮した作物係数である.

以上の3つのタンクモデルの入力に必要な日照時間, 気温, 降水量等の気象情報は那覇, 宮古島そして石垣島の地方気象台の観測値を用いた.

#### 各土壌型の土壌水分量の測定

各土壌別にタンクモデルの土壌水分量の推定精度 を評価するため、実測値を得る必要がある. 本報告 では、土壌水分の実測値を得るために TDR 土壌水 分計 (Campbell 製, CS616) を表層から 15cm と 45cm に設置して体積含水率を求めた. 計測期間は, ジャーガルは 2015 年 6 月 1 日~ 8 月 15 日, 島尻マージは 2015 年 9 月 19 日~ 11 月 30 日, 国頭マージは 2015 年 9 月 10 日~ 11 月 25 日とした. なお,表面流去水の実測値は測定をおこなっていないため本報告ではなしとした.

サトウキビの栽培方法は、ジャーガル(軟岩型普通陸成未熟土石灰質土壌)は、沖縄県糸満市真壁の沖縄県農業研究センターにおいて、品種 Ni15 を供試して春植え栽培を行った。島尻マージ(暗赤色土壌)は、宮古島市の沖縄県農業研究センター宮古島支所において夏植え栽培を行った。国頭マージ(赤黄色土壌)は、石垣市の沖縄県農業研究センター石垣支所において春植え栽培を行った。なお、宮古島支所と石垣支所での栽培品種は NiF8 を供試した。春植え栽培は 2015 年 3 月 15 日、夏植え栽培は 2014年 8 月 15 日に植付けた。培土、施肥等の栽培管理はさとうきび栽培指針(沖縄県農林水産部、2014)に従った。

#### ジャーガルにおけるサトウキビへの灌水効果

サトウキビへの灌水による原料茎重への影響を評価した. 土壌水分量は, TDR 土壌水分計を表層から15cmの位置に埋め込んで計測した. 測定値はデータロガー (Campbell 製, CR1000) に取り込んだ. 灌水方法は, 畦間に灌水ホースを配置して, 試験区内に圃場容水量に達するまで 30mm 以上の量を灌水した. 灌水のタイミングは, 土壌水分値が毛管連絡切断含水量(図2)に達した時点で電磁弁を開閉して灌水した. 収穫調査は,2013年度は 2014年2月1日,2014年度は 2015年1月29日,2015年度は 2016年2月3日に試験区内を全て刈り取って1aあたりの原料茎重を算出した.

#### 結果と考察

#### 各タンクモデル法を用いた土壌水分量の推定

沖縄県糸満市のジャーガルにおいて, 各タンクモ

表1 土壌の違いによる改良型タンクモデルの各孔の高さと係数

		1段目	(0~30cm)	- 30cm) 2段目(30~60cm)					
土壌	表面流	表面流出孔		浸透孔		浸透孔		毛管上昇孔	
	高さ(mm)	係数	高さ(mm)	係数	高さ(mr	n) 係数	高さ(mm)	係数	
ジャーガル	152	0.30	132	0.60	127	0.70	123	0.10	
島尻マージ	183	0.10	121	0.45	150	0.60	144	0.30	
国頭マージ	164	0.10	84	0.20	84	0.20	62	0.02	

ジャーガルは糸満市真壁、島尻マージは宮古島市平良西里、国頭マージは石垣市平得地底原

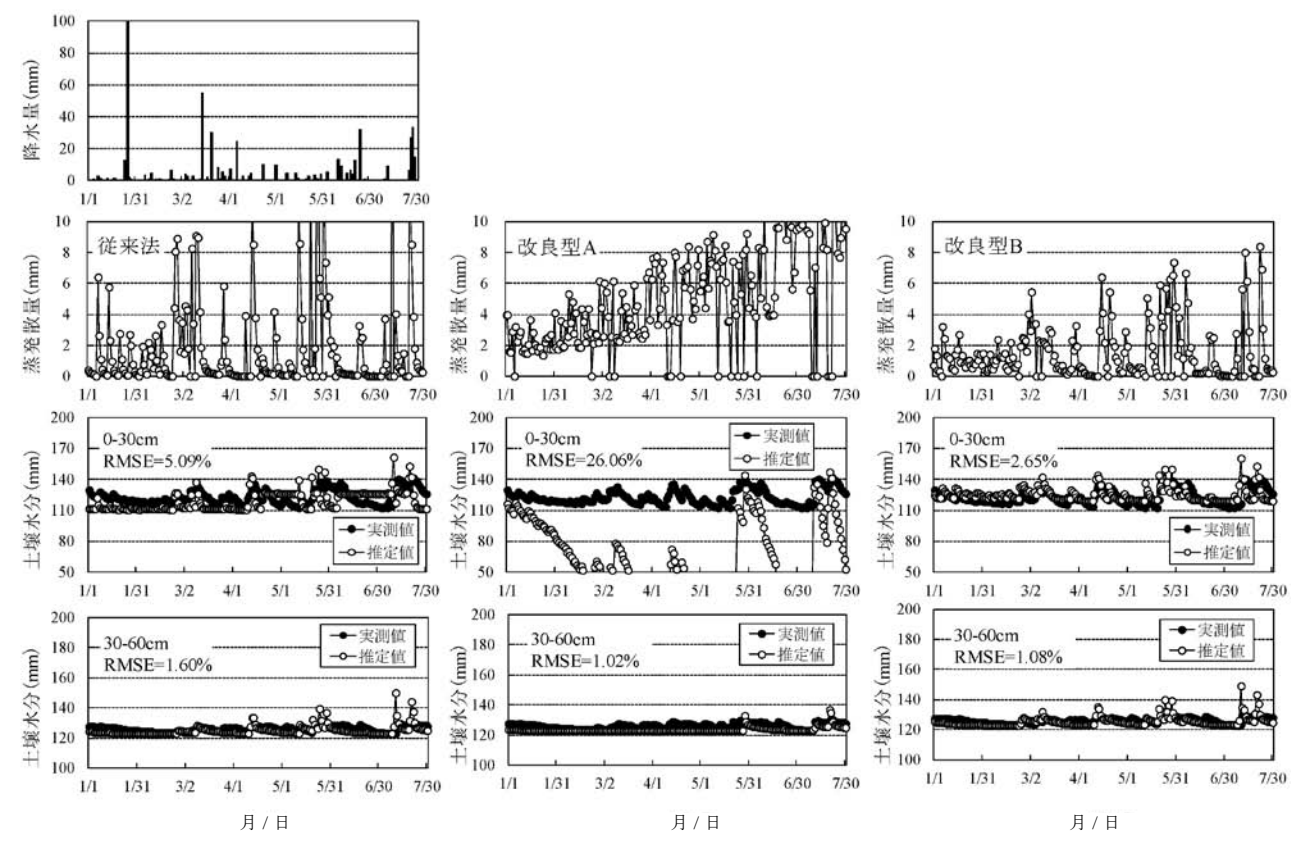


図4 3 つのタンクモデル法による蒸発散量、土壌水分量推定の比較場所は糸満市真壁、土壌はジャーガル

デルの土壌水分量の推定精度や蒸発散量の推移について検討した.

従来法の各タンク孔の高さは,1段目の表面流出 152mm, 蒸発散 126mm と 111mm, 浸透水孔 132mm, 2 段目の浸透水孔 127mm, 毛管上昇孔 123mm であっ た. 各タンク孔の係数は、1段目の表面流出0.30、 蒸発散 0.80 と 0.60, 浸透水孔 0.60, 2 段目の浸透水 孔 0.70、毛管上昇孔 0.10 であった (表 1). このよう なタンク孔と係数からなるタンクモデルを用いて推 定した土壌水分量の平均2乗平方根誤差(RMSE)は, 従来法の1段目5.09%,2段目1.60%,改良型タン クモデルAは1段目26.06%,2段目1.02%,改良型 タンクモデルBは1段目2.65%,2段目1.08%であっ た (図 4). よって、改良型タンクモデル B, つまり、 土壌水分量の変化に対応した日射法をタンクモデル の蒸発散孔に組み込んだ方法が, 土壌水分量を最も 高い精度で推定することが明らかとなった.この推 定精度は、TDR 土壌水分計の測定精度 2.5% (クリ マテック株式会社,2017)から考慮しても良好な精 度であると考えられる.

蒸発散量の推移を検討すると、従来法はまとまった降雨直後に高い値を示し、時には10mm以上を示す場合もあった.沖縄県における蒸発散量の検討例(山城,1968,比屋根,2008)から判断しても従来法による蒸発散量の推定値は高めである.改良型

タンクモデル A の蒸発散量は、過去の蒸発散量の 検討例と比較しても値は高く、1 段目の土壌水分量 のばらつきもかなり大きい.その原因としては蒸発 散量の推定値が高いことが考えられるため、何らか の要因による蒸発散量への影響を考慮する必要があ る.これに対し、土壌水分量の変化に対応した日射 法をタンクモデルの蒸発散孔に組み込んだ改良型タ ンクモデル法 B は、1 段目の土壌水分量の推定精度 が他の方法と比較して高かった.以上の結果、土壌 水分量の変化に対応した日射法をタンクモデルと 発散孔に組み込んだ改良型タンクモデル法が最も正 確に土壌水分量を推定することができた.

## 改良型タンクモデル法を用いた沖縄県の 主要3土壌での推定精度の検討

最も推定精度が良好であった改良型タンクモデル法Bを用いて、沖縄県内の主要土壌であるジャーガル、島尻マージ、国頭マージにおける土壌水分量の推定精度を検討した。まず、各土壌別のタンク孔の高さと係数を表1に示す。ジャーガルにおける改良型タンクモデルの各タンク孔の高さは、1段目の表面流出孔152mm、浸透水孔132mm、2段目の浸透水孔127mm、毛管上昇孔123mmであった。各タンク孔の係数は、1段目の表面流出孔0.30、浸透水孔0.60、2段目の浸透水孔0.70、毛管上昇孔0.10となっ

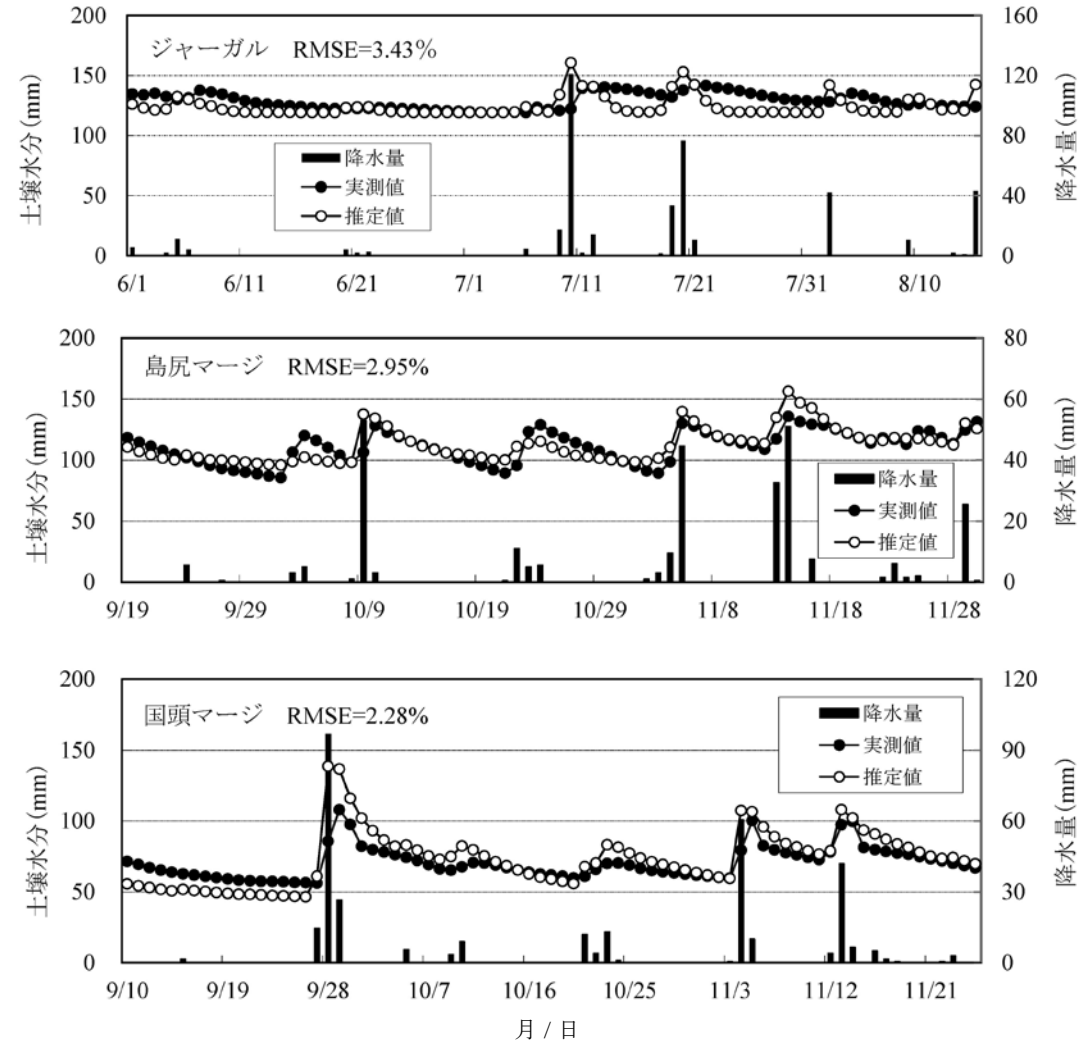


図 5 改良型タンクモデルを用いた 3 土壌における土壌水分量の推定精度 土壌水分量の実測値は表層から 15cm の位置に TDR 水分計を設置した

た. 島尻マージは、1段目の表面流出孔183mm、浸透水孔121mm、2段目の浸透水孔150mm、毛管上昇孔144 mm であった. 各タンク孔の係数は、1段目の表面流出孔0.10、浸透水孔0.45、2段目の浸透水孔0.60、毛管上昇孔0.30となった. 国頭マージでは、1段目の表面流出孔164mm、浸透水孔84mm、2段目の浸透水孔84mm、毛管上昇孔62mm であった. 各タンク孔の係数は、1段目の表面流出孔0.10、浸透水孔0.20、2段目の浸透水孔0.20、毛管上昇孔0.02であった.

各土壌別の土壌水分量の実測値と推定値は、降水量の分布に反応して推移した. さらに、推定した土壌水分量の RMSE は、ジャーガル 3.43%、島尻マージ 2.95%、国頭マージ 2.28%であった(図 5). 従来法の適応性は過去に島尻マージの宮古島において土壌水分量の推定(比屋根・大場、2001)、国頭マージにおいて赤土流出推定モデル(大場ら、1993)が検討されたが、各報告ともに土壌水分量の推定誤差は約 10%であった. ジャーガルにおいては従来法を適応した時の土壌水分量の RMSE は 2.5%で

あった (比屋根ら, 2008). よって, 本報告の改良型タンクモデル法を用いた土壌水分量の推定精度はジャーガルで同等, 島尻マージと国頭マージでこれまで以上の精度を実現している.

以上の結果,沖縄県における pF- 体積含水率曲線 等の土壌の物理的特性と, 各気象台の観測値を活用 した土壌水分量の推定による灌水情報の提供の可能 性が示唆された. 今後は, 改良型タンクモデル法を 活用した土壌水分量の推定による灌水情報の提供が 期待される. TDR 土壌水分計の測定誤差 2.5% (ク リマテック株式会社,2017) を考慮すると,改良 型タンクモデルにおける土壌水分量の推定誤差は 7.5mm である. この値は夏季における1日の最大の 蒸発散量の報告(山城, 1968, 比屋根ら, 2004, 比 屋根, 2008) とほぼ同等である. よって, 灌水指標 として改良型タンクモデルで推定した土壌水分量を 扱う場合は, 夏季において週もしくは旬レベルでの 灌水情報の提案が妥当である. 地域別では、農業用 水を地下水に依存し、灌漑施設が整った宮古島での 地下水保全を考慮した灌水情報提供の実用化も期待

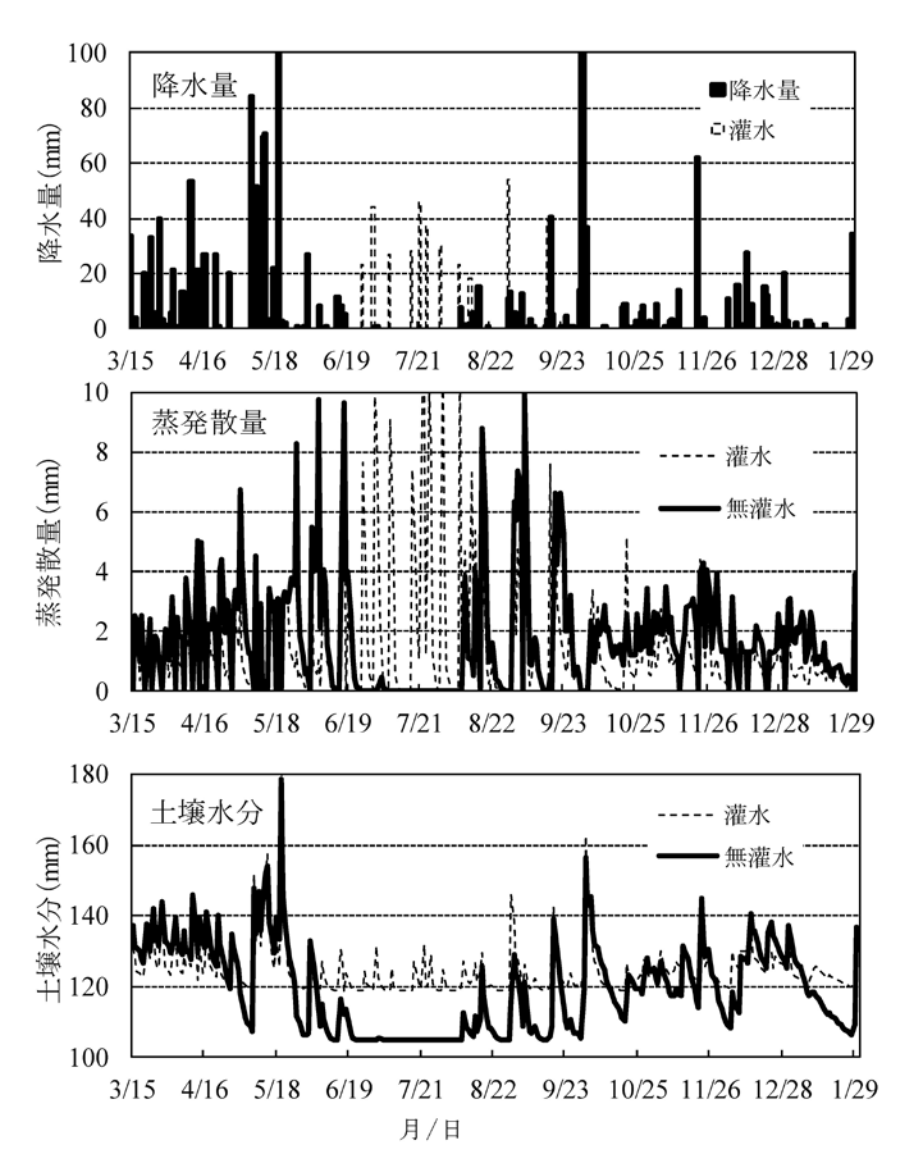


図 6 2013 年度の春植えにおける降水量と灌水量、蒸発散量および土壌水分量の推移場所は糸満市真壁、土壌はジャーガル

表 2 2013 ~ 2015 年度の灌水による原料茎重の違い

年度	作型 ・	原料	備考		
十尺	17至	灌水区	無灌水区	比率	7佣 45
2013	春植え	487	63	773	干ばつ
2013	株出し	640	351	182	ー ー
2014	春植え	654	773	85	
2014	株出し	332	390	85	
2015	春植え	557	595	94	
2013	株出し	727	952	76	

比率 (%) =灌水区/無灌水区 x 100

される.

## ジャーガルにおける灌水がサトウキビ収量に 与える効果

土壌水分センサーと灌水制御装置を設置して、土壌水分量の変化に対応した灌水をおこなった。灌水時期は土壌水分量が毛管連絡切断含水量(図 2)に達した時点で行なった。その結果、2013 年度の無灌水区における土壌水分量は、5 月下旬~8 月下旬において毛管連絡切断含水量まで低下し、蒸発散量はゼロ付近まで低下した(図 6)。しかし、2014 年度と2015 年度の土壌水分量は、満遍なく降雨が認められたため、サトウキビの生育期間において毛管連絡切断含水量まで低下することはなかった(データ省略)。

原料茎重は、夏季に干ばつ傾向を示した2013年 度において、春植え栽培の灌水区は487kg/a、株出 し栽培は640kg/aであり、無灌水区と比較して各々 773%, 182%の増収効果を示した(表2). しかし, 比較的満遍なく降雨が認められた2014年度と2015 年度の原料茎重は春植え栽培, 株出し栽培の各作型 ともに灌水による増収効果が認められなかった. 以 上の結果から, ジャーガルでは梅雨明け後から夏季 の降水量の少なく、土壌水分量が毛管連絡切断含水 量付近まで低下する時期に灌水を実施するとサトウ キビの増収効果が高まることがわかった.砂川ら (2017) は、宮古地域の島尻マージにおける効果的 な灌水時期は梅雨明け1週間程度であり、この時期 に灌水を始めることにより梅雨明け後の高い茎伸長 速度を維持することができることを明らかにした. ここでの灌水開始時期は,本報告で明らかにした土 壌水分量が毛管連絡切断含水量付近まで低下した時 期と一致している. この時期の灌水は、春植えと株 出しの増収につながることを意味する. サトウキビ の安定生産を実現するためにも, 限りある水資源を 有効活用し、効果的な灌水を行う必要がある.

#### 謝辞

本研究は、農研機構生物系特定産業技術研究支援 センターが実施する「攻めの農林水産業の実現に向 けた革新的技術緊急展開事業 (うち産学の英知を 結集した革新的な技術体系の確立)」による成果で ある.本試験を遂行するにあたり、沖縄県農業研究 センター農林水産技能員の比嘉正徳氏、與那嶺介功 氏、宮古島支所、石垣支所の農林水産技能員、非常 勤職員の御協力をいただいた、記して感謝申し上げ る、

#### 引用文献

- Allen, R. G., L. S. Pereira, D. Raes and M. Smith (1998) Crop evapotranspiration. FAO irrigation and Drainage Paper No.56, FAO, Rome, Italy.
- Doorenbos, J. and W. O. Pruitt (1977) Guidelines for predicting crop water requirements. FAO Irrigation and Drainage Paper No.24, FAO, Rome, Italy.
- Du, Y.C., Kawamitsu, Y., Nose, A., Hiyane, S., Murayama, S., Wasano, K., Uchida, Y. (1996) Effects of water stress on carbon exchange rate and activities of photosynthetic enzymes in leaves of sugarcane (*Saccharum* sp.). Aust. J. Plant Physiol. 23: 719– 726.
- 藤川武信,元田雄四郎,高山昌照,江口弘美(1979) 圃場 土の分光反射率.南西諸島の干ばつに関する研究 代表藤川武信 文部省科学研究費自然災害特別研究 研究成果 No.A 54-7. 57 - 60.
- 機間靖, 亀谷茂, 宮丸直子, 與那嶺介功 (2002) 土壌機能 増進対策事業 土壌機能実態モニタリング調査.化 学部試験成績概要書. 沖縄県農業試験場. 那覇1-15.
- 儀間靖, 亀谷茂, 宮丸直子, 與那嶺介功 (2004) 土壌機能 増進対策事業 土壌機能実態モニタリング調査中南 部2巡め. 化学部試験成績概要書. 沖縄県農業試験場. 那覇 1-16.
- 比屋根真一,大場和彦 (2001) 宮古島における過去 20 年間の降雨特性と土壌水分量の推定. 宮古島 20 周年記念誌. 沖縄県農業試験場宮古支場 平良 65-75.
- 比屋根真一,大場和彦,丸山篤志,黒瀬義孝,河野伸二, 伊志嶺正人(2004)宮古島における夏植サトウキビ畑 の蒸発散特性.熱帯農業 48(2):94-100.
- 比屋根真一 (2008) 沖縄本島南部地域の夏季における春植 えサトウキビの蒸発散量. 沖縄県農業研究センター 研究報告 (1):63-67.
- 比屋根真一,真境名元次,比嘉明美,儀間靖,新里良章, 生駒泰基 (2008) 沖縄県南部地域のサトウキビ畑にお けるタンクモデルを用いた豚ぷん尿曝気処理水の散 布時期と量の推定.日本作物学会九州支部会報74: 39-42.
- クリマテック株式会社 (2017) 総合カタログフィールド用 計測機器. クリマテック株式会社. 東京 (53): 59.
- 沖縄県農林水産部 (2014) 栽培管理. さとうきび栽培指針 代表安田宗伸 沖縄県農林水産部糖業農産課. 那
- 大場和彦, 桃木徳博, 長谷川功, 雁野勝宣, 亀谷茂, 喜名景秀 (1993) 国頭マージ土壌の土砂流出量予測モデルについて.九州の農業気象 II (2):23-26.
- 太田弘毅,凌祥之(1990)タンクモデル法による土壌水分

収支の解析. 農土誌 58 (7):5-9.

- 太田弘毅, 大場和彦, 長谷川功, 桃木徳博, 塩野隆弘 (1992) 南九州火山性台地畑における土壌水分収支のタンク モデル法の解析. 九州農試報告 27 (2):207-237.
- 太田弘毅, 大場和彦, 塩野隆弘 (1995) 畑地における降雨 の浅層地下水までの移動モデル. 生態系からみた畑 生産技術体系の確立 - 南九州畑作地域における浅層 地下水窒素濃度の小地域的管理システム - 代表桃木 徳博総合研究第2チーム第1期研究成果. 西合志 (2):28-37.
- 砂川喜信, 佐藤光徳, 比屋根真一, 伊禮信, 大見のり子 (2017) 茎伸長速度から見たサトウキビの効果的な潅水開始時期. 日本作物学会九州支部会報 75:50-53.
- 山城三郎 (1968) 沖縄における甘蔗の蒸発散量 第1報. 琉大農学報 15:193-198.
- 山城三郎 (1981) 沖縄のサトウキビに対するカンガイの必要性. 琉大農学報 28:127-137.

# Estimation of the soil moisture content using the improved tank model and the effects of irrigation on yields from sugar cane fields in Okinawa Prefecture

Shinichi HIYANE <sup>1</sup>, Yoshinobu SUNAKAWA<sup>2</sup>, Noriko OOMI <sup>3</sup>, Kounosuke DEGI <sup>1</sup> and Shin IREI <sup>1</sup>

Okinawa Pref. Agri. Res. Center
 Okinawa Pref. Agri. Res. Center Miyakojima Branch
 Okinawa Pref. Agri. Res. Center Ishigaki branch

#### **Abstract**

The present study aimed to examine the accuracy of estimating the soil moisture content using the existing tank model method and its improved method. The soil moisture content was accurately estimated by combining the tank method with the solar radiation method a method that takes into account changes in the soil moisture content. The root mean square error (RMSE) was calculated for the estimated moisture content of various types of soil, and the RMSE of Jahgaru, Shimajiri Mahji, and Kunigami Mahji was 3.43, 2.95, and 2.28%, respectively. Therefore, the adaptability of the estimation of the soil moisture content using the revised tank model method to three principal types of soil in Okinawa Prefecture is considered to be high. The yield of sugar cane planted in Jahgaru was increased by conducting irrigation when the soil moisture content was below the "moisture content at the point of the rupture of capillary bonding" in the summer season with little precipitation.

Keywords: evapotranspiration, Irrigation, Jahgaru, solar radiation method, water balance

## 原著論文

## 挿し木によるヒハツモドキの増殖:挿し木に適する植物部位,挿し穂の節数, 葉切除の程度ならびに時期の特定

大野 豪 1\* · 根本明子 1,2 · 玉城盛俊 3

1 沖縄県農業研究センター石垣支所(\*現所属:沖縄県病害虫防除技術センター)2 琉球産経株式会社3 沖縄県農業研究センター

#### 要 約

沖縄県、特に八重山地域において古くから香辛料・薬用植物として利用されてきたヒハツモドキは、近年、機能性食材としても注目を浴びつつある。本種の栽培技術開発のための研究の一環として、挿し木による増殖法の確立に向け、挿し穂に適する植物部位、節数、葉切除の程度および挿し木に好ましい時期を特定するための一連の試験を行った。植物部位として、よじのぼり茎、ほふく茎およびよじのぼり茎から発生する側枝に分けて発根と初期生育を比較した。側枝の先端部はその発根率が3割未満と著しく低いために挿し穂に適さず、よじのぼり茎の先端部も発根に関する諸形質において他の部位に劣る場合があるため、挿し穂にはあまり適さないと考えられた。一方、よじのぼり茎の中間部は、その発根率が7割以上であるだけでなく、初期生育に関する諸形質においても優れるため、現時点では挿し穂として最も適した部位であると言える。ほふく茎の先端部と中間部は、発根と初期生育において、よじのぼり茎の中間部に次いで優れるため、挿し穂として利用可能である。挿し穂の節数については、発根に関する諸形質と取り扱いのしやすさの観点から、よじのぼり茎では3~4節、ほふく茎では2~3節が適していると考えられた。挿し穂の葉切除については、よじのぼり茎では切除の程度が大きくなるほど発根に関する諸形質が劣る傾向がみられ、側枝においても葉切除は発根率上昇効果を示さなかった。このため、本種の挿し木においては葉の切除は行わないほうがよい。挿し木に好ましい時期については、冬期の発根が他の時期より劣る場合が多かったため、春から秋にかけて挿し木を行うのがよいと考えられた。

キーワード:コショウ科,ピパーツ,天挿し,管挿し,育苗,琉球列島

#### 緒 言

ヒハツモドキ Piper retrofractum Vahl (コショウ科) は、インドネシアやマレーシア、タイ等の東南アジ ア地域原産とされるつる植物であり, これらの地域 を中心に, 世界各地で香辛料や生薬として用いられ ている (Weiss, 2002; Lim, 2012). 日本においても, 沖 縄県, 特にその南西端に位置する八重山地域では, 本種は住居の周囲にしばしば植栽されており、ピ パーツ, ピーヤシ等の方言名で呼ばれ, その果穂や 葉は香りがよいために、古くから香辛料等に用いら れてきた(たとえば,多和田,1981;山門,1996). 本種は他のコショウ科植物と同様に、その果穂や 葉等に piperine をはじめとした各種機能性成分を含 むことから (たとえば、成井ら、1995; Banerjia et al., 2002), 最近では伝統食材としてだけではなく, 健 康食品としても注目されるようになってきている. このため近年沖縄においては, 本種の果穂等の安定 した収量を得るための栽培技術開発や有望系統選 抜に対する要望が高まりつつある (大野ら, 2016). しかしながら, 国内ではヒハツモドキの栽培研究が

なされた事例がなく, 有望系統選抜の上で重要とな る系統間での諸形質の変異についても, 葉の形状に 関する1研究例(皆川・中村, 1995) があるのみで ある、また、主要な産地であるインドネシアにお いても、そうした栽培や形質変異に関する研究は 十分には行われていない状況である(Djauhariya and Rosman, 2008; Evizal, 2013). 一方で, このような栽培 技術開発や有望系統選抜のための研究や, それらの 成果の普及を今後進める上では、苗の増殖が不可欠 であるが, これについても研究事例は限られており (Evizal, 2013 とその引用文献を参照), 増殖技術が確 立されているとは言い難い状況である. そこで本研 究では, 挿し木による本種の効率的な増殖法の確立 をめざした試験の一環として, 挿し穂に適した植物 部位, 最適な挿し穂の節数, ならびに挿し穂の葉か らの蒸散を防ぐ目的でしばしば行われる葉切除の必 要性を明らかにするための試験を行った. さらに, これらの試験はいずれも異なる時期に複数回実施し たため,全試験のデータを統合した上で,挿し木に 適する時期の検討も行った.

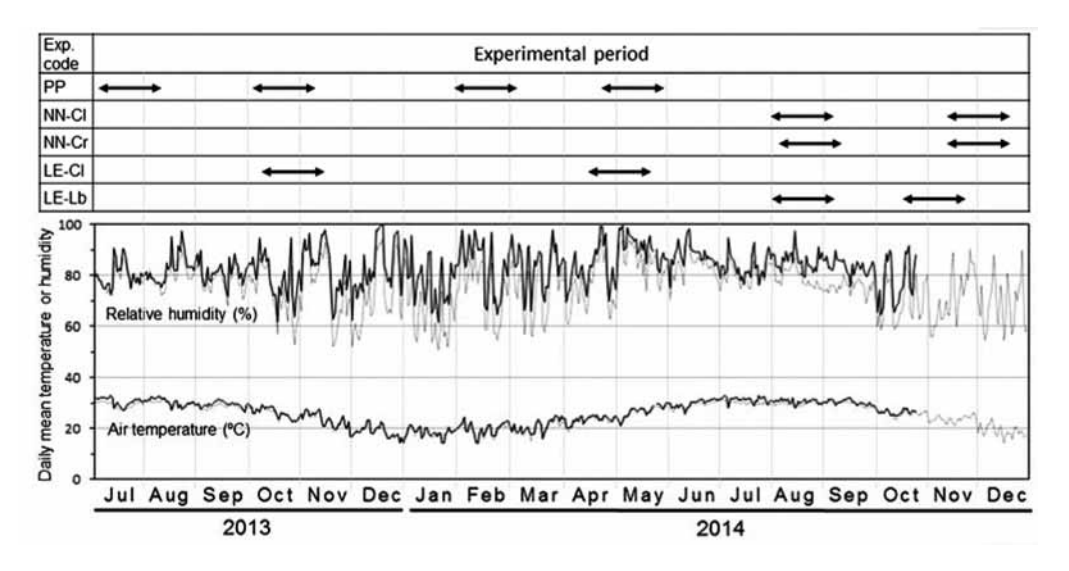


Fig. 1 Periods in which five different experiments (indicated as Exp. code) on propagation of *Piper retrofractum* were conducted (upper), and temporal changes in the daily means of air temperature and relative humidity during these periods (lower; solid and dotted lines indicating those in the experimental glasshouse and outside the house, respectively). The explanations for the Exp. codes are as follows: PP, testing the plant parts suitable for cuttings (see Table 1 for the results); NN-Cl and NN-Cr, testing the number of nodes suitable for cuttings using the climbing stem and the creeping stem, respectively (see Table 3); LE-Cl and LE-Lb, testing the effects of leaf excision from the cuttings on rooting using the climbing stem and the lateral branch, respectively (see Table 4). See Figs. 2-3 for further details on plant parts and experimental treatments.

#### 材料および方法

#### 試験場所とその環境

以下すべての試験は、沖縄県農業研究センター石 垣支所(沖縄県石垣市; 24.382℃, 124.191℃) におい て,2013年7月から2014年12月にかけて行った. 個々の試験を実施した期間はFig. 1 および以下に示 す. 供試材料 (挿し穂の供給元となる親株や, 挿し 木後のセルトレイ, 苗等) は, 同支所内の育苗用ガ ラス室 (17.6 m × 9.2 m) 内の一角 (5.5 m × 3.5 m) に保管した. この一角の側窓は風よけのために閉め 切ったが、他の側窓については、その総面積の3分 の1相当を、台風襲来時を除いて常に網戸の状態で 開放した. この一角には遮光ネットとして, 地表か らの高さ 1.9 m 前後の位置に黒色ナイロンネット (2 mm 目合い)を2枚重ねて展張し(遮光率75%前後), その下(高さ1.6m前後)に散水ノズル9個をおお むね等間隔で吊り下げ、試験期間中は毎日、午前 9時頃より10分間散水を行った. 気温と相対湿度 については、温湿度データロガー (おんどとり®TR-77Ui, T & D Corporation) を遮光ネットの真下に吊り 下げ,30分ごとに記録した(ただし,2014年10月 下旬以降は機器の不具合により記録できず). 試験 期間中のガラス室内および外気の日平均温湿度の変 動を Fig. 1 に示した (外気については石垣島地方気 象台で取得されたデータを使用). 気温と相対湿度 の双方とも, ガラス室内のほうが外気よりもほぼー 貫して高く推移していた.

#### 親株の管理および植物部位の定義

2013 年 2 月に石垣島の栽培者より、雌株のほふく茎(定義は以下参照)由来の苗を購入し、これを親株として育成した。これら苗は、支柱として長さ1m前後、直径 6~7 cmの丸太を立て、鹿沼土を底から5 cm前後の深さまで入れ、その上から石垣島産の赤土(国頭マージ)と堆肥(世美がえり、石垣島堆肥センター)とカナダ産ピートモス(Morning Glory、Theriault & Hachey Peat Moss 社)を体積比1:1:1で混合した土を入れた黒色プラスチックポット(容量18.5L、高さ29 cm、開口部内径30 cm、底部内径25 cm)に1本ずつ移植した。以下の試験では、特にことわらないかぎり、これら親株から繰り返し挿し穂を切り出した。苗移植時と、挿し穂を切り出した時には、化学肥料(くみあい尿素入りIB化成S1号、N:P:K=10:10:10)を1親株あたり約20g与えた。

なお、コショウ科植物には、同一種がよじのぼり茎 (climbing stem) やほふく茎 (creeping stem) 等の性質が異なる茎を発生させる例がしばしばあり(たとえば、Chaveerach et al., 2006)、ヒハツモドキにも、葉の形態が互いに異なるよじのぼり茎とほふく茎が存在するとされる(皆川・中村、1995). しかし本種については、これら異なるタイプの茎の形態・生態的差異を詳述した文献が見当たらない. そこで今回、試験に先立ち、育成した親株と野外の株の観察に基づき、各タイプの茎・枝を以下のように定義した(模式図をFig. 2 に示した). 親株導入から5ヶ月経過後(2013年7月)、一部の茎は各節から気根

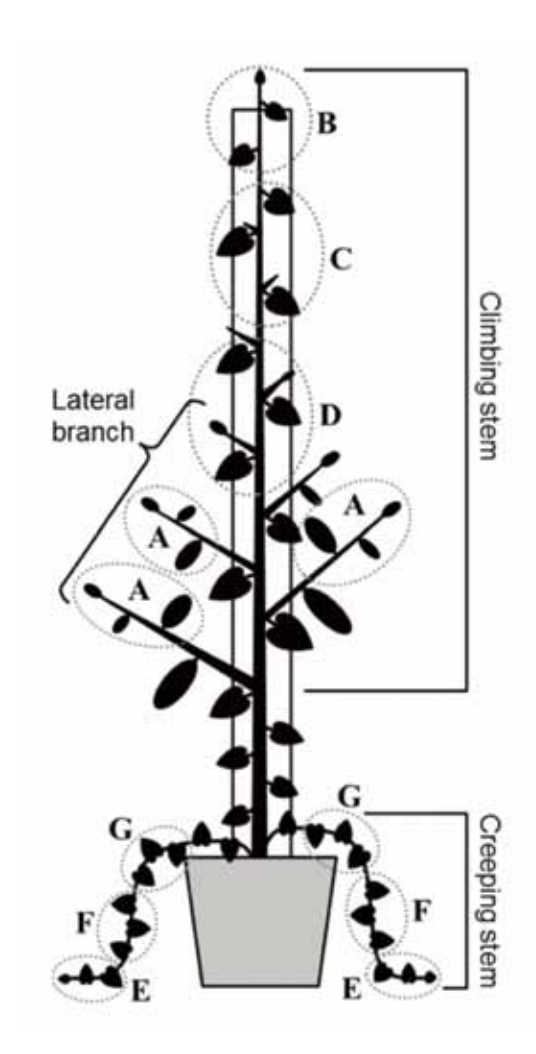


Fig. 2 Schematic representation of the definition of lateral branch, climbing stem and creeping stem of *Piper retrofractum*, and the plant parts used as cuttings (indicated with dotted ellipses and uppercase letters) in the present study. Although multiple climbing stems usually emerge by branching, only one was figured for simplification. A, tip of the lateral branch including three nodes (and thus three leaves, hereafter); B, tip of the climbing stem including three nodes; C and D, intermediate portions of the climbing stem including the fourth to sixth nodes and the seventh to ninth nodes, respectively; E, tip of the creeping stem including three nodes; F and G, intermediate portions of the creeping stem including the fourth to sixth nodes and the seventh to ninth nodes, respectively. See also Fig. 3f for external differences among the seven parts.

を発生させ、これを丸太に付着させて登っており、他の茎は地表から水平方向に伸長してポットの外に垂れ下がっていた.登っている茎は、基部と先端部をのぞく各節から、大型で楕円形の葉を有し、付着根のない枝(以降、これを側枝 lateral branch と呼ぶ)を発生させていた.野外株の観察では、果穂は例外なくこの側枝だけに認められた.地表から水平に伸長している茎は、心形~腎形で小型の葉を有し、この型の茎からは側枝の発生は認められなかった.こ

れをほふく茎と定義する. 一方, よじのぼり茎については, 支柱に付着している茎のうち, 側枝が発生している最下位節より上の部分と定義する. したがって, 地表と最下位の側枝の間の部分は, ほふく、本試験での調査対象からは除外する. よじのぼり茎に変化しつつある部分とみなし, 本試験での調査対象からは除外する. よじのぼり茎の各節に直接着生する葉は心形であり, その大きは側枝の葉とほふく茎の中間であった. ほ短く、よじのぼり茎の先端1~2節をのぞく各節にはほぼ例外なく気根の発生が認められたが, ほふく茎には気根が発生している節としていない節があった. ほふく茎の中間節が地表に接している場合, そこから土中への根の伸長がみられることがあった.

### 挿し穂の調製および挿し木法

試験用の挿し穂の切り出しはいずれの場合も, 月 齢6ヶ月以内の部位から行なった. 切り出した挿し 穂はすみやかに水に浸漬し、浸漬開始から6時間以 内に挿し木した. 挿し木培地には, 市販のフェノー ル樹脂製の発泡成形育苗資材(オアシス®さし木 育苗用 (クサビ形), Smithers-Oasis 社, 品番 5615) を 102 穴 (6 穴 × 17 穴, 25 cm × 51 cm) の専用セル トレイ (同社, 品番 5641) に1 穴おきに入れ, 十分 に湿らせたもの (Fig. 3a) を用いた. 挿し穂として 用いた茎・枝の小片はすべて、最下位節より下の 部分を挿ししろとして 2.5 cm 前後 (これに満たない 場合はできるだけ長く)残し,挿し穂長(最下位節 から最上位節までの長さ)を測定したのち(ただし 挿し穂が1節の場合は測定せず),最下位節が培地 表面に接するかやや埋まる程度の深さまで挿して固 定した. 挿し穂は通常, 培地表面中央にあけられて いる直径 2 mm 程度の穴に挿したが、挿し穂が穴の 径より細いために固定されにくい場合は、穴から5 mm 程度離れた位置に挿した. いずれの試験におい ても, 異なる試験区の挿し穂を同一セルトレイ上に 無作為順で挿し、セルトレイごと水稲用育苗箱 (30 cm × 61 cm) に入れ、上記の遮光ネット下に置いた 高さ65 cm の台の上に静置した (Fig. 3a). 保管中に 生じうる灌水ムラの影響を除去するため, 挿し木か ら発根調査までの間,週2~3回,セルトレイの配 置を入れ替えた.

### 発根調査法およびデータ解析

すべての試験において、発根調査は挿し木から 35日後に行った. 挿し穂をセルトレイから抜きと り、必要に応じて培地を分解し、肉眼で発根の有無 を確かめた. 少なくとも1本の発根が認められた挿 し穂についてはさらに、発根数を確認し、最も長い 根の長さ(最大根長)を計測した. 発根数について

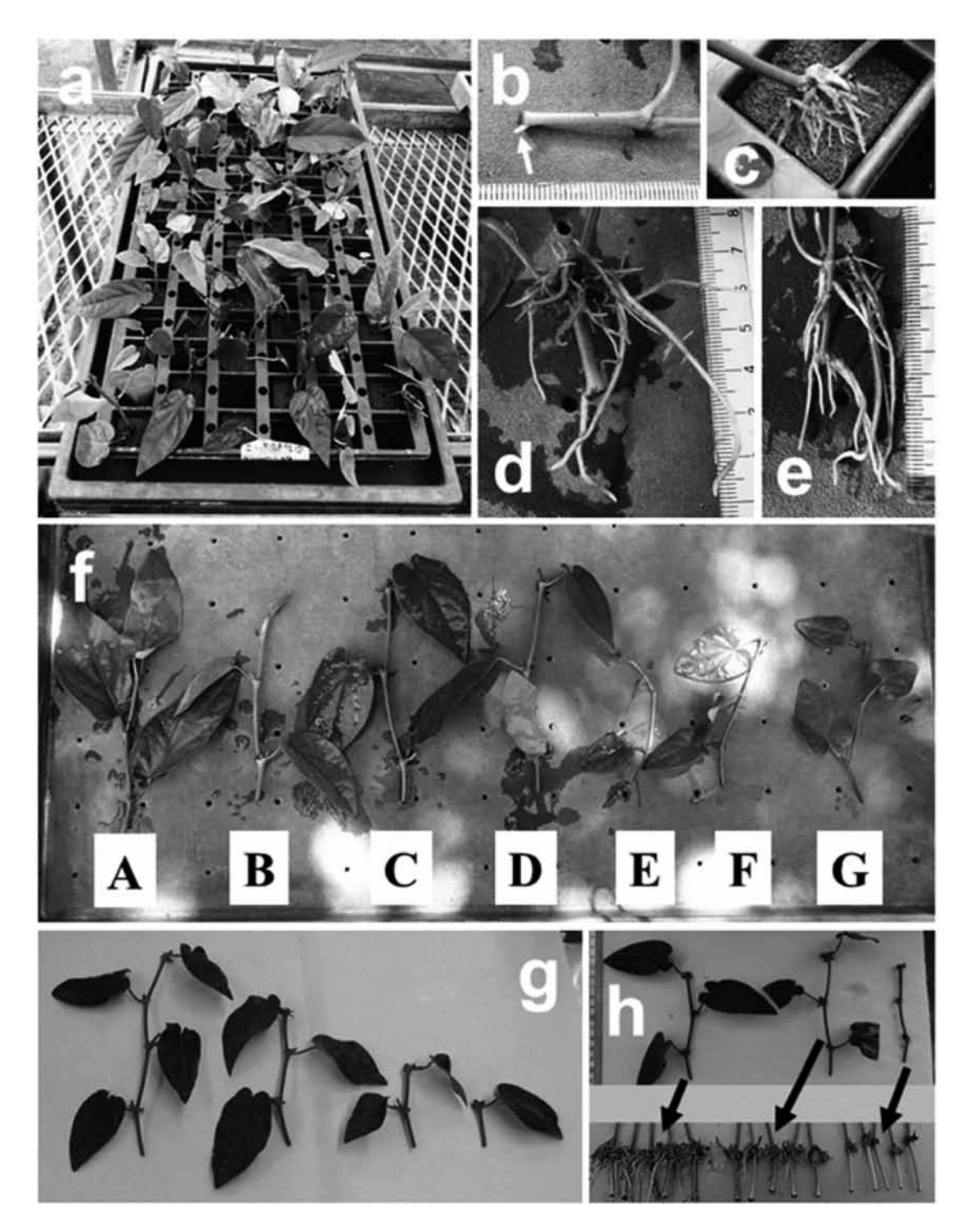


Fig. 3 Examples of the rooting media used, successful rooting, the plant parts used, and experimental treatments on the plant parts in propagation of *Piper retrofractum* by cutting. a: The growing media and tray used, and cuttings thereon. For all experiments in the present study, Oasis<sup>®</sup> Wedge<sup>®</sup> medium was embedded in every other cell of the dedicated tray with 102 cells, and different cutting types, as shown in photos f-h, were put in the media in a randomized order. Each cutting was inserted into the medium so that the undermost node of the cutting was in touch with the medium. b-d: Rooting observed on cutting derived from varying plant parts (see below and Fig. 2). The photo b shows a small root (indicated by the arrow) that emerged on terminal of the lateral branch. The photo c shows roots of an intermediate portion of the climbing stem that are recognizable on the surface of the rooting medium. The photos d and e show roots of intermediate portions of the climbing stem and the creeping stem, respectively, which have grown inside the rooting media. f: External differences among seven plant parts (A-G) used to determine the parts suitable for cuttings (see Fig. 2 for detailed explanations). g: Cuttings varying in the number of nodes that were used to examine the number of nodes suitable for cutting. h: Cuttings varying in the degree of leaf excision that were used to test the effects of leaf excision on rooting (upper), and apparent differences in the degree of rooting observed after 35 days (lower; leaves removed for ease of recognition).

は、多数の発根が認められた場合の多くで根が互い に癒合しており、肉眼での計数が困難であったた め、根数が10以内であれば全数を計数したが、明 らかに10本以上の発根が認められる場合はすべて 10以上として記録した. なお発根は主として挿し 穂の最下位節に認められたが, 挿し穂最下端の切り 口や、最下位節と切り口の間に認められる場合も あった (Fig. 3b-e). 発根数は, こうした発根部位の 違いにかかわらずひとまとめにして記録した. 発根 率 (発根が認められた挿し穂の割合), 発根数, 最 大根長, および挿し木時に得た挿し穂長のデータ は,必要に応じて,異なる試験区間で多重比較し た (有意水準 5%). 発根率については、Fisher の正 確確率検定によって総当たりで比較したのち, FDR (false discovery rate) 法 (Benjamini and Hochberg, 1995) によって有意差がある組み合わせを選び出した. 発根数のデータについては,4つのランク(1~3 本なら1,4~6本なら2,7~9本なら3,10本 以上であれば4) に配分して順序変数とし、Mann-Whitney の U 検定で総当たりの比較を行い、同様に FDR 法により有意性を判定した. 最大根長と挿し穂 長については、Tukey-Kramer の HSD 検定によって多 重比較した.

#### 試験 1: 挿し穂に適する植物部位の検討

本試験では、上のように定義した各部位をさらに 細分し、Fig. 2 および Fig. 3f に示した A ~ G の 7 部 位間で発根率等の比較を行った. すなわち, 部位 A は側枝の先端3節, 部位Bはよじのぼり茎の先端3 節、部位Cは同じく先端から4~6節、部位Dは 同じく先端から7~9節、部位Eはほふく茎の先端 3節, 部位 F は同じく先端から 4~6節, 部位 G は 同じく先端から7~9節とした. なお, 側枝の中間 部については、全節に葉を備えた挿し穂を十分量得 ることが困難であったため, 本試験には用いていな い. 部位  $B \sim D$  に側枝の発生がみられた場合,こ れを切除してから試験に用いた. ほふく茎の中間節 から土中への根の伸長が認められた場合, その節よ り上位を試験に用いた. 本試験は2013年7月5日 ~8月9日, 同年10月3日~11月7日, 2014年1 月29日~3月5日,同年4月24日~5月29日の4 回実施した (Fig. 1). ただし3回目と4回目の試験 においては、部位 D と G をのぞく 5 部位間の比較 とした. いずれの部位とも, 挿し木前に挿し穂の最 下位節における気根の有無を記録した. 部位 E~G ではいずれも、最下位節に気根があるものとないも のが認められたが (結果を参照), これらの間で発 根率,発根数あるいは最大根長が有意に異なること はなかったため (データ省略), 結果では気根の有 無にかかわらずひとまとめにして算出したデータを 示す

さらに, 異なる部位間での発根後の活着率や初期 生育の比較を行うため、上記4回の試験のうち1回 目と4回目では、挿し木後の発根調査に引き続いて 以下のような調査を行った. 発根が認められた挿し 穂については、親株育成に使用したものと同じ混 合土を十分量入れた黒色ポリポット (570 ml, 口径 10.5cm) に1本ずつ、最下位節が土表面から1cm程 度の深さに埋まるように植えかえ, 上記と同じ化学 肥料を3粒(1.5g前後)与え,部位を記したラベル を挿したポット苗とした. これらポット苗は各部位 40 本を上限に準備し、上記と同じ台の上に無作為 順で並べて保管した. 1回目の試験では移植から40 日後(2013年9月18日)に,4回目の試験では移 植から50日後(2014年7月18日)に、苗ごとに活 着の有無を判定し、 さらに活着したと判定されたも のについては最大茎長, 茎数, 側枝数および葉数を 記録した. ここで, 節数の増加が認められた苗は活 着しており、 枯死しているか節数が増加していない 苗は活着していないと判断した. 最大茎長について は、最も長い茎の土表面から茎先端(葉を含まない) までの距離とした. 茎数は、主茎(もとの挿し穂を 含む茎) の各節(十中の最下位節も含む) から発生 している側枝ではない分枝を数え、これに1(主茎 の数)を加えたものとした. 側枝数はすべての茎の 側枝の数の合計, 葉数は苗全体の展開葉数とした. なお茎と側枝については、少なくとも1枚の展開葉 を有するものだけを数えた. 活着率の部位間での多 重比較については発根率の場合と同様であり,他の 値については Tukey-Kramer の HSD 検定によって比 較した.

#### 試験2:最適な挿し穂の節数の検討

ヒハツモドキの挿し穂の節数と発根・生育等との 関係については、インドネシアの研究例があるが (Darwati et al., 1991; Januwati and Effendi, 1992), いずれ も土・肥料等の混合物を挿し木培地として使用した 例であり、本研究のように発泡成形育苗資材を用い た研究例はないため、検討することとした. ここで は、試験1において良好な発根が確かめられた、よ じのぼり茎の中間部とほふく茎の中間部(結果を参 照)を用いた試験を,それぞれ2回ずつ実施した(Fig. 1). 1回目の試験は、よじのぼり茎では2014年8月 1日~9月5日に、ほふく茎では同年8月4日~9 月8日に行った.2回目の試験は、よじのぼり茎・ ほふく茎双方とも、同年11月13日~12月18日に 行った. 双方の茎とも, 茎先端2節を除く, 3節~ 12節程度の間から挿し穂を切り出した. よじのぼ り茎に側枝がある場合、試験1と同様に切除した. ほふく茎については、親株からだけでは十分なサン

プル数が確保できなかったため、試験1の4回目の 試験で初期生育比較のために用いたポット苗のう ち、ほふく茎(E・F)由来のものからも同様に挿し 穂を切り出して用いた。中間節から土中への根の伸 長がみられた場合の扱いについても、試験1と同様 である。試験区については、挿し木前後の取り扱い のしやすさや挿し穂の安定性から、よじのぼり茎で は1節から4節の4区(Fig. 3g)、ほふく茎では1節 から5節の5区とした。茎の特定の部位(たとえば、 先端寄り)が特定の区に偏って配分されることがな いよう, 節数が異なる挿し穂の切り出しは無作為順で行った. なお, 1節の区においては節間がないために, 挿し穂長はゼロとした.

#### 試験3:挿し穂の葉切除の必要性の検討

挿し穂の葉切除は、蒸散の抑制による発根促進効果が期待されることに加え、葉面積が小さくなるために、挿し床の単位面積あたり挿し穂数を増やせるという利点をもたらしうる。本研究では隣接する挿し穂どうしの干渉(隣の挿し穂の葉によって培地表

Table 1. Comparison of external characteristics and rooting among cuttings derived from varying plant parts of *Piper retrofractum* 

Experiment No. (period)/plant parts tested <sup>a</sup>	N	Cutting length (cm) <sup>b,c</sup>	% cuttings with aerial roots <sup>d,e</sup>	% rooting <sup>d,f</sup>	No. of roots (rank) <sup>g</sup>	Maximum root length (cm) <sup>b,h</sup>
Exp. 1 (5 Jul9 A	ug., 20	013)				
A	38	$6.39 \pm 0.20 \text{ b}$	0.0 a	2.6 a	1.00	0.30
В	25	$7.37 \pm 0.18$ c	100.0 c	68.0 b	$3.47 \pm 0.24$ bc	$1.89 \pm 0.24$ a
C	23	$10.71 \pm 0.26 d$	100.0 c	91.3 b	$3.90 \pm 0.10$ cd	$3.54 \pm 0.30  b$
D	21	$9.67 \pm 0.28 d$	100.0 c	90.5 b	$3.89 \pm 0.11$ cd	$3.78 \pm 0.36 b$
E	36	$4.61 \pm 0.18$ a	77.8 b	75.0 b	$3.11 \pm 0.20$ ab	$4.31 \pm 0.31 b$
F	35	$6.55 \pm 0.23$ bc	71.4 b	85.7 b	$2.93 \pm 0.20$ ab	$4.70 \pm 0.27  b$
G	26	$6.82 \pm 0.33$ bc	61.5 b	76.9 b	$2.65 \pm 0.25$ a	$4.50 \pm 0.46 \text{ b}$
Exp. 2 (3 Oct7 N	Nov., 2	2013)				
A	51	$5.20 \pm 0.18$ ab	0.0 a	23.5 a	$1.08 \pm 0.08$ a	$1.67 \pm 0.33$ a
В	45	$7.44 \pm 0.26$ c	93.3 с	97.8 b	$2.59 \pm 0.16 \text{ b}$	$1.93 \pm 0.17$ a
C	37	$9.99 \pm 0.23 d$	100.0 c	100.0 b	$3.84 \pm 0.08$ c	$4.08 \pm 0.20 \text{ b}$
D	31	$10.58 \pm 0.36 d$	100.0 c	93.5 b	$4.00 \pm 0.00 c$	$3.64 \pm 0.19$ b
E	28	$4.67 \pm 0.29$ a	75.0 b	92.9 b	$2.19 \pm 0.21 \text{ b}$	$4.19 \pm 0.34$ bc
F	24	$6.15 \pm 0.38 \text{ b}$	70.8 b	100.0 b	$2.21 \pm 0.22 \text{ b}$	$4.72 \pm 0.29$ bc
G	15	$6.23 \pm 0.34$ bc	66.7 b	93.3 b	$2.36 \pm 0.17 \text{ b}$	$5.39 \pm 0.59$ c
Exp. 3 (29 Jan5				T. T. IT. (170.70)		
A	14	$3.39 \pm 0.18$ ab	0.0 a	0.0 a	No data	No data
В	27	$4.10 \pm 0.18$ bc	96.2 c	40.7 b	$1.64 \pm 0.34$ ab	$0.49 \pm 0.11$ a
C	22	$6.44 \pm 0.19 d$	100.0 c	77.3 c	$2.71 \pm 0.29  b$	$0.68 \pm 0.08$ a
E	29	$2.97 \pm 0.20$ a	65.5 b	41.4 b	$1.08 \pm 0.08$ a	$0.63 \pm 0.18$ a
F	24	$4.48 \pm 0.28 \text{ bc}$	54.2 b	20.8 ab	$1.20 \pm 0.20$ ab	$0.68 \pm 0.43$ a
Exp. 4 (24 Apr2)					-1	*****
A	14	$4.01 \pm 0.27$ a	0.0 a	0.0 a	No data	No data
В	46	$5.39 \pm 0.19 \text{ b}$	100.0 c	87.0 b	$2.03 \pm 0.13$ a	$3.12 \pm 1.17$ a
C	47	$7.95 \pm 0.14 \text{ c}$	100.0 c	100.0 c	$3.89 \pm 0.08 \text{ b}$	$4.98 \pm 0.92$ b
E	27	$4.06 \pm 0.20$ a	66.7 b	92.6 bc	$1.92 \pm 0.18$ a	$5.07 \pm 1.66 \text{ b}$
F	19	$5.14 \pm 0.32 \text{ b}$	47.4 b	89.4 bc	$1.76 \pm 0.24$ a	$4.92 \pm 1.12 \text{ b}$

a: The letters A-G represent plant parts tested, as shown in Fig. 2 and Fig. 3f. b: Mean  $\pm$  SE. Values with the same letter are not significantly different (Tukey-Kramer HSD test, P=0.05). The data without SE indicate N=1 and were thus excluded from the statistical comparison. c: Linear distance between the uppermost (first) and the undermost (third) nodes of the cutting at the start of the experiment. d: Values with the same letter are not significantly different (Fisher's exact tests followed by FDR adjustment, P=0.05). e: Percentage of cuttings bearing at least one aerial root on the undermost node at the start of the experiment. f: Percentage of cuttings bearing at least one newly emerged root at the end of the experiment. g: Mean  $\pm$  SE of the number of newly emerged roots recorded as an ordinal variable with four ranks as follows: 1, one to three roots; 2, four to six roots; 3, seven to nine roots; 4, 10 or more roots. Values with the same letter are not significantly different (Mann-Whitney U tests followed by FDR adjustment, P=0.05). The data without SE indicate N=1 and were thus excluded from the statistical comparison. h: Length of the longest root among the newly emerged roots.

面が覆われ、水がかかりにくくなることなど)をで きるかぎり防ぐため、すべての試験においてセルト レイに1穴おきに挿し木しているが (Fig. 3a), 葉が 小さいほふく茎では,全穴に挿し木してもこうした 干渉は問題にならず (筆者らによる観察), また葉 を切除せずとも発根がよいことが試験1で確かめら れている (結果を参照). このため本試験ではほふ く茎は用いず, 比較的大型の葉を有するよじのぼり 茎(中間3節)と側枝(先端3節)を用いて、それ ぞれ2回ずつ試験を実施した (Fig. 1). よじのぼり 茎を用いた試験は2013年10月9日~11月13日と 2014年4月15日~5月20日に、側枝を用いた試験 は2014年8月1日~9月5日と同年10月17日~11 月21日に行った、試験区については、葉を切除し ない対照区 (NE), 3葉すべてを葉幅が最大となる 部分で切除する部分切除区 (PE), および3葉すべ てを葉柄基部から切除する全切除区 (AE) (Fig. 3h) を設けた.よじのぼり茎については試験2と同様に, 茎先端から3節~12節程度の間から挿し穂を切り 出し、側枝がある場合はこれを切除し、また特定の 部位が特定の区に偏って配分されないよう,3試験 区の処理は無作為順で行った. なお, よじのぼり茎 の2回目の試験では、上記親株と異なる株から挿し 穂を切り出した.これらの株は、2013年7月に沖縄 本島(糸満市)の野外から採取したよじのぼり茎を, 本論文に記したのと同様な方法で挿し木・育苗し、 同年10月に同様の丸太を立てたポットに移植して 育成したものである.

### 挿し木に適する時期の検討

以上3試験のデータから,挿し穂の節数が3節で, かつ葉切除をしていないものの挿し穂長および発根 に関するものを抽出し、挿し木に適した時期の検討 を行った.ここで、試験1におけるよじのぼり茎の 部位 C と D は、 挿し穂長や発根、活着、 初期生育 に関するすべてのデータにおいて同一試験期間内で は有意に異ならなかったため (結果を参照), これ らはよじのぼり茎中間部としてひとまとめにし、挿 し穂長や発根に関するデータを再計算した. 同じ理 由で、ほふく茎の部位FとGのデータも、ほふく 茎中間部としてひとまとめにした. また, よじのぼ り茎中間部を用いている試験1の2回目と試験3の 1回目では試験期間が大幅に重なっており(Fig. 1), 挿し穂も同じ株から切り出したものであるため,こ れらのデータもひとまとめにして扱った.一方,試 験1の4回目と試験3の2回目についても同様に試 験期間が重なっているが (Fig. 1), 上述のとおり後 者では他の試験とは用いた挿し穂の由来が異なるた め、後者のデータは除外した.

### 結果および考察

### 挿し穂に適する植物部位

Table 1 に、挿し木前の挿し穂長と最下位節の気根 有無, および挿し木後の発根に関するデータを要約 した. 挿し穂長については, 4回の試験すべてに共 通した傾向がみられ、よじのぼり茎中間部 (C・D) が一貫して他よりも有意に大きく, よじのぼり茎先 端部 (B) とほふく茎中間部 (F・G) がそれに続き, 側枝先端部 (A) とほふく茎先端部 (E) は他より も有意に小さいことが多かった. 気根有無について も一貫した傾向があり、側枝先端部(A)は気根を 備えておらず,一方でよじのぼり茎の各部位 (B~ D) はそのほとんどが気根を備えており、ほふく茎 の各部位  $(E \sim F)$  では気根を備えるものが  $5 \sim 8$ 割を占めた. これらの結果は、各部位の定義のため の上記観察を裏付けるものである. 発根率について はまず, 側枝先端部 (A) が一貫して他よりも劣っ ており、高くても2割強であったが、一方でよじの ぼり茎中間部 (C・D) においては全試験を通じて 7割以上と良好であった. よじのぼり茎先端部 (B) とほふく茎の各部位  $(E \sim G)$  の発根率はやや劣る 場合があり、前者では3回目と4回目の試験におい て、後者では3回目の試験においてのみ、よじのぼ り茎中間部の発根率より低かった. ほふく茎の先端 部(E)と中間部(F・G)の間では発根率が有意に 異なることはなかった. 発根数については, 多くの 場合でよじのぼり茎中間部 (C·D) がほふく茎の 各部位  $(E \sim G)$  より多く、よじのぼり茎先端部 (B)がそれらの中間に位置するという結果になった.2 回目の試験では側枝先端部 (A) の発根数も統計検 定に含めることができたが、他のすべての部位より 少なかった. 最大根長については, 3回目の試験を のぞき, よじのぼり茎先端部 (B) が, よじのぼり 茎中間部  $(C \cdot D)$  とほふく茎の各部位  $(E \sim G)$  よ りも劣っていた. 3回目の試験では、ほふく茎中間 部のうち部位 G が、最大根長においてよじのぼり 茎中間部 (C・D) より勝っていた. 2回目の試験の み, 側枝先端部 (A) の最大根長も検定に含めるこ とが でき、よじのぼり茎先端部 (B) とは有意に異 ならなかったが、他の部位には劣った.

1回目と4回目の試験について、発根確認後にポットに移植した各部位由来の挿し穂の、その後の活着率および初期生育に関するデータを Table 2 に要約した.2回の試験を通じて、いずれの部位由来の挿し穂の活着率も9割以上と高く、部位間に有意差はなかった。最大茎長については、2 試験の間でやや結果が異なった。すなわち、よじのぼり茎先端部(B)と比べた場合、1回目の試験ではよじのぼり茎中間

Table 2. Comparison of the survival and early growth among the nursery plants of *Piper retrofractum* derived from varying plant parts

Experiment No. (period)/plant parts tested <sup>a</sup>	N	% survival <sup>b</sup>	Maximum stem length (cm) <sup>c,d</sup>	No. of stems <sup>c,c</sup>	No. of lateral branches <sup>c,f</sup>	No. of leaves <sup>c,g</sup>
Exp. 1 (9 Aug18	Sep.,	, 2013)				
В	17	94.1 a	$22.4 \pm 1.26$ a	$1.50 \pm 0.13$ a	$3.81 \pm 0.53 \text{ a}$	$14.5 \pm 0.97$ ab
C	21	100.0 a	$29.0 \pm 0.76$ c	$3.10 \pm 0.16$ c	$4.75 \pm 0.62$ a	$21.1 \pm 1.20 d$
D	19	100.0 a	$28.4 \pm 1.21 \text{ bc}$	$3.44 \pm 0.22$ c	$4.44 \pm 0.64$ a	$22.8 \pm 1.15 d$
E	27	100.0 a	$19.7 \pm 0.79$ a	$2.30 \pm 0.12 \text{ b}$	$0.11 \pm 0.11 \text{ b}$	$12.1 \pm 0.57$ a
F	30	90.0 a	$22.6 \pm 1.08 a$	$3.00 \pm 0.09$ c	$0.04 \pm 0.04 \text{ b}$	$17.0 \pm 0.75$ bc
G	20	100.0 a	$24.0 \pm 1.35 \text{ ab}$	$3.10 \pm 0.12$ c	$0.00 \pm 0.00 \text{ b}$	$19.2 \pm 0.84$ cd
Exp. 4 (29 May-1	8 Jul.	, 2014)				
В	36	100.0 a	$24.3 \pm 1.07$ a	$1.83 \pm 0.12$ a	$3.14 \pm 0.31$ a	$17.1 \pm 1.14$ a
C	40	100.0 a	$28.1 \pm 1.09 \text{ ab}$	$2.73 \pm 0.12 \text{ b}$	$4.43 \pm 0.45 \text{ b}$	$23.9 \pm 1.64 \text{ b}$
E	23	100.0 a	$30.3 \pm 1.55 \text{ b}$	$2.61 \pm 0.16 \mathrm{b}$	$0.04 \pm 0.04$ c	$19.3 \pm 1.20$ ab
F	16	100.0 a	$30.9 \pm 2.17 b$	$3.00 \pm 0.20 \text{ b}$	$0.06 \pm 0.06$ c	$22.9 \pm 1.48 \text{ ab}$

a: Same as those in Table 1. At the end of Exp. 1 and Exp. 4 in Table 1, each rooted cutting was transplanted to a 570 ml-pot containing a mixture of red soil (Kunigami-maaji), manure compost, and Canadian peat moss. b: Percentage of the rooted cuttings that survived the experimental period. Values with the same letter are not significantly different (Fisher's exact tests followed by FDR adjustment, P = 0.05). c: Mean  $\pm$  SE. Values with the same letter are not significantly different (Tukey-Kramer HSD test, P = 0.05). d: Length of the longest stem (usually including the initial cutting length) at the end of the experiment. e: Sum of the number of main stem (including the initial cutting) and of other stems that newly branched during the experimental period. f: Total number of lateral branches (see Fig. 2) with at least one leaf at the end of the experiment. g: Total number of leaves on all stems and branches at the end of the experiment.

部  $(C \cdot D)$  が大きく、ほふく茎の各部位  $(E \sim G)$ との有意差はなかったが、4回目の試験ではほふく 茎の各部位 (E・F) が大きくなり、よじのぼり茎中 間部(C)とは有意差がなかった(ただしE・FとC との間にも有意差なし). 茎数については、よじの ぼり茎とほふく茎の、ともに中間部 (C・D・F・G) が,一貫してよじのぼり茎先端部(B)よりも多く, ほふく茎先端部(E)については、中間部と比べて 少ない場合(1回目の試験)と有意差がない場合(4 回目の試験)があった.側枝数については、よじの ぼり茎とほふく茎の間に顕著な差がみられ, 前者で は苗あたり平均で4本前後の側枝を発生させていた のに対し、後者ではほとんどあるいは全く発生さ せていなかった. 1回目の試験では、よじのぼり茎 の先端部 (B) と中間部 (C·D) の間で側枝数に有 意差はなかったが、4回目の試験では、前者の側枝 数が後者のそれより少なかった. 葉数については, 一貫してよじのぼり茎中間部(C·D)で最も多く, よじのぼり茎先端部(B)ではこれらより少なかっ た. ほふく茎の各部位  $(E \sim G)$  については、葉数 がよじのぼり茎中間部 (C·D) と比べて少ない場 合(1回目の試験)と同等である場合(4回目の試験) があった. また1回目の試験では、ほふく茎先端 部(E)の葉数が、中間部(F·G)と比べて少なかった. 以上のように、本研究によって、ヒハツモドキの

どの部位を挿し穂に用いるかによって, 発根やその 後の初期生育が顕著に異なることが明らかになり, 本種の増殖法確立の上で重要となるデータが得られ た. 今回試験に用いた各部位の中で, 側枝先端部(A) は、その発根率が著しく低く、また発根が認められ た場合でも根が少なく短いため、挿し穂としては最 も適さないと考えられる.一方,よじのぼり茎中間 部(C·D)は,発根と初期生育に関するすべてのデー タにおいて,ほぼ一貫して最も数値が高く,したがっ て現時点では挿し穂として最も適した部位であると 言える. これらに続いて発根等が優れたのが、ほふ く茎の各部位  $(E \sim G)$  である. これらの部位とよ じのぼり茎中間部を比較した場合, 発根数について は劣ることがほとんどであったものの, 発根率につ いては1回の試験を除けば同等であり、最大根長に おいては勝る場合もあった. ただし, ほふく茎の各 部位由来の苗には、発根した挿し穂の移植から40 ~50日後においても側枝の発生がほとんど認めら れないため、これが欠点となる可能性はある. すな わち、果穂の発生は側枝だけに認められるため、ほ ふく茎由来の株の果穂の収穫開始時期は, よじのぼ り茎由来の株よりも遅れる可能性があり、 また果穂 の収量も低くなるかもしれない. これらの点を明ら かにするためには、苗移植後の生育や収量について 長期的な比較を行う必要がある.

Table 3. Relationships between the number of nodes of cuttings of *Piper retrofractum* and their subsequent rooting

Plant parts used <sup>a</sup> / experiment No. (period)/ No. of nodes <sup>b</sup>	N	Cutting length (cm) <sup>c</sup>	% rooting <sup>d</sup>	No. of roots (rank) <sup>d</sup>	Maximum root length (cm) <sup>d</sup>
Climbing stem					
Exp. 1 (1 Aug5 Sep., 20	14)				
1	38	0.00	100.0 a	$3.58 \pm 0.12$ a	$2.16 \pm 0.14$ a
2	39	$5.16 \pm 0.17$	100.0 a	$3.82 \pm 0.12$ a	$2.87 \pm 0.18 \text{ b}$
3	38	$10.62 \pm 0.35$	92.1 a	$3.97 \pm 0.03$ a	$3.56 \pm 0.22 \text{ c}$
4	38	$16.07 \pm 0.34$	97.4 a	$3.86 \pm 0.10 \text{ a}$	$4.02 \pm 0.20$ c
Exp. 2 (13 Nov18 Dec.,		10.07 ± 0.54	77. <del>4</del> a	5.00 = 0.10 <b>u</b>	1.02 = 0.20 0
1	49	0.00	98.0 a	$3.69 \pm 0.11$ a	$1.14 \pm 0.07$ a
2	49	$4.57 \pm 0.12$	98.0 a	$3.90 \pm 0.07$ a	$1.26 \pm 0.10$ a
3	48	$8.87 \pm 0.12$	97.9 a	$3.79 \pm 0.11 \text{ a}$	$1.40 \pm 0.09 \text{ a}$
4	48	$13.93 \pm 0.27$	97.9 a	$3.57 \pm 0.11$ a $3.57 \pm 0.13$ a	$1.39 \pm 0.11 \text{ a}$
Creeping stem	40	13.73 ± 0.27	71.7 a	3.37 ± 0.13 a	1.55 ± 0.11 u
Exp. 1 (4 Aug8 Sep., 20	14)				
1	53	0.00	100.0 a	$2.58 \pm 0.12$ a	$4.76 \pm 0.17$ a
2	51	$3.27 \pm 0.11$	100.0 a	$2.94 \pm 0.17$ a	$4.94 \pm 0.26$ a
3	51	$6.72 \pm 0.21$	94.1 ab	$2.81 \pm 0.17$ a	$5.29 \pm 0.24 \text{ a}$
4	50	$9.68 \pm 0.38$	86.0 bc	$2.42 \pm 0.18$ a	$4.75 \pm 0.35$ a
5	50	$12.55 \pm 0.41$	68.0 c	$2.62 \pm 0.23$ a	$4.72 \pm 0.46$ a
Exp. 2 (13 Nov18 Dec.,	-		00.0 €	2.02 = 0.23 a	1.72 = 0.10 u
1	51	0.00	74.5 ab	$1.84 \pm 0.18$ a	$1.41 \pm 0.19$ a
2	51	$3.43 \pm 0.12$	80.4 a	$2.22 \pm 0.16$ a	$1.72 \pm 0.18$ a
3	51	$6.99 \pm 0.12$	72.6 ab	$2.11 \pm 0.18 \text{ a}$	$1.56 \pm 0.17$ a
4	51	$10.02 \pm 0.23$	64.7 ab	$2.55 \pm 0.19 \text{ a}$	$1.71 \pm 0.20$ a
5	51	$13.87 \pm 0.37$	51.0 b	$2.04 \pm 0.19 \text{ a}$	$1.71 \pm 0.20 \text{ a}$ $1.58 \pm 0.28 \text{ a}$
	31	13.07 ± 0.37	31.00	2.04 ± 0.21 a	1.30 ± 0.20 a

a: See Fig. 2 for the plant parts. For both types of stems, those excluding the two apical nodes were used. b: Stems were cut into pieces with varying numbers of nodes as shown in Fig. 2g. c: Mean  $\pm$  SE of linear distance between the uppermost and the undermost nodes of the cutting at the start of the experiment. For cuttings with one node, this length is regarded as zero due to lack of internodes. d: See Table 1 for explanations.

また、よじのぼり茎の先端部 (B) は、側枝先端 部(A)よりは発根について有意に優れてはいるも のの, よじのぼり茎中間部 (C・D) と比べると発 根や初期生育に関して劣る場合が多かったため, 挿 し穂としてはあまり適さないだろう. 一方で、ほふ く茎の先端部(E)と中間部(F・G)の間には、よ じのぼり茎で観察されたような特性の差はみられな かった. すなわち, 発根については先端・中間部間 に有意差がみられることはなく, 初期生育に関して は,1回の試験において,先端部の茎数と葉数が中 間部に劣ったのみであった. 挿し木による増殖を 行う際に,植物体の茎・枝の先端部を用いる場合 (すなわち, 天挿し) と中間部を用いる場合(管挿 し)のいずれが発根において優れるかは、植物種に よって異なる (たとえば, Reynoso et al., 2001; 山田ら, 2007; 水島, 2013). ヒハツモドキの場合では, この 点は使用する茎の種類によっても異なる(すなわ ち,よじのぼり茎を用いる場合では管挿しのほうが 好ましいが, ほふく茎を用いる場合ではどちらでも よい)ことがわかり、たいへん興味深い、こうした 部位間での挿し穂としての適性の差は, 何らかの生 理的あるいは物理的性質の差に起因すると思われるが,現時点ではその原因は不明であるため,今後詳しく調べる必要があるだろう.

なお、側枝先端部 (A) については、今回の結果からは挿し穂として適さないと判定されたが、一方でこの部位は、よじのぼり茎中間部から3節の挿し穂を1本切り出す場合に、多くて同時に3本得られる (Fig. 2). この点で、今後側枝も挿し穂として利用できるようになれば、増殖効率をかなり高められることが期待される. このために、発根促進剤の利用等により、側枝の発根率を高める試みを進めることには価値があるだろう.

#### 最適な挿し穂の節数

Table 3 に、互いに節数が異なる挿し穂の発根に関するデータを要約した。よじのぼり茎中間部を用いた試験では、2 回の試験とも、 $1 \sim 4$  節の挿し穂間に発根率と発根数の有意差はみられなかった。最大根長については、1 回目の試験でのみ、節数が多くなるほど長くなる傾向がみられ、 $3 \sim 4$  節のものが $1 \sim 2$  節よりも長くなった。一方で、ほふく茎中間

Table 4. Effects of leaf excision from cuttings of Piper retrofractum on subsequent rooting

Plant parts used <sup>a</sup> / experiment No. (period)/ treatment <sup>b</sup>	N	Cutting length (cm) <sup>c</sup>	% rooting <sup>c</sup>	No. of roots (rank) <sup>c</sup>	Maximum root length (cm) <sup>e</sup>
Climbing stem					
Exp. 1 (9 Oct13 Nov., 20	13)				
NE	24	$8.80 \pm 0.32$ a	100.0 a	$3.67 \pm 0.17$ a	$2.97 \pm 0.25$ a
PE	24	$8.68 \pm 0.25$ a	100.0 a	$3.67 \pm 0.17$ a	$2.14 \pm 0.21 \text{ b}$
AE	24	$8.43 \pm 0.28 a$	25.0 b	$1.83 \pm 0.48 b$	$0.20 \pm 0.05$ c
Exp. 2 (15 Apr20 May, 2	014)				
NE	17	$8.67 \pm 0.37$ a	88.2 a	$3.93 \pm 0.07$ a	$3.09 \pm 0.29$ a
PE	17	$9.08 \pm 0.49 a$	88.2 a	$3.40 \pm 0.25$ a	$2.11 \pm 0.27 b$
AE	17	$9.04 \pm 0.36$ a	17.7 b	$1.67 \pm 0.67 b$	$0.23 \pm 0.03$ c
Lateral branch					
Exp. 1 (1 Aug5 Sep., 201	4)				
NE	51	$4.96 \pm 0.15$ a	7.8 a	$1.25 \pm 0.25$ a	$0.10 \pm 0.00 \text{ a}$
PE	51	$5.13 \pm 0.15$ a	3.9 a	$1.00 \pm 0.00$ a	$0.80 \pm 0.70 \text{ a}$
AE	51	$5.08\pm0.18~a$	2.0 a	1.00	0.30
Exp. 2 (17 Oct21 Nov., 2	014)				
NE	23	$5.04 \pm 0.23$ a	4.4 a	1.00	0.60
PE	23	$4.80 \pm 0.24 a$	0.0 a	No data	No data
AE	24	$5.47 \pm 0.28 a$	0.0 a	No data	No data

a: See Fig. 2 for the plant parts. For climbing stems, those excluding the two apical nodes were cut into pieces with three nodes each and used as cuttings. For the lateral branches, the three apical nodes were cut off and used as cuttings. b: NE, leaves not excised (control); PE, leaves partially excised (cut at the maximum breadth) as shown in Fig. 3h (center); AE, all leaves, including petioles, were excised as shown in Fig. 3h (right). c: See Table 1 for explanations.

部を用いた試験では、2回の試験を通じて、 $1\sim5$ 節の挿し穂間に発根数と最大根長の有意差はみられなかったが、発根率については節数が多くなるほど低くなる傾向がみられた。特に、1回目の試験では $1\sim2$ 節の挿し穂と $4\sim5$ 節の挿し穂の間で発根率が異なり、2回目の試験では2節の挿し穂と5節の挿し穂の間で発根率が異なった。

このように、本試験によって、挿し穂の節数と発 根との関係が, 茎の種類によって異なることが明ら かになった. すなわち, 今回試した節数の範囲内に おいては, よじのぼり茎では節数が多いほうが安定 して根の伸長が優れ, ほふく茎では節数が少ないほ うが発根率が優れる傾向があるという興味深い結果 が得られた. このような差異をもたらす原因につい ては現時点では不明であり、今後追及されるべきで ある. よじのぼり茎については、より節数を増やせ ばさらに根の伸長がよくなる可能性はあるが,5節 以上の挿し穂を用いる場合, 今回供試した挿し木培 地では,いったん挿して固定した後も,風や運搬時 の揺れ, 挿し穂の自重等によって緩みやすく (筆者 らの経験による),したがって取扱いのしやすさの 面で難がある. このため、よじのぼり茎を挿し穂に 用いる場合には3~4節が適していると言える. 一 方ほふく茎では、4節以上だと発根率が有意に劣る 場合があるため、発根率だけに着目すれば、3節以 内が好ましいと考えられる. しかし, 1節のみの挿 し穂には節間がないために、これをセルトレイから 取り出す際には葉をつまんで持ち上げなければならず、この時にしばしば葉をちぎってしまうことがあるため (筆者らの経験による)、やはり取扱いのしやすさに難がある.したがって、ほふく茎を挿し穂に用いる場合には2~3節が適しているだろう.なお、今回の試験では、挿し穂の節数を変えた結果、挿し穂の長さと葉数の双方が同時に変わっているため、いずれの要因が発根率や根の長さの違いにより強く寄与しているのかは不明であり、この点はさらに追究する必要があるだろう.

インドネシアでの研究結果を見ると, Januwati and Effendi (1992) は, sulur vertikal (垂直な蔓;図示され ていないが、おそらくよじのぼり茎に相当)の1節 から3節の挿し穂を土・砂等の混合物に挿し木した 場合,3節のものが根や茎の生長において優れると 述べており、よじのぼり茎では3~4節のものが1 ~2節のものよりも根の伸長が優れる場合があると する本研究の結果と一致する. したがって, このよ うな傾向は挿し木培地の種類によらず安定したもの であると考えられる. 一方, Darwati et al. (1991) は, 挿し穂の節数と土への挿し木後の株の生育との関 係を調べ、3節よりも1~2節のほうが生育が優れ ると述べており、この点で Januwati and Effendi (1992) とは異なる. Darwati et al. (1991) では, どの部位を 挿し穂としたのかが明記されていないが、用いた 部位が Januwati and Effendi (1992) とは異なったため, 結果も異なったという可能性もある. 今後はよじの

ぼり茎とほふく茎の双方について, 挿し穂の節数と 挿し木後の株の生育との関係も明らかにする必要が あるだろう.

### 挿し穂の葉切除の必要性

Table 4 に、試験に用いた挿し穂の長さ、および挿し穂の葉の全切除あるいは部分切除が発根に及ぼす影響に関するデータを要約した. 挿し穂長に処理区間での有意差がみられることはなかったため、区間でこの値には偏りがなかったとみなすことができる. よじのぼり茎中間 3 節を用いた試験では、2 回の試験とも、全切除(AE)区の発根率と最大根長が他の2 区よりも劣り、さらに最大根長については部分切除(PE)区も対照(NE)区より劣るという結果となった. 側枝先端3節を用いた試験では、全切除(AE)・部分的切除(PE)とも、発根率、発根数あるいは最大根長のいずれにも有意な向上効果を示すことはなかった.

このように、今回供試した2種の挿し穂について

は、葉の切除が発根に好ましい影響を及ぼすことはなかったため、今回の実験条件下では、葉からの、大がって、とれていと考えられる。したがって、ヒハツモドキのよじのぼり茎に関しては、挿したない場合は、葉の切除は行っない場合は、葉の切除は行ってもよいがある場合、ののがあるば行ってもよいかもしれないが、こののがならば行ってもよいかを表表であると発根をできると発根をの生育等に及ぼす影響にないては、今後詳しく調べる必要があるだろう。なお、側枝の発根の向上について今後追及する価値はよることは、今後詳しく調べる必要があるだろう。なお、側枝の発根の向上についてあるが、葉の切除はこれの一手段として適さないことが、本試験の結果から結論できる.

### 挿し木に適する時期

Table 5 に、挿し木前の挿し穂長と挿し木後の発根を時期間で比較するためのデータを、挿し木部位別

Table 5 Relationships between the rooting of *Piper retrofractum* cuttings and the season when the cutting was implemented

			C	•	
Plant parts used <sup>a</sup> /experimental period	N	Cutting length (cm) <sup>b</sup>	% rooting <sup>b</sup>	No. of roots (rank) <sup>b</sup>	Maximum root length (cm) <sup>b</sup>
Apical part of lateral b	oranch (	(A)			
JulAug., 2013	38	$6.39 \pm 0.20 \text{ d}$	2.6 a	1.00	0.30
OctNov., 2013	51	$5.20 \pm 0.18$ c	23.5 a	$1.08 \pm 0.08$ a	$1.67 \pm 0.33$ b
JanMar., 2014	14	$3.39 \pm 0.18 a$	0.0 a	No data	No data
AprMay, 2014	14	$4.01 \pm 0.27$ ab	0.0 a	No data	No data
AugSep., 2014	51	$4.96 \pm 0.15$ bc	7.8 a	$1.25 \pm 0.25$ a	$0.10 \pm 0.00$ a
OctNov., 2014	23	$5.04 \pm 0.23$ c	4.4 a	1.00	0.60
Apical part of climbin	g stem	(B)			
JulAug., 2013	25	$7.37 \pm 0.18$ c	68.0 ab	$3.47 \pm 0.24$ c	$1.89 \pm 0.24 b$
OctNov., 2013	45	$7.44 \pm 0.26$ c	97.8 c	$2.59 \pm 0.16 \text{ b}$	$1.93 \pm 0.17 b$
JanMar., 2014	27	$4.10\pm0.18~a$	40.7 a	$1.64 \pm 0.34$ a	$0.49 \pm 0.11$ a
AprMay, 2014	46	$5.39 \pm 0.19$ b	87.0 bc	$2.03 \pm 0.13$ a	$3.12 \pm 1.17$ c
Intermediate part of cl	limbing	stem (C and D)			
JulAug., 2013	44	$10.22 \pm 0.21$ c	90.9 ab	$3.90 \pm 0.07  b$	$3.66 \pm 0.23 b$
OctNov., 2013	92	$9.88 \pm 0.19$ c	97.8 b	$3.84 \pm 0.06 b$	$3.64 \pm 0.13$ b
JanMar., 2014	22	$6.44 \pm 0.19$ a	77.3 a	$2.71 \pm 0.29$ a	$0.68 \pm 0.08$ a
AprMay, 2014	47	$7.95 \pm 0.14 \text{ b}$	100.0 b	$3.89 \pm 0.08 b$	$4.98 \pm 0.13$ c
AugSep., 2014	38	$10.62 \pm 0.35$ c	92.1 ab	$3.97 \pm 0.03 \text{ b}$	$3.56 \pm 0.22$ b
NovDec., 2014	48	$8.87 \pm 0.19 b$	97.9 ab	$3.79 \pm 0.11 b$	$1.40 \pm 0.09$ a
Apical part of creepin	g stem	(E)			
JulAug., 2013	36	$4.61 \pm 0.18 b$	75.0 b	$3.11 \pm 0.20$ c	$4.31 \pm 0.31$ b
OctNov., 2013	28	$4.67 \pm 0.29 \text{ b}$	92.9 b	$2.19 \pm 0.21 \text{ b}$	$4.19 \pm 0.34 \text{ b}$
JanMar., 2014	29	$2.97 \pm 0.20$ a	41.4 a	$1.08 \pm 0.08$ a	$0.63 \pm 0.18$ a
AprMay, 2014	27	$4.06 \pm 0.20 \text{ b}$	92.6 b	$1.92 \pm 0.18 \text{ b}$	$5.07 \pm 1.66 \text{ b}$
Intermediate part of ci	reeping	stem (F and G)			
JulAug., 2013	61	$6.66 \pm 0.19$ c	82.0 bc	$2.82 \pm 0.16$ c	$4.62 \pm 0.24$ b
OctNov., 2013	39	$6.18 \pm 0.26$ bc	97.4 d	$2.26 \pm 0.15$ b	$4.97 \pm 0.29  b$
JanMar., 2014	24	$4.48 \pm 0.28 \ a$	20.8 a	$1.20 \pm 0.20$ a	$0.68 \pm 0.43$ a
AprMay, 2014	19	$5.14 \pm 0.32 \text{ ab}$	89.5 bc	$1.76 \pm 0.24$ ab	$4.92 \pm 0.27 b$
AugSep., 2014	51	$6.72 \pm 0.21$ c	94.1 cd	$2.81 \pm 0.17$ c	$5.29 \pm 0.24$ b
NovDec., 2014	51	$6.99 \pm 0.25$ c	72.5 b	$2.11 \pm 0.18$ ab	$1.56 \pm 0.17$ a

a: See Fig. 2 for the plant parts. Data from parts C and D were combined into one group, and those from F and G were combined into another group. b: See Table 1 for explanations.

に要約した.

側枝先端部 (A) においては、全試験期間を通じて発根率が低く、時期間で発根率が有意に異なることはなかった。複数の挿し穂に発根がみられた2013 年の秋期( $10\sim11$  月)と 2014 年の夏秋期( $8\sim9$  月)のデータを比較すると、発根数には有意差がみられなかったが、最大根長は前者のほうが大きかった。この原因については現時点では不明であるが、後者の期間のほうが明らかに日平均気温が高かったため (Fig. 1)、これが根の伸長を阻害した可能性はある。

よじのぼり茎先端部(部位B)においては、冬春 期 (2014年1~3月) の発根率が他の時期に劣り (た だし2013年7~8月とは有意差がない), また最大 根長も他の時期より劣った. このため, 冬期に特有 の環境要因 (たとえば, 低温) が発根やその後の根 の伸長を阻害した可能性がある. しかしながら, 冬 期では同時に、供試した挿し穂の長さが他の時期よ りも小さかった. このため、挿し穂のサイズが小さ いことによる栄養面等での不利さが、発根に反映さ れた可能性も残る.他の時期に着目すると,夏期 (2013年7~8月) においては, 発根率は秋期(同 年10~11月)より低く春期(2014年4~5月)と 同等であったが、発根数は両時期に勝り、最大根長 は秋期と同等であったが春期には劣った. これらの 結果は、高温時には発根数は増えるものの、上述の 側枝先端部の場合でも示唆されたように, 根の伸長 阻害が起こることを示唆しているのかもしれない. ただし, ここでも挿し穂長が春期と夏~秋期の間で 異なっていたため、結果の解釈には注意が必要であ

よじのぼり茎中間部 (C・D) においては、2014 年の冬春期(1~3月)の発根率と最大根長が他の いくつかの時期より劣り, 発根数は他のすべての時 期より劣った. また, 2014年の秋冬期 (11~12月) の最大根長も同様に、他の春~秋期の場合より劣っ た. このため、上述の先端部の場合と同様に、低 温等が発根や根の伸長を阻害した可能性があるが, 2014年の冬春期では挿し穂のサイズが他の時期よ り小さいことが同時に影響した可能性も残る. 一方 で,2014年秋冬期(11~12月)の挿し穂長は,少 なくとも同年春期(4~5月)のものと同等であり、 したがってこの場合では、冬期における根の伸長程 度の低下と挿し穂のサイズは関係していないと考え られる. また、春期の最大根長が他の時期より優れ たという点も先端部と同様であったが, 一方で夏期 の発根数が他の時期より多いという, 先端部でみら れた傾向はみられなかったため, 部位間で気温等の 環境条件への反応性が異なる可能性がある. しかし ながら,中間部の発根数ランクの平均値は,冬期を

除けばいずれの時期においても4に近く,これは,ほとんどの挿し穂で10本以上の発根がみられたことを示している。今回の調査法では,10本以上の発根がみられた挿し穂間での発根数の差は検出できないため、実際には夏期においてより発根が多かった可能性も否定できず,この点は今後詳しく調べる必要がある。

ほふく茎先端部(E)においては、冬春期(2014 年1~3月)の発根率,発根数および最大根長のい ずれも他の時期に劣っていたが、 挿し穂長も他の時 期より小さかったため、これが同時に発根に影響し た可能性も残る. また,発根数においては夏期(2013 年7~8月)が他の時期に勝るという、よじのぼり 茎先端部と同様の傾向がみられた。 ほふく茎中間部  $(F \cdot G)$  においても類似した傾向がみられ, 2014 年 の冬春期 (1~3月) と秋冬期 (11~12月) の発 根率や発根数,最大根長が他の時期に劣る場合が多 かった. 挿し穂長については、よじのぼり茎中間部 と類似した傾向がみられ、2014年冬春期のものは他 のいくつかの時期より小さかったが、2014年秋冬 期ではそのようなことはなく, むしろ他の時期より 大きい場合があった. 夏秋期 (2013年7~8月およ び2014年8~9月)の発根数もまた、よじのぼり 茎・ほふく系の先端部と同様に、他の時期に勝って いた.

以上の結果を総合すると,全試験期間を通じて発 根率が低かった側枝先端部を除けば, いずれの部位 においても, 冬期を含む時期に挿し木した場合, 発 根率・発根数・最大根長のうち少なくともひとつが 他の時期に劣るという結果となった. よじのぼり茎 とほふく茎の先端部については, 冬期の試験で供試 した挿し穂が他の時期のものより小さかったため, これが冬期特有の環境要因(低温等)と同時に発根 に影響した可能性を排除できなかったものの, それ らの中間部については必ずしもそうではなかったた め、少なくともこれらの部位については、冬期は挿 し木に適していないと結論してよいだろう. 春から 秋の期間のうちどの時期が挿し木に適するかという 点については、いくつかの部位で夏期に発根数が多 くなる傾向がみられたものの, 最大根長については 夏期が春期あるいは秋期に劣る場合もみられたた め、今回の結果からは結論できない. この点につい ては、挿し木時期と、その後の生育や収穫に関する 諸特性との関係を明らかにした上で再検討する必要 がある.

### 謝辞

試験準備や育苗施設の管理、データ取得等の作業を手伝って下さった沖縄県農業研究センター石垣支所の宮里 進、東嘉弥真勇人、宮平米浩、登野城泰佑、福本 光、大山朋美、野崎真由、大濵俊三、平良直美、岸本光邦、豊平康友の諸氏、オアシス®を用いた育苗法についてご教示いただいた石垣市在住の玉城真男氏および藤原政之氏、ならびにインドネシアの文献収集に協力してくださったインドネシア香辛料・薬用植物研究所のOtih Rostiana 博士に厚くお礼申し上げる。本研究は沖縄振興特別推進交付金による「うちな一島ヤサイ商品化支援技術開発事業」の一環として行われた。

### 引用文献

- Banerjia, A., M. Sarkara, R. Dattaa, P. Senguptaa, and K. Abrahamb (2002) Amides from *Piper brachystachyum* and *Piper retrofractum*. Phytochemistry 59: 897-901.
- Benjamini, Y. and Y. Hochberg (1995) Controlling the false discovery rate: a practical and powerful approach to multiple testing. J. Royal Stat. Soc., Ser. B, Stat. Methodol. 57: 289-300.
- Chaveerach, A., P. Mokkamul, R. Sudmoon, and T. Tanee (2006) Ethnobotany of the genus *Piper* in Thailand. Ethnobotany Research and Applications 4: 223-231.
- Darwati, I., S. M. D. Rosita, G. Bangun, and T. Handayani (1991) Effect of triacontanol and number of internodes on growth of cutting of long pepper (*Piper retrofractum* Vahl.). Bul. Littro. (Indonesia) 6: 39-46. (in Indonesian with English abstract)
- Djauhariya, E. and R. Rosman (2008) Technology status of Java long pepper. Perkembangan Teknologi Tanaman Rempah dan Obat (Indonesia) 20: 75-90. (in Indonesian with English abstract)
- Evizal, R. (2013) Development of pharmacognosy and agro-technology of Java long pepper (*Piper retrofractum* Vahl.). Jurnal Agrotropika 18: 34-40. (in Indonesian with English abstract)
- Januwati, M. and D. S. Effendi (1992) Perbayakan vegetatif tanaman cabe jawa (*Piper retrofractum*) dan teknik penanamannya. Warta Tumbuhan Obat Indonesia 1: 15-16. (in Indonesian)
- Lim, T. K. (2012) Edible Medicinal and Non-Medicinal Plants: Volume 4, Fruits. Springer Netherlands (Dordrecht) p.439.
- 皆川礼子・中村武久 (1995) 琉球諸島のヒハツモドキの起源種に関する研究. 東京農業大学農学集報 40: 100-107.
- 水島智史 (2013) ウワバミソウ挿し穂の発根に及ぼす挿し 芽用土,挿し穂採取部位およびインドール酪酸処理 の影響. 園学研 12: 269-272.
- 成井孝雄・竹内幹尚・石井玲子・石田寿昌・奥山 徹 (1995)

- 沖縄産香辛料ヒハツモドキ Piper hancei の成分研究. Natural Medicines 49: 438-441.
- 大野 豪・根本明子・宮里 進・東嘉弥真勇人・宮城徳道・ 山城信哉・玉城盛俊 (2016) 沖縄県におけるヒハツモ ドキの地理的分布と生育環境の特徴, ならびに害虫 等による本種の被害・障害に関する予備的知見. 熱 帯農業研究 9: 1-11.
- Reynoso, G. A., A. Hasegawa, Y. Masuda and M. Goi (2001) Propagation of *Telopea speciosissima* from softwood cuttings. Tech. Bull. Fac. Agr. Kagawa Univ. 53: 67-69.
- 多和田真淳 (1981) 沖縄薬草 家庭栽培と薬効. 新星図書 出版 (那覇) p.447.
- Weiss, E. A. (2002) Spice Crops. CABI Publishing (Wallingford) p.429. 山田康裕・真崎修一・宮崎潤二・佐々木義則 (2007) 抵抗 性クロマツの挿し木増殖における管挿しと低温貯蔵 の検討. 九州森林研究 60: 125-127.
- 山門健一1996. 香りのまちづくり構想について. 沖大経済論叢19:1-2.

# Vegetative Propagation of Javanese Long Pepper, *Piper retrofractum* Vahl, by Cutting: Determination of Plant Parts, Number of Nodes, Degree of Leaf Excision, and Seasons Suitable for Cuttings

Suguru Ohno<sup>1\*</sup>, Akiko Nemoto<sup>1,2</sup> and Moritoshi Tamaki<sup>3</sup>

 Ishigaki Branch, Okinawa Prefectural Agricultural Research Center (\*Present affiliation: Okinawa Prefectural Plant Protection Center)
 Ryukyusankei Co.Ltd.
 Okinawa Prefectural Agricultural Research Center

### Abstract

The Javanese long pepper, *Piper retrofractum*, has been used as a traditional spice and medicinal plant in the Ryukyu Archipelago including Okinawa Prefecture, southwestern Japan. Recently, this plant has been focused on for its functionality, but its cultivation technique is not well-developed. To establish a propagation technique for *P. retrofractum* by cutting, we conducted a series of experiments to determine plant parts, number of nodes, degree of leaf excision, and seasons suitable for cuttings. The lateral branch, climbing stem, and creeping stem were tested. The apical part of the lateral branch was not suitable for cutting due to its lower rooting percentage (<24%). The apical part of the climbing stem also seems unsuitable because its rooting traits were sometimes inferior to those of the other parts tested. The intermediate part of the climbing stem was consistently superior in not only rooting traits, including rooting percentage (>77%), but also in traits for early growth of the rooted nursery plant, indicating its suitability for cuttings. For the creeping stem, both the apical and intermediate parts were generally good for rooting and early growth, demonstrating their suitability for cuttings; however, in some cases, they were inferior to the intermediate part of the climbing stem. The optimum number of nodes for cutting varied between the climbing and creeping stems: three to four nodes and two to three nodes were suitable for the former and for the latter, respectively, in terms of their rooting traits and ease of handling. With respect to leaf excision, both partial and full excisions from the climbing stems resulted in poor rooting, and excision from the lateral branches did not improve rooting. These results indicate that leaf excision is unnecessary for *P. retrofractum* cutting. As the rooting traits in winter were overall inferior to those of other seasons, *P. retrofractum* cuttings should be grown from spring to autumn

Keywords: Artificial propagation, cuttage, Piperaceae, Ryukyus, Yaeyama region

### 原著論文

### 沖縄県におけるサツマイモトビハムシの分布状況とその寄主植物

小濱継雄 1\* · 安藤緑樹 2\*

沖縄県農業研究センター病虫管理技術開発班 (1\* 現所属:琉球大学博物館(風樹館)) (2\* 現所属:沖縄県農林水産部農林水産総務課)

### 要 約

サツマイモトビハムシ(甲虫目,ハムシ科)は、北米原産のサツマイモの害虫である。筆者らは沖縄県において本種の分布状況と寄主植物を調査した。その結果、本種は沖縄諸島から八重山諸島にかけてと大東諸島に広く分布することがわかった。本種の寄主植物として、サツマイモやョウサイを含む7種を確認した。そのうち、ノアサガオ、ホシアサガオ、ヒメノアサガオおよびネコアサガオの4種は国内で初めて本種の寄主として記録された。

キーワード:ヒルガオ科,外来害虫,サツマイモ属,琉球列島

### 緒言

北米原産のサツマイモトビハムシ (Chaetocnema confinis Crotch, 1873) は、サツマイモ (Ipomoea batatas (L.) Lam.) の重要害虫であり (Schalk et al, 1991; Jolivet, 2008)、甲虫目、ハムシ科に属し、別名でサツマイモヒサゴトビハムシとも呼称され、成虫の体サイズは 1.5mm 程度と微小である (Fig. 1). 本種は北米および世界の熱帯地域にまで広く分布し、日本では、小笠原諸島、九州 (宮崎県・鹿児島県) および琉球列島での分布が記録されている (Takizawa, 1998; 今坂・祝, 2007; 小濱, 2010; 今坂・石関, 2012; 宮



Fig. 1. Specimen of adult sweetpotato flea beetle, *Chaetocnema confinis* Crotch (Dana, Iheya-jima Island, 3. Sep. 2014)

崎県病害虫防除・肥料検査センター,2012;東京都病害虫防除所,2012). 本種の寄主としては、サツマイモ、ヨウサイ(*I. aquatica* Forsk.)、ノアサガオ(*I. indica* (Burm.) Merr.)、マルバアサガオ(*I. purpurea* Roth)、セイヨウヒルガオ(*Convolvulus arvensis* L.) などヒルガオ科植物が知られている(Jolivet,2008; Majka and LeSage, 2010).

最近, 種子島では本種幼虫によるサツマイモ塊根 への加害が問題となっており(林川ら,2013;林川ら, 2014), また種子島や沖縄島などでは成虫によるサ ツマイモの葉への食害が報告されている (田中ら, 1990; 小濱, 2010). さらには小笠原諸島父島や沖 縄島においては成虫によるヨウサイの葉への食害も 報告されている(今坂・石関,2012;東京都病害虫 防除所,2012). 今後,沖縄県において本種による サツマイモやヨウサイへの被害が拡大する可能性が あるが, 防除対策を実施する上で基礎的な知見とな りうる本種の分布状況や寄主植物に関する情報は極 めて少ない. たとえば、本県で本種の分布が記録さ れているのは沖縄島,津堅島,久米島および石垣島 のわずか 4 島であり (小濱, 2010), また, 国内で 確認されている寄主植物は、サツマイモ、ヨウサイ およびグンバイヒルガオ (I. pes-caprae (L.) Sweet.) の 3種のみである(小濱, 2010; 今坂・石関, 2012; 東京都病害虫防除所,2012). そこで,本稿では本 県における本種の分布状況と寄主植物に関して新た な知見を得たので報告する.



Fig. 2. Sweet potato leaf damaged by the adults of *Chaetocnema confinis* Crotch (Ohgami-jima Island, Miyakojima City, 5. Mar. 2016)

### 材料および方法

2013年2月から2017年6月に沖縄県内の27島に おいて, サツマイモトビハムシの分布調査を行っ た. 27 島のうち複数回調査したのは、沖縄島(調 查回数4回), 渡名喜島(同2回), 黒島(同2回), 宮古島(同2回),多良間島(同2回)および宮 古諸島水納島(同2回)の6島で,残りの21島 については、それぞれ調査回数は1回のみであっ た. 本種成虫は寄主植物の葉を筋状に食害するため (Fig. 2) (田中ら, 1990;小濱, 2010;今坂・石関, 2012), 寄主となるサツマイモ (Ipomoea) 属植物を 対象に,成虫の食痕がある植物上で成虫を探索し, 成虫が認められた場合, 証拠標本として成虫を捕虫 網で捕獲した. また, 本種成虫とその食痕が認めら れた植物については成虫の寄主として記録し, さら に採集した成虫は持ち帰り標本を作製した. なお今 回の調査で得られた本種成虫の標本は, 琉球大学博 物館(風樹館)に収蔵されている.

### 結果および考察

調査した27島のうち、25島(沖縄諸島14島、宮古諸島4島、八重山諸島6島および大東諸島1島)でサツマイモトビハムシの分布が確認された(Table 1).25島のうち、すでに記録のある沖縄島と石垣島を除く23島で新たに本種が確認され、本種を確認できなかったのは、宮古諸島水納島(多良間村)と八重山諸島黒島の2島(それぞれ2回ずつ調査した)であった。これら2島の特徴として、島の大半が牛の放牧場になっており、サツマイモなど寄主植物がほとんど見られなかった点が挙げられる。水納

島では、牛の放牧場とは別に島全体にヤギが放し飼いにされており、草本を中心にヤギによる食害を激しく受けていた.水納島では2か所の砂浜でグイイヒルガオの小群落が見られただけで、サツマイモをとれたが見られただけで、サツマイモ画場はなく、サツマイモは1か所はは1からなでであり、ノアサガオももは2か所だけであった.以上のことから水納島と黒においては、寄主植物が乏しいためサツマイモ息においては、寄主植物が乏しいためサツマイモ息においては、寄主植物が乏しいためサツマイは生息においては、寄主植物がある.今回の分布調を上でいるいない明らかになった.

今回の調査で本種の寄主植物として, サツマイ モ, ヨウサイ, ノアサガオ, ホシアサガオ (I. triloba L.), ヒメノアサガオ (I. obscura (L.) Ker Gawl.), グ ンバイヒルガオおよびネコアサガオ (I. biflora (L.) Pers.) の7種を確認した (Table 1). そのうち, ノア サガオ, ホシアサガオ, ヒメノアサガオおよびネコ アサガオの4種は国内で初めて本種の寄主として記 録された. 本種の存在を確認したのは, 25 島の合 計 50 地点のうちサツマイモでは沖縄島など 18 島 19 地点, ヨウサイは沖縄島など6島6地点, ノアサガ オは沖縄島など16島18地点,ホシアサガオは沖縄 島など3島3地点,ヒメノアサガオ (南大東島のみ) とグンバイヒルガオ(大神島のみ),ネコアサガオ(来 間島のみ) はそれぞれ1島1地点であった (Table 1). これら7種のうち、サツマイモとヨウサイ以外は野 生寄主である. 野生寄主のうち, ノアサガオは調査 したほとんどの島において耕地周辺や原野において 最も多く生育しており、また上述のように多くの地 点で本種の存在が確認された. したがって, ノアサ ガオは本県における本種の最も重要な野生寄主と考 えられる.

長い間,本種はテンサイトビハムシ Chaetocnema concinna (Marsham, 1802) とされてきた(田中ら, 1990;木元・滝沢, 1994; Takizawa, 1998;小濱, 2010). 日本における本種の存在が確認されたのは比較的最近のことであり (Takizawa and Kushigemati, 1996; Takizawa, 1998),日本への侵入時期は明らかではないが、1976年9月に徳之島で得られた標本があることから (Takizawa, 1998),本種は少なくとも1970年代に日本(奄美諸島)に侵入したものと推察される。その後、1989年には種子島において本種成虫(当時はテンサイトビハムシとされていた)によるサツマイモの葉の被害が認められている(田中ら、1990)。本種によるサツマイモ塊根やヨウサイの被害が明らかになったのはごく最近のことであ

Table 1. Collecting data of *Chaetocnema confinis* in Okinawa, Japan

Locality	Collection date	No. of specimen	Collector	Adult host plant
OKINAWA ISLANDS				
Okinawa-jima Is.				
Nakijin, Kamiunten	4. May 2015	2exs.	T. Kohama	Ipomoea indica
Onna, Maeganeku	2. Feb. 2013	3exs.	T. Kohama	I. aquatica, I. batatas, I. indica
Onna, Onna	26. Oct. 2016	3exs.	T. Kohama	I. triloba
Ginowan, Samashita	7. Nov. 2014	4exs.	T. Kohama	I. triloba
Iheya-jima Is.				
Dana	3. Sep. 2014	3exs.	T. Kohama	I. indica
Maedomari	3. Sep. 2014	1ex.	T. Kohama	I. batatas
Noho-jima Is.	2. Sep. 2014	1ex.	T. Kohama	I. batatas
Izena-jima Is.	5. May 2015	4exs.	T. Kohama	I. batatas
Ie-jima Is.	7. Oct. 2015	4exs.	T. Kohama	I. indica, I. triloba
Kouri-jima Is.	6. May 2015	3exs.	T. Kohama	I. indica
Minna-jima Is.	11. Nov. 2013	3exs.	T. Kohama	I. batatas, I. indica
Ikei-jima Is.	9. Apr. 2015	5exs.	T. Kohama	I. batatas
Miyagi-jima Is.	9. Apr. 2015	4exs.	T. Kohama	I. indica
Hamahiga-jima Is.	9. Apr. 2015	6exs.	T. Kohama	I. indica
Kudaka-jima Is.	6. May 2013	2exs.	T. Kohama	I. batatas, I. indica
Zamami-jima Is.	16. Nov. 2014	3exs.	T. Kohama	I. batatas, I. indica
Aguni-jima Is.	16. Jun. 2013	4exs.	T. Kohama	I. batatas
Tonaki-jima Is.	29. Jun. 2017	5exs.	T. Kohama	I. indica
DAITOU ISLANDS				
Minamidaitou-jima Is.				
Kita	30. Jul. 2013	7exs.	K. Gotou	I. obscura
Kyutou	30. Jul. 2013	25exs.	K. Gotou	I. aquatica
Ikenosawa	30. Jul. 2013	12exs.	K. Gotou	I. batatas.
MIYAKO ISLANDS				
Miyako-jima Is.				
Fukuyama	25. Sep. 2014	2exs.	T. Kohama	I. triloba
Ohno-sanrin	9. Mar. 2013	3exs.	T. Kohama	I. batatas
Uipya	10. Mar. 2013	3exs.	T. Kohama	I. indica
Ohgami-jima Is	27. Apr. 2013	5exs.	T. Kohama	I. batatas, I. pes-caprae
Kurima-jima Is.	28. Sep. 2014	3exs.	T. Kohama	I. batatas, I. biflora
Tarama-jima Is.				
Nakasuji	17. Mar. 2013	2exs.	T. Kohama	I. aquatica
Futenma-kou	17. Mar. 2013	1ex.	T. Kohama	I. indica
Shiokawa	16. Nov. 2013	8exs.	T. Kohama	I. indica

YAEYAMA ISLANDS				
Ishigaki-jima Is.				
Arakawa	20. Feb. 2014	3exs.	T. Andou	I. indica
Ohhama	20. Feb. 2014	4exs.	T. Andou	I. batatas
Nagura	20. Feb. 2014	1ex.	T. Andou	I. batatas
Iriomote-jima Is.				
Ohhara	19. Feb. 2014	2exs.	T. Kohama	I. indica
Toyohara	19. Feb. 2014	2exs.	T. Kohama	I. aquatica, I. batatas
Taketomi-jima Is.	20. Feb. 2014	2exs.	T. Kohama	I. batatas
Kohama-jima Is.				
Kumazaki	20. Feb. 2014	3exs.	T. Andou	I. indica
Kohama-kou	20. Feb. 2014	2exs.	T. Andou	I. aquatica, I. batatas
Hateruma-jima Is.	17. Apr. 2016	4exs.	T. Kohama	I. aquatica, I. batatas
Yonaguni-jima Is.				
Tattagami	21. Feb. 2013	2exs.	T. Kohama	I. indica

り (今坂・石関, 2012;宮崎県病害虫防除・肥料検 査センター,2012;東京都病害虫防除所,2012;林 川ら、2013)、林川ら(2013)は、種子島において、 本種幼虫によるサツマイモ塊根の被害が最近まで見 過ごされていた可能性があると述べている. これま で,沖縄県においては本種幼虫によるサツマイモ塊 根の被害はほとんど問題になっていなかった. しか し, 今回の県内における本種の分布調査結果から推 察すると, 本県においても実際にはサツマイモで本 種の被害はあるが、種子島における状況と同様にそ の被害が見過ごされてきた可能性がある. その要 因として, 本県に分布するサツマイモ塊根の重要 害虫である, アリモドキゾウムシ (Cylas formicarius (Fabrius, 1798); ミツギリゾウムシ科) やイモゾウム シ (Euscepes postfasciatus (Fairmaire, 1849); ゾウムシ科) の被害に紛れて, 本種幼虫による被害が顕在化して いなかった可能性が考えられる. また成虫は体長約 1.5mm と微小であるため、食害も軽微で、成虫密度 が高くない場合、食痕が目立たないことから、本種 成虫によるヨウサイの被害も見過ごされてきた可能 性がある. したがって、今後本種によるサツマイモ やヨウサイでの被害が顕在化する可能性が懸念され るため, 本種の分布域や寄主範囲の詳細についてさ らに調査を継続する必要がある.

### 謝辞

南大東島産のサツマイモトビハムシ標本および寄 主植物についての情報を提供いただいた後藤健志 氏, 現地調査に協力いただいた比嘉実野氏および伊 礼有佳氏に厚くお礼申し上げる. また文献収集に協 力いただいた栗和田隆氏および長田勝氏にもお礼を 申し上げる.

### 引用文献

- 林川修二・福田 健・山下 進 (2014) サツマイモトビ ハムシ (*Chaetocnema confinis* Crotch) の生態と防除 2. 種 子島のサツマイモほ場におけるサツマイモトビハム シ幼虫の加害時期. 九病虫研会報 60: 64-67.
- 林川修二・嶽崎 研・福田 健・水島真一・山下 進 (2013) サツマイモトビハムシ (*Chaetocnema confinis* Crotch) の生 態と防除 1. サツマイモトビハムシ幼虫によるサツマ イモ塊根の被害. 九病虫研会報 59: 72-76.
- 今坂正一・石関 博 (2012) サツマイモヒサゴトビハム シのエンサイへの加害, および国内における分布と 単為生殖個体群の存在について. さやばねニューシ リーズ (5): 18-21.
- 今坂正一・祝 輝男 (2007) 喜界島で 2007 年に採集した 甲虫. Satsuma(137): 119-129.
- Jolivet, P. (2008) Sweetpotato flea beetle, *Chaetocnema confinis* (Coleoptera: Chrysomelidae: Alticinae). In: Encyclopedia of Entomology (Capinera, J. L. ed.). Springer Science+Business Media B. V.: pp.4. http://springerlink.com/content/h42257r043001884/fulltext.html (2017 年 9 月 30 日 ア ク セス確認)
- 木元新作・滝沢春雄 (1994) 日本産ハムシ類幼虫・成虫 分類図説. 東海大学出版会 (東京). pp. 539.

- 小濱継雄 (2010) 沖縄県におけるサツマイモの食葉性害虫. 沖縄県農研セ研報 (4): 27-31.
- Majka, C. G. and L. LeSage (2010) *Chaetocnema* flea beetles (Coleoptera: Chrysomelidae, Alticini) of the Maritime Province of Canada. J. Acad. Entomol. Soc. 6: 34-38.
- 宮崎県病害虫防除・肥料検査センター (2012) 平成23年 度病害虫発生予察特殊報第2号.pp.2.
- Schalk, J. M., A. Jones, P. D. Dukes, and J. K. Peterson (1991) Approaches to the control of multiple insect problems in sweet potato in the Southern United States. In: Jansson, R. K. and K. V. Raman (eds.) Sweet potato pest management: a global perspective. pp. 283-301. Westview Press, Boulder.
- Takizawa, H. (1998) Notes on Japanese Chrysomelidae (Coleoptera). Part 3. Elytra 26(1): 217-222.
- Takizawa, H. and K. Kusigemati (1996) Notes on Chrysomelidae of the Palau Islands. (Insecta, Coleoptera). Kagoshima Univ. Rec. Center S. Pac., Occasional Papers (30): 23-25.
- 田中 章・肥後三郎・上妻道紀 (1990) 種子島のサツマイモに発生したテンサイトビハムシについて. 九病虫研会報 36: 120-122.
- 東京都病害虫防除所(2012)平成24年度病害虫発生予察特殊報第2号.pp.2.

# Geographical distribution and host plants of the sweet potato flea beetle, *Chaetocnema confinis*Crotch (Coleoptera: Chrysomelidae) in Okinawa, Southwestern Japan.

Tsuguo Kohama<sup>1\*</sup> and Tsunaki Andou<sup>2\*</sup>

Okinawa Prefectural Agricultural Research Center (1\* Present affiliation: Ryukyu University Museum (Fujukan))

(2\* Present affiliation: Agriculture, Forestry and Fisheries General Administration Division, Okinawa Prefectural Government)

### Abstract

We surveyed the geographical distribution and host plants of *Chaetocnema confinis* Crotch, an exotic insect pest of sweet potatoes that originated in North America, in Okinawa, Southwestern Japan. *Chaetocnema confinis* was widely distributed from the Okinawan Islands to the Yaeyama and Daitou Islands. Seven *Ipomoea* (Convolvulaceae) species, including *I. batatas* (L.) Lam. and *I. aquatica* Forsk., were recorded as host plants of the beetle. Of those, *I. indica* (Burm.) Merr., I. *triloba* L., *I. obscura* (L.) Ker Gawl., and *I. biflora* (L.) Pers. were new hosts recorded in Japan.

Keywords: Convolvulaceae, exotic insect pest, Ipomoea, Ryukyu Islands

### 乳酸発酵によって GABA を強化した黒糖の開発

広瀬直人・前田剛希・照屋 亮・高良健作・和田浩二

乳酸発酵を利用して $\gamma$ -アミノ酪酸(GABA)を強化した黒糖を開発した。サトウキビ搾汁液にグルタミン酸ナトリウムと酵母エキスを添加し、Lactobacillus brevis NBRC 3345 を接種して  $30^{\circ}$ Cで乳酸発酵させた。L. brevis NBRC 3345 による GABA 生産には、サトウキビ搾汁液に酵母エキスの添加が必要であった。グルタミン酸ナトリウムと酵母エキスの最適添加濃度は、いずれも 0.2%であった。24 時間乳酸発酵させた搾汁液で製糖すると、GABA を 275 mg/100g 含有する黒糖を製造することができた。30 時間乳酸発酵させた搾汁液では、そのままでは固形の黒糖を製造できなかったが、1/4 量の新鮮な搾汁液を添加することで 302 mg/100g の GABA を含有する固形の黒糖を製造できた。

出典:日本食品保蔵科学会誌 43:269-273 (2017)

### サトウキビ搾汁粕から分離した GABA 強化黒糖製造に利用可能な乳酸菌

広瀬直人・前田剛希・照屋 亮・高良健作・和田浩二

サトウキビ搾汁粕より、GABA を生産する Enterococcus 属の乳酸菌 AG34 を分離した。AG34 は、GABA の生産に酵母エキスの添加を必要としなかった。サトウキビ搾汁液にグルタミン酸ナトリウムを 0.2%添加した培地に AG34 を接種して 30℃で 24 時間発酵させた後に製糖すると、GABA を 357.4 mg/100g 含有する黒糖を製造することができた。また、AG34 は黒糖の固形化を妨げる物質を生産しないことが示唆された。

出典:日本食品保蔵科学会誌 44:17-21 (2018)

# 異なる温度条件下における罹病枯死葉上のマンゴー炭疽病菌 Colletotrichum gloeosporioides の生存期間

### 澤岻哲也

異なる温度条件下におけるマンゴー罹病残渣葉上の炭疽病菌 Colletotrichum gloeosporioides の生存期間を調べた。その結果,罹病残渣葉上の分生子塊は,35℃の条件下では 120 日,25℃では 150 日,15℃では 210 日,10℃では 300 日以上生存した。また,各温度区の罹病残渣葉から分離した 4 菌株は,すべて果実へ病原性を示した。以上より,病原菌は罹病残渣葉上で長期間生存でき,温度が低いほど生存期間も長くなった。さらに長期生存中も病原性は欠落しなかった。このことから,ほ場の残渣はマンゴー炭疽病の伝染源になる可能性が示唆された。

出典:九州病害虫研究会報 61:16-19 (2015)

### 果梗部熱処理法によるマンゴー軸腐病の防除

澤岻哲也·比嘉 淳

マンゴー軸腐病に有効な収穫後の防除法を確立するために、ハンダゴテを用いた果梗部熱処理の防除効果について検討した. 熟度の異なるマンゴー果実における果梗から果実内部への病原菌の侵入過程を調べた結果、未熟果実と比較して収穫期の成熟果実で病原菌の進行は早く、接種12時間後には果梗から深さ15mmの果肉部まで達した. 果梗部熱処理の方法は、市販のハンダゴテの先端部を平らに切断し、果実の果梗部に加熱したハンダゴテの先端部を10秒間押し当てた. 病原菌を果梗に接種して3,6,12 および24時間後に果梗部熱処理を行った結果、接種3,6時間後の処理で有意に発病が抑制され、接種24時間後の処理では発病は抑制されなかった. このことから、効果的な防除効果を得るには、果実を収穫して6時間以内に熱処理行う必要があることが示された. また、現地試験において収穫3時間後に果梗部熱処理を行った結果、無処理と比較して高い発病抑制効果が認められ、果実品質の劣化もみられなかった. 以上より、果梗部熱処理は本病の防除法として有効であると考えられた.

出典:九州病害虫研究会報 60:48-52 (2014)

### ストロビルリン系薬剤耐性マンゴー炭疽病菌 Colletotrichum gloeosporioides の発生

澤岻哲也・嘉手苅佳太・新崎千江美・田場 聡

 $2009 \sim 2010$  年に沖縄県全域から採集したマンゴー炭疽病菌 Colletotrichum gloeosporioides 107 菌株のストロビルリン系薬剤に対する感受性を調査した。サリチルヒドロキサム酸(SHAM)とともにアゾキシストロビンおよびクレソキシムメチルを添加した PDA 培地を用いる寒天希釈平板法で評価した結果,最小生育阻止濃度(MIC 値)が 3000ppm 以上を示す耐性菌の 2 菌株が確認された。また,葉接種による生物検定では,2 菌株に対するアゾキシストロビン剤の防除効果は低かった。さらに,制限酵素 Fnu4HI を用いた PCR-RFLP 解析により,2 菌株の薬剤耐性に関与するチトクローム b 遺伝子の変異(コドン 143: G143A)が確認された。

出典: 日本植物病理学会報 80:119-123 (2014)

# 沖縄県におけるヒハツモドキの地理的分布と生育環境の特徴,ならびに害虫等による本種の被害・障害に関する予備的知見

大野 豪・根本明子・宮里 進・東嘉弥真勇人・宮城徳道・山城信哉・玉城盛俊

日本最西端に位置する八重山地域において古くから香辛料として利用されてきたコショウ科植物であるヒハツモドキの、沖縄県内における地理的分布と生育環境の特徴を調べた。本種は広い地域に分布することが確かめられたが、その出現頻度は地域間で異なっており、南西部の先島諸島(八重山地域を含む)では高頻度で発見されたが、北部の沖縄諸島ではやや稀であり、東部の大東諸島からは発見されなかった。本種は雌雄異株であるとされるが、今回の調査では野外で雄株が観察されることはなく、茎を採取して挿し木によって育成した株もすべて雌であったことから、沖縄県には雄株が分布しない可能性が高い。本種がみられるのはほぼ例外なく集落地や農地といった人為的に改変された環境であり、林縁等の自然植生から発見されることはほとんどなかった。茎が付着していた基質の素材としては、コンクリートやモルタル、石灰岩、樹木、木材が多く、金属類や合成樹脂類等の他の素材が利用されていることは稀であった。性判別のための株の育成の過程で、ハダニ科の一種ナンゴクナミハダニと、コナカイガラムシ科の未同定種の頻繁な発生が問題となった。これらの情報は、今後本種の栽培技術開発や有望系統選抜を進める上での重要な基礎となる。

出典: 熱帯農業研究 9:1-11 (2016)

# 沖縄県農業研究センター研究報告 第12号

平成30年3月30日発行

## 編集・発行 沖縄県農業研究センター

〒901-0336 沖縄県糸満市真壁820番地 電話 098-840-8500 (代表) Fax 098-840-8510 ホームページ: http://www.pref.okinawa.jp/arc/ 代表 E-mail: xx015063@pref.okinawa.lg.jp

### 印刷

有限会社 金城印刷 〒901-0306 沖縄県糸満市西崎町 5-9-16 電話 098-995-0001 Fax 098-994-9886

# BULLETIN OF THE OKINAWA PREFECTURAL AGRICULTURAL RESEARCH CENTER

### **Contents**

### Original paper

- **01-06 Ayaka IREI, Kazufumi YOZA, Ryotaro ICHI:**Harvest period for high-quality fresh pineapple on Miyako Island, Okinawa
- **07-13 Goki MAEDA, Naoto HIROSE:**Characteristic features and manufacturing conditions of unrefined brown sugar (Air in unrefined brown sugar; Air in Kokuto) expanded using the principle of vacuum degassing
- 14-20 Goki MAEDA, Itaru SHIMOJI, Tadashi TEDOKON, Hiroyuki SHIMOJI, Katsumi UECHI, Hirokatsu ISHIMINE, Masayuki SUNAGAWA, Jun CHINEN, Konosuke DEGI, Katsuhiro MIYAGI and Takayuki OGI: Comparison between non-centrifugal brown sugar (Kokuto) manufactured using cane juice alone and that manufactured using cane juice with cane top juice.
- 21-28 Shinichi HIYANE, Yoshinobu SUNAKAWA, Noriko OOMI, Kounosuke DEGI and Shin IREI: Estimation of the soil moisture content using the improved tank model and the effects of irrigation on yields from sugar cane fields in Okinawa Prefecture
- **29-42 Suguru OHNO, Akiko NEMOTO and Moritoshi TAMAKI**: Vegetative Propagation of Javanese Long Pepper, *Piper retrofractum* Vahl, by Cutting: Determination of Plant Parts, Number of Nodes, Degree of Leaf Excision, and Seasons Suitable for Cuttings
- **Tsuguo KOHAMA and Tsunaki ANDOU**: Geographical distribution and host plants of the sweet potato flea beetle, *Chaetocnema confinis* Crotch (Coleoptera: Chrysomelidae) in Okinawa, Southwestern Japan.